

# QUANTENCHROMODYNAMIK

## Vorlesungsprogramm:

- 1.) Grundlagen der QCD: Farbfreiheitsgrade der Quarks  
nicht-abel'sche Feldtheorie der Quarks und Gluonen  
asymptotische Freiheit
- 2.) QCD bei kurzen Abständen: Nukleon-Strukturfunktionen  
 $e^+e^-$  Annihilation in Hadronen  
Drell-Yan Prozesse  
Jet-Physik in  $e^+e^-$  Annihilation  
und Hadron-Hadron-Stößen  
Quarkonium-Physik
- 3.) QCD bei großen Abständen: Gitterfeldtheorie der QCD  
QCD-Vakuum

<http://people.web.psi.ch/spire/vorlesung/qcd/>

# A. GRUNDLAGEN DER QCD

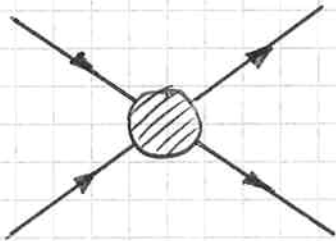
2

## §1. Einführung von Color

QCD: feldtheoretische Formulierung des starken Kw.

historische Definition des starken Kw:

- Bindungskraft der Nucleonen im Kern
- Kraft bei Nucleon-Nucleon-Stößen



Wissdistanz:  $d \sim 1 \text{ fm} \rightarrow \sigma \sim 4\pi d^2 \sim 10 \text{ mb}$

Wissstärke:  $V(r) = \frac{g_s^2}{4\pi} e^{-\frac{r}{a}}$

$$\frac{g_s^2}{4\pi} \sim 10^2 \frac{g_{em}^2}{4\pi} \sim 1$$

## Spin-Statistik Problem des Quarkmodells

$\Delta^{++} (s_z = \frac{3}{2}) = u(\uparrow) u(\uparrow) u(\uparrow) \leftarrow$  total symm. Spinwellenfkt.  
 $\in$  Dekuplett  $\uparrow$  Fermistatistik: total antisymm. Gesamtwellenfkt.

(i) Grundzustand  $\neq$  rel. S-Wellen-Kombination  $\downarrow$  für naive Erfahrung  
P-Wellen  $\rightarrow$  Knoten  $\rightarrow$  verbotene Zonen  
 $\rightarrow$  erhöhte Energie infolge Unschärfe

## (ii) magnetische Momente von Nucleonen

$$\vec{\mu} = \frac{eQ}{2m} [\vec{L} + 2\vec{S}]$$

S-Wellen  $l=0$ : Nucleonmomente setzen sich additiv aus Quarkmomenten zusammen

$$\mu_U = \langle \psi | \sum_{i=1}^3 \mu(i) \sigma_3(i) | \psi \rangle$$

auffindend der Spin-Wellenfkt:  $[\mu_u = -2\mu_d]$

*Clebsch-Gordan*

$$\left. \begin{aligned} \mu_p &= \frac{4}{3} \mu_u - \frac{1}{3} \mu_d = -\left(\frac{8}{3} + \frac{1}{3}\right) \mu_d = -3\mu_d \text{ f\u00fcr } \mu_u = \mu_d \\ \mu_n &= \frac{4}{3} \mu_d - \frac{1}{3} \mu_u = \left(\frac{4}{3} + \frac{2}{3}\right) \mu_d = 2\mu_d \end{aligned} \right\}$$

Verh\u00e4ltnis:  $\frac{\mu_p}{\mu_n} = -\frac{3}{2} \quad \text{exp} = -1.46$

kein  $l \neq 0$  Strom = Satz erforderlich

effektive Quarkmasse:  $\mu_p = \frac{e}{2m_p} 2.79 = -\frac{1}{3} \frac{e}{2m_d} (-3) = \frac{e}{2m_d}$

$$\Rightarrow m_q^{\text{eff}} = \frac{m_p}{2.79} \approx 330 \text{ MeV}$$

L\u00f6sung: Quarks tragen 3wertiges Unterscheidungsmerkmal, so da\u00df sym. Quarkmodell m\u00f6glich

I. Color-Hypothese (Greenberg '64)

Neben Flavorladungen tragen Quarks Farbladungen; jedes Quark kommt in genau 3 Farben vor (rot, blau, gr\u00fcn = 1, 2, 3):

$$q = (q_1, q_2, q_3)$$

Color-Transformationen: maximale Mischungsgruppe der drei Farbfreiheitsgrade [ $\neq$  gemeinsame Phase]

$$q \rightarrow q' = e^{-i \sum_{k=1}^8 \alpha_k \frac{\lambda_k}{2}} q \leftarrow SU(3)_c \text{ Transformationen}$$

= unimodulare, unit\u00e4re 3x3 Matrizen  
[nicht-abel'sche Gruppe]

Gell-Mann Matrizen:  $\lambda_u$   $u=1, 2, \dots, 8$  [3dim Erweiterung des  $\mathfrak{su}(3)$  in  $\mathfrak{su}(3)$ ]

$$\lambda_u^\dagger = \lambda_u \Rightarrow e^{-i\lambda_u \frac{\lambda_u}{2}} \text{ unitär: } U^\dagger U = \mathbb{1}$$

$$\text{Tr } \lambda_u = 0 \Rightarrow \text{unimodular: } \det U = +1$$

explizite Darstellung:

$$\lambda_1 = \begin{pmatrix} 0 & 1 & 0 \\ 1 & 0 & 0 \\ 0 & 0 & 0 \end{pmatrix}$$

$$\lambda_2 = \begin{pmatrix} 0 & -i & 0 \\ i & 0 & 0 \\ 0 & 0 & 0 \end{pmatrix}$$

$$\lambda_3 = \begin{pmatrix} 1 & 0 & 0 \\ 0 & -1 & 0 \\ 0 & 0 & 0 \end{pmatrix}$$

$$\lambda_4 = \begin{pmatrix} 0 & 0 & 1 \\ 0 & 0 & 0 \\ 1 & 0 & 0 \end{pmatrix}$$

$$\lambda_5 = \begin{pmatrix} 0 & 0 & -i \\ 0 & 0 & 0 \\ i & 0 & 0 \end{pmatrix}$$

$$\lambda_6 = \begin{pmatrix} 0 & 0 & 0 \\ 0 & 0 & 1 \\ 0 & 1 & 0 \end{pmatrix}$$

$$\lambda_7 = \begin{pmatrix} 0 & 0 & 0 \\ 0 & 0 & -i \\ 0 & i & 0 \end{pmatrix}$$

$$\lambda_8 = \frac{1}{\sqrt{3}} \begin{pmatrix} 1 & 0 & 0 \\ 0 & 1 & 0 \\ 0 & 0 & -2 \end{pmatrix}$$

Eigenschaften:

$$\left[ \frac{\lambda_i}{2}, \frac{\lambda_j}{2} \right] = i f_{ijk} \frac{\lambda_k}{2} \quad [A_2 \text{ Algebra}]$$

$$\left\{ \frac{\lambda_i}{2}, \frac{\lambda_j}{2} \right\} = \frac{1}{3} \delta_{ij} \mathbb{1} + d_{ijk} \frac{\lambda_k}{2}$$

$$\text{Tr}(\lambda_i \lambda_j) = 2\delta_{ij} \quad \text{Tr}(\lambda_i) = 0$$

## I! Color-Hypothese (Gell-Mann '72)

Die  $SU(3)_c$  Symmetrie ist exakt. Alle physikalischen (freien) Zustände, Observablen und Wechselwirkungen sind  $SU(3)_c$  Singulets.

- (a) Quarks als Farb-Tripletts treten nicht als freie Teilchen auf  
 (b) Farb-Wfkt. Baryon:  $\frac{1}{16} \epsilon_{ijk}$   
 Meson:  $\frac{1}{13} \delta_{ij}$  }  $\epsilon_{ijk}, \delta_{ij}$   $SU(3)_c$  Singulets

The Nonvanishing Values of  $f_{ijk}$  and  $d_{ijk}$

$(ijk)$	$f_{ijk}$	$(ijk)$	$d_{ijk}$
123	1	118	$1/\sqrt{3}$
147	$\frac{1}{2}$	146	$\frac{1}{2}$
156	$-\frac{1}{2}$	157	$\frac{1}{2}$
246	$\frac{1}{2}$	228	$1/\sqrt{3}$
257	$\frac{1}{2}$	247	$-\frac{1}{2}$
345	$\frac{1}{2}$	256	$\frac{1}{2}$
367	$-\frac{1}{2}$	338	$1/\sqrt{3}$
458	$\sqrt{3}/2$	344	$\frac{1}{2}$
678	$\sqrt{3}/2$	355	$\frac{1}{2}$
		366	$-\frac{1}{2}$
		377	$-\frac{1}{2}$
		448	$-1/2\sqrt{3}$
		558	$-1/2\sqrt{3}$
		668	$-1/2\sqrt{3}$
		778	$-1/2\sqrt{3}$
		888	$-1/\sqrt{3}$

Bsp:  $\Delta^{++} (s_z = +\frac{3}{2}) = \frac{1}{\sqrt{6}} \epsilon_{ijk} u_i(\uparrow) u_j(\uparrow) u_k(\uparrow)$

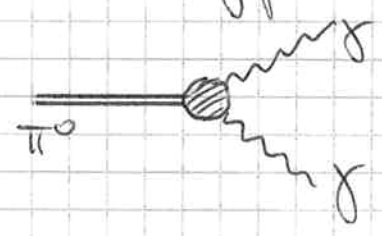
$\Phi (s_z = +1) = \frac{1}{\sqrt{3}} \delta_{ij} s_i(\uparrow) \bar{s}_j(\uparrow)$

(c) elm. Wv.:  $\mathcal{L}_{elm} = -e j^\mu A_\mu$

$j^\mu = \sum_{fc} q \bar{\psi} \gamma^\mu Q \psi \equiv \sum_{fc} \frac{2}{c} \bar{q}_c \gamma^\mu Q_q q_c$   
 SU(3) Singulett

TESTS DER COLOR-HYPOTHESE:

1.)  $\pi^0 \rightarrow \gamma\gamma$  Zerfall



$M(\pi^0 \rightarrow \gamma\gamma) = i \epsilon_\mu^*(k_1) \epsilon_\nu^*(k_2) T_{\mu\nu}(k_1, k_2 | p)$

$\left. \begin{array}{l} \text{Lorentzinvar.} \\ \text{Paritätsinv.} \end{array} \right\} T_{\mu\nu}(k_1, k_2 | p) = \epsilon_{\mu\nu\alpha\beta} k_1^\alpha k_2^\beta T(p^2 = m_\pi^2)$   
 $[\pi^0 = \text{Pseudoskalar}]$

Green's Fkt:



$i\tilde{\Gamma} = \bar{q} \gamma^\mu \gamma_5 \frac{1}{2} q$   
 $= \frac{1}{2} \bar{u} \gamma^\mu \gamma_5 u - \frac{1}{2} \bar{d} \gamma^\mu \gamma_5 d$

$Q_{\tilde{\Gamma}} \sim \pi^0$  Quantenzahl  
 farbblind

$= \epsilon_{\mu\nu\alpha\beta} k_1^\alpha k_2^\beta A(p^2): \quad P_1 \langle \tilde{\Gamma}^{\mu\nu} j^\mu j^\nu \rangle \sim \langle Q_{\tilde{\Gamma}}^{\mu\nu} j^\mu j^\nu \rangle$

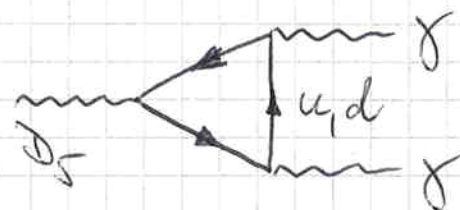
Eigenschaften von  $A(p^2)$ :

(i)  $A(p^2=0) = 0$  [aus  $P_1 \neq$  Invariantenzerleg  $\langle \tilde{\Gamma}^{\mu\nu} j^\mu j^\nu \rangle$ ]

(ii)  $p^2 \rightarrow m_\pi^2$ :

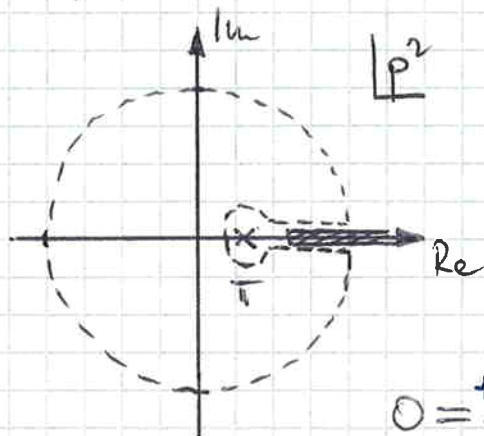
$= - \frac{m_\pi^2 \frac{f_\pi}{\sqrt{2}} T(\pi^0 \rightarrow \gamma\gamma)}{p^2 - m_\pi^2}$  [PCAC]

(iii) Mehrteilchen-Zwischenzustände =  $\sum_f \frac{1}{(3u_f)^2} \leftarrow$  vernachlässigbar für  $p^2 \rightarrow 0$  [ $\sim 10\%$ ]

(iv)  $p^2 \rightarrow \infty$ :  =  $\frac{e^2}{2u^2} \frac{1}{2} (Q_u^2 - Q_d^2) N_c$

$N_c = \# \text{ Farben}$

Dispersionsrelation für  $A(p^2)$ :



Cauchy:  $A(0) = 0 = \oint dp^2 \frac{A(p^2)}{p^2}$   
 $= \int_{\text{cut}} \frac{dp^2}{p^2} \frac{u_f^2 \frac{f_\pi^2}{12} T}{p^2 - u_f^2} + 2\pi i A_\infty$

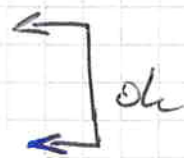
$$0 = \frac{f_\pi^2}{12} T(\pi^0 \rightarrow \gamma\gamma) + \frac{e^2}{4u^2} (Q_u^2 - Q_d^2) N_c$$

Breite:  $\Gamma(\pi^0 \rightarrow \gamma\gamma) = \frac{\alpha^2}{32\pi^3} \frac{u_f^3}{f_\pi^2} (Q_u^2 - Q_d^2)^2 N_c^2$

ohne Farbe  $N_c = 1$ :  $\Gamma = 0.868 \pm 0.065 \text{ eV}$

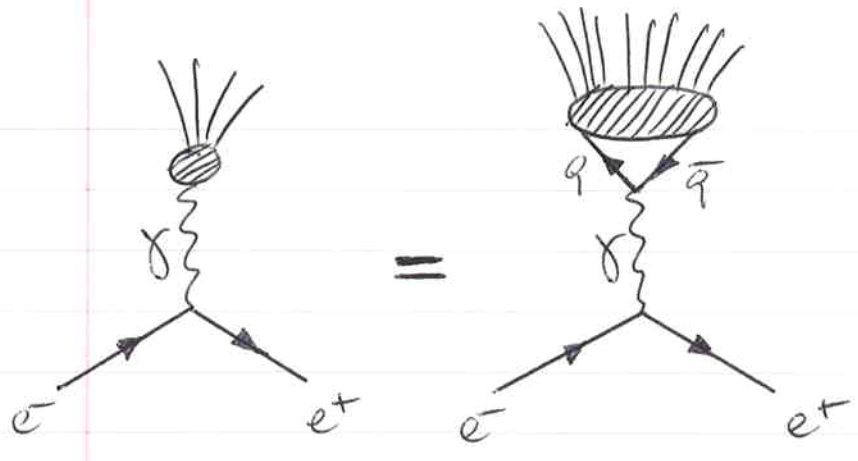
mit Farbe  $N_c = 3$ :  $\Gamma = 7.81 \pm 0.60 \text{ eV}$

experimentell:  $\Gamma_{\text{exp}} = 7.84 \pm 0.56 \text{ eV}$



2.)  $e^+e^- \rightarrow \text{Hadronen}$

Im Quark-Partonmodell wird Produktionswahrscheinlichkeit in  $e^+e^- \rightarrow \text{Hadronen}$  durch diejenige aller  $q\bar{q}$  Paare gegeben; Endzustandwechselwirkung vernachlässigbar für  $\frac{d_{\text{Had. } q\bar{q}}}{d_{\text{Hadron}}} \sim \frac{1 \text{ GeV}}{E} \rightarrow 0$  ( $E \rightarrow \infty$ )



$$R = \frac{\sigma(e^+e^- \rightarrow \text{Hadrs.})}{\sigma(e^+e^- \rightarrow \mu^+\mu^-)} = \sum_{f, c} \frac{\sigma(e^+e^- \rightarrow q\bar{q})}{\sigma(e^+e^- \rightarrow \mu^+\mu^-)} = 3 \sum_{f, c} e_q^2$$

q	eq
u, c, t	+2/3
d, s, b	-1/3

Energie	produz. Quarks	Rohcolor	Rein-Color
< 3 GeV	u, d, s	4/9 + 1/9 + 1/9 = 2/3	2
> 5 GeV	+ c	6/9 + 4/9 = 10/9	10/3
> 10 GeV	+ b	10/9 + 1/9 = 11/9	11/3

§2. Gluon-Eichfelder

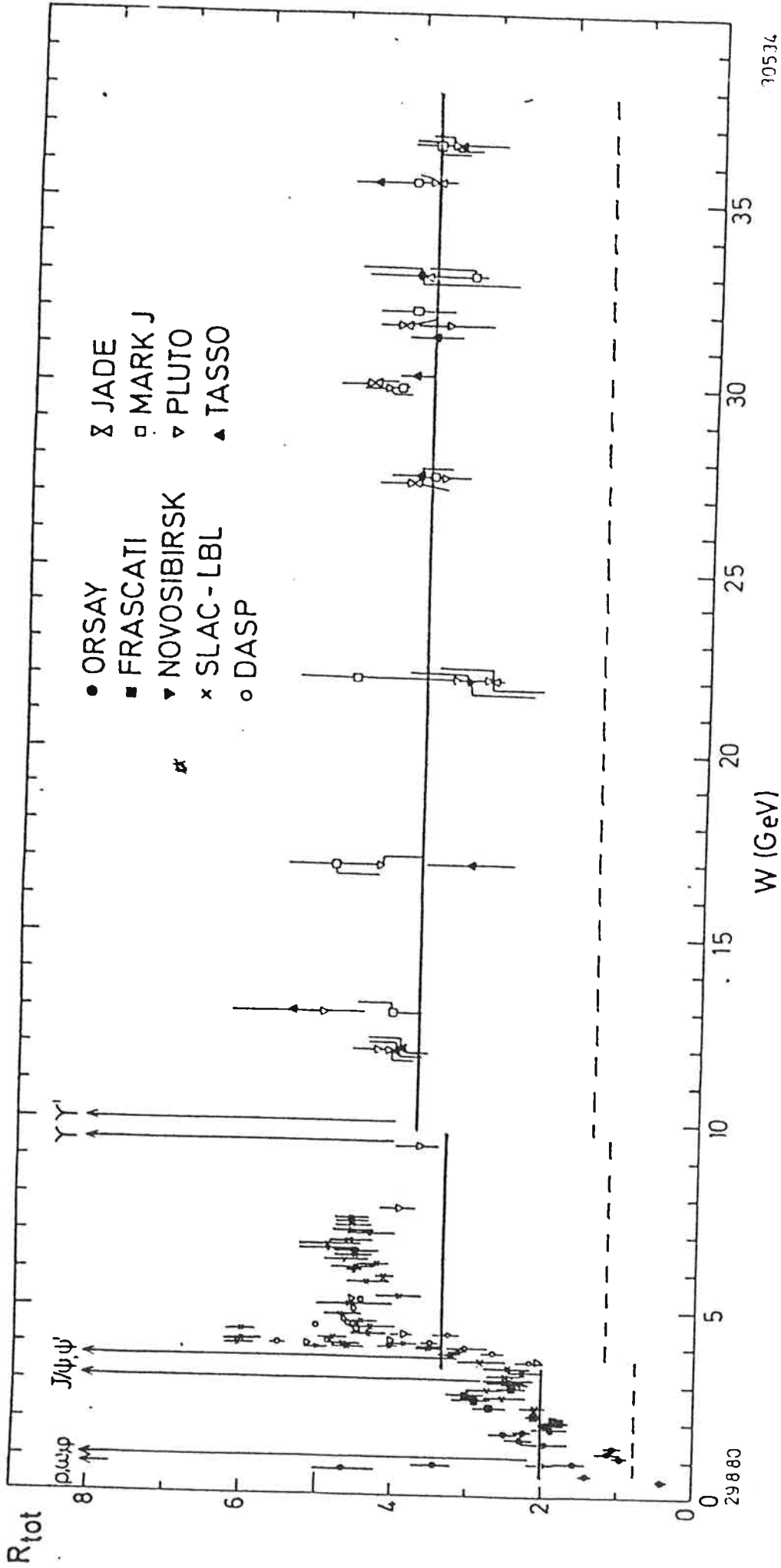
In Analogie zur QED:

II. Color-Hypothese (Nambu '66, Fritzsche + Gell-Mann '72, Leutwyler '73)  
 Color-Ladungen sind Quellen von Eichfeldern ( $\Rightarrow$  Gluonen), welche die starke Wechselwirkung zwischen Quarks aufbauen.

Lagrangendichte für Farstripletts:

$$\mathcal{L}_q = \bar{q}(x) (i\not{\partial} - m_q) q(x) \quad \text{mit } q = (q_1, q_2, q_3)$$

$m_{q1} = m_{q2} = m_{q3}$  SU(3)<sub>c</sub> Singulett



- invariant unter globalen, nicht-abel'schen  $SO(3)_e$ -Trf.

$$\left. \begin{aligned} q(x) &\rightarrow S q(x) \\ \bar{q}(x) &\rightarrow \bar{q}(x) S^{-1} \end{aligned} \right\} S = e^{-i \alpha_k T^k} \quad (T^k = \frac{\tau^k}{2})$$

- nicht invariant unter lokalen  $SO(3)_e$ -Trf.:  $\alpha_k = \alpha_k(x)$

$$\mathcal{L}_q \rightarrow \mathcal{L}_q + \bar{q}(x) (S^{-1} i \not{D} S) q(x)$$

lokal eichinvariant gemacht durch Einführung von  
8 minimal gekoppelten Glicoufeldern  $G_\mu^k(x)$  ( $k=1, \dots, 8$ )  
 (Glicou-Matrix  $G_\mu = G_\mu^k T^k$ )

$$i \not{D}_\mu \rightarrow i \not{D}_\mu - g_s G_\mu = i \not{D}'_\mu$$

$$\mathcal{L}_q = \bar{q}(x) (i \not{D} - m_q) q(x) = \bar{q}(x) (i \not{D}' - m_q - g_s \not{G}(x)) q(x)$$

$$\text{mit } \begin{aligned} q(x) &\rightarrow S(x) q(x) & \alpha_k &= \alpha_k(x) \\ \bar{q}(x) &\rightarrow \bar{q}(x) S^{-1} \\ G_\mu(x) &\rightarrow S G_\mu S^{-1} - \frac{i}{g_s} S \not{D}_\mu S^{-1} \end{aligned}$$

ROTAT.                  TRANSL.

kovar. Ableitung:  $i \not{D} q \rightarrow i \not{D}' q = [i \not{D} - g_s S G S^{-1} - i (\not{D} S) S^{-1}] S q$   
 $[\partial_\mu (S S^{-1}) = 0]$   
 $= S (i \not{D} - g_s G) q = S i \not{D} S^{-1} S q$

$D \rightarrow D' = S D S^{-1}$     ROTATION

Glicoufeld-Lagrange-dichte:

Wirbel:  $G_{\mu\nu} = D_\nu G_\mu - D_\mu G_\nu = \partial_\nu G_\mu - \partial_\mu G_\nu - i g_s [G_\mu, G_\nu]$

Eich-Trf:  $G_{\mu\nu} \rightarrow G'_{\mu\nu} = S G_{\mu\nu} S^{-1}$     reine Rotation  
 [keine Observable]  
 aus  $G_{\mu\nu} = \frac{i}{g_s} [D_\mu, D_\nu]$

$\mathcal{L}_g = -\frac{1}{2} \text{Tr} G_{\mu\nu}^2 = -\frac{1}{4} (G_{\mu\nu}^k)^2$   $\Leftarrow$  eichinvariant: kein Hassen term ( $+\frac{1}{2} m_g^2 \text{Tr} G_{\mu\nu}^2$ )

$\uparrow$  besteht aus: (a) kin. Teil  $= -\frac{1}{4} (\partial_\nu G_\mu^k - \partial_\mu G_\nu^k)^2$

(b) trilineare Kopplung  $\sim g_0 GGG$

(c) quartile Kopplung  $\sim g_0^2 GGGG$

- Selbstwechselwirkung des Gluonfeldes: farb geladene Gluonen sind Quellen für Gluonen ( $\neq \gamma$ )

-  $g_0$  universell, in Eichvektor fixiert: Farbladungen quantisiert

Lagrangedichte I des QCD:

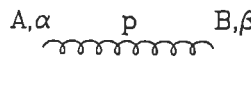
$$\mathcal{L} = \bar{q} (i\not{D} - m_q) q - \frac{1}{2} \text{Tr} G_{\mu\nu}^2$$

$$= \bar{q} (i\not{D} - m_q) q - \frac{1}{2} \text{Tr} (\partial_\nu G_\mu^k - \partial_\mu G_\nu^k)^2 \quad \text{kinet. Teil}$$

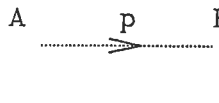
$$- g_0 \bar{q} \not{A} q \quad \text{Quark-Gluon Koppl.}$$

$$+ i g_0 \text{Tr} (\partial_\nu G_\mu^k - \partial_\mu G_\nu^k) [G_\mu^j G_\nu^l] \quad \text{3 Gluon-Koppl.}$$

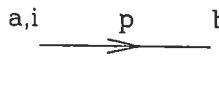
$$+ \frac{g_0^2}{2} \text{Tr} [G_\mu^j G_\nu^l]^2 \quad \text{4 Gluon-Koppl.}$$



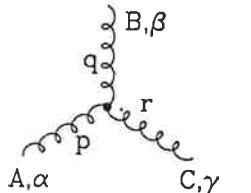
$$\delta^{AB} \left[ -g^{\alpha\beta} + (1-\lambda) \frac{p^\alpha p^\beta}{p^2 + i\epsilon} \right] \frac{i}{p^2 + i\epsilon}$$



$$\delta^{AB} \frac{i}{(p^2 + i\epsilon)}$$

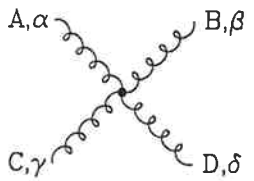


$$\delta^{ab} \frac{i}{(p^2 - m^2 + i\epsilon)_{ji}}$$

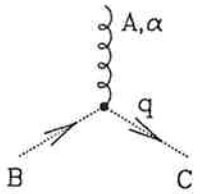


$$-g f^{ABC} [(p-q)^\gamma g^{\alpha\beta} + (q-r)^\alpha g^{\beta\gamma} + (r-p)^\beta g^{\gamma\alpha}]$$

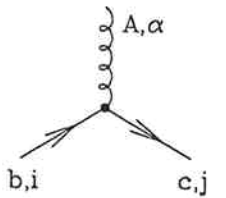
(all momenta incoming,  $p+q+r = 0$ )



$$\begin{aligned} & -ig^2 f^{XAC, XBD} [g^{\alpha\beta} g^{\gamma\delta} - g^{\alpha\delta} g^{\beta\gamma}] \\ & -ig^2 f^{XAD, XBC} [g^{\alpha\beta} g^{\gamma\delta} - g^{\alpha\gamma} g^{\beta\delta}] \\ & -ig^2 f^{XAB, XCD} [g^{\alpha\gamma} g^{\beta\delta} - g^{\alpha\delta} g^{\beta\gamma}] \end{aligned}$$



$$g f^{ABC} q^\alpha$$



$$-ig (t^A)_{cb} (\gamma^\alpha)_{ji}$$

### §3. Feynman-Pfadintegrale

Q: Übergangsamplitude eines Teilchens  $\{x_0, t_0\} \rightarrow \{x, t\}$ :

$$\langle x, t | x_0, t_0 \rangle = \langle x | e^{-iH(t-t_0)} | x_0 \rangle = \langle x | e^{-iH\epsilon} e^{-iH\epsilon} \dots | x_0 \rangle$$

$$= \int \prod_i dx_i \langle x | e^{-iH\epsilon} | x_n \rangle \langle x_n | \dots | x_0 \rangle$$

$$\mathbb{1} = \int dx_i |x_i\rangle \langle x_i|$$

$$\langle y_2 | e^{-iH\epsilon} | y_1 \rangle = \langle y_2 | e^{-i\frac{p^2}{2m}\epsilon} | y_1 \rangle e^{-iV(y_1)\epsilon} \sim e^{i\dot{x}\epsilon}$$

$$\sim \int dk e^{-i\frac{k^2}{2m}\epsilon} \langle y_2 | k \rangle \langle k | y_1 \rangle \sim \int dk e^{-i\frac{k^2}{2m}\epsilon + i(y_2 - y_1)k}$$

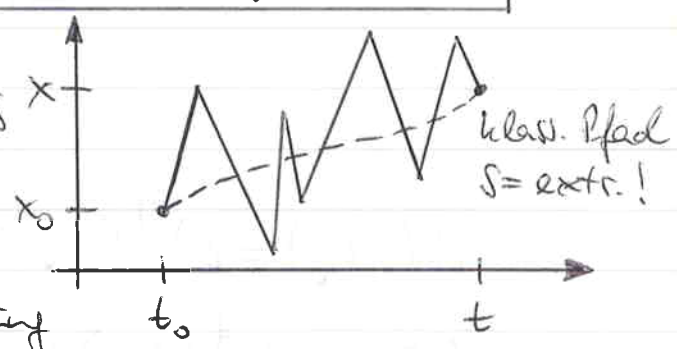
$$\sim \int dk \exp\left\{-i\frac{\epsilon}{2m}\left(k - m\frac{y_2 - y_1}{\epsilon}\right)^2 + i\frac{m}{2\epsilon}(y_2 - y_1)^2\right\}$$

$$\sim \exp\left\{i\frac{m}{2}\left(\frac{y_2 - y_1}{\epsilon}\right)^2 \epsilon\right\} = \exp\{i T_{kin} \epsilon\}$$

$$\langle x, t | x_0, t_0 \rangle \sim \int \mathcal{D}x \exp i \int dt L \sim \int \mathcal{D}x e^{iS}$$

Übergangsamplitude =  
sum over all histories, gewichtet  $e^{iS}$

klass. Pfad = maxim. Gewicht durch  
Extremalwert von S-Wirkung



### Funktionale: Zuordnung von Zahlen zu Funktionen

Integralfunktional:  $F(\bar{u}) = \int dx' f(x', \bar{u}(x'))$

Ableitung:  $\frac{\delta F(\bar{u})}{\delta \bar{u}(x)} = \lim_{\epsilon \rightarrow 0} \frac{1}{\epsilon} \int dx' \{ f[x', \bar{u}(x') + \epsilon \delta(x-x')] - f(x', \bar{u}(x')) \}$

$$= \frac{\delta f}{\delta \bar{u}} \Big|_{x=x'}$$

Eigenschaften analog zu gewöhnlichen Ableitungen

Theorem: Green's Funktionen lassen sich durch Ableitung des Wirkungsfunktional [mit äußeres Quelle] berechnen.

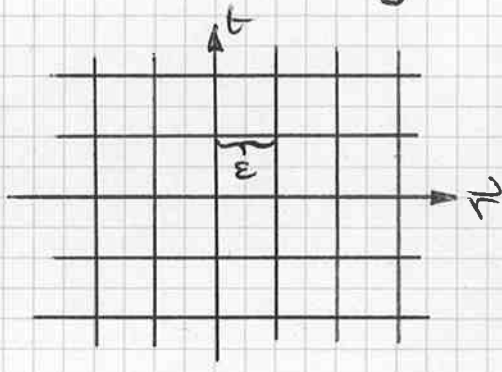
Green's Funktion:  $G(x_1, \dots, x_n) = \langle 0 | T \{ \varphi_{\#}(x_1) \dots \varphi_{\#}(x_n) \} | 0 \rangle_{\#}$  Heidenbergbild  
 $= \langle 0 | T \{ \varphi(x_1) \dots \varphi(x_n) S \} | 0 \rangle$  wobei, ohne Variation = graphen  
bestimmen S-Matrix

Wirkungsfunktional:  $W(j) = \langle 0 | T \exp i \int d^4x \{ \mathcal{L}_{int}(\varphi) + j\varphi \} | 0 \rangle$  wobei  
 $\Rightarrow$  in  $G(x_1, \dots, x_n) = \frac{\delta}{\delta j(x_1)} \dots \frac{\delta}{\delta j(x_n)} W(j) / W(0)$  bei  $j=0$

freies Wirkungsfunktional:  $W(j) = \exp i \int d^4x \mathcal{L}_{int} \left( \frac{1}{i} \frac{\delta}{\delta j(x)} \right) W_0(j)$   
 $W_0(j) = \langle 0 | T \exp i \int d^4x j(x) \varphi(x) | 0 \rangle = \exp \left\{ -\frac{i}{2} \int d^4x d^4y j(x) \Delta_F(x-y) j(y) \right\}$

Pathintegraldarstellung der Feldtheorie:

Minkowski-Raum zerlegt in Würfel  $\alpha$  mit Kantenlänge  $\epsilon \rightarrow 0$ ;  $\varphi_{\alpha} = \frac{1}{\epsilon^4} \int d^4x \varphi(x)$



$$\int d^4x f(x) = \sum \epsilon^4 f_{\alpha}; \quad \delta_{\epsilon}(x-y) = \frac{1}{\epsilon^4} \delta_{\alpha\beta}$$

$$\partial \varphi(x) = \int d^4y [-\partial_y \delta_{\epsilon}(x-y)] \varphi(y) = \epsilon^4 \partial_{\alpha\beta} \varphi_{\beta} \left. \begin{array}{l} \partial_{\alpha\beta} = \frac{1}{2\epsilon^5} [\delta_{\alpha+1,\beta} - \delta_{\alpha-1,\beta}] \\ -\frac{1}{2\epsilon} [\varphi_{\alpha+1} - \varphi_{\alpha-1}] = \frac{1}{2\epsilon} [\delta_{\alpha+1,\beta} - \delta_{\alpha-1,\beta}] \varphi_{\beta} \end{array} \right\} \text{schiefesymmetrisch}$$

Definition Funktional  $F(\varphi)$  durch kontinuierl. Integral:

$$F(\varphi) = \lim_{\epsilon \rightarrow 0} \int_{\alpha} \bar{u} d\varphi_{\alpha} F \left( \sum_{\beta} \epsilon^4 f(\varphi_{\beta}) \right) = \int \mathcal{D}\varphi F \left( \int d^4x f(\varphi(x)) \right)$$

Darstellung des freien Wirkungsfunktional durch kontin. Integral

$$\tilde{W}_0(j) = \int \mathcal{D}\varphi \exp i \int d^4x (\mathcal{L}_0 + j\varphi) \quad \mathcal{L}_0 = \frac{1}{2} \varphi (-\partial^2 - m^2) \varphi$$

freie W-propagator

$$= \int \frac{\pi}{\alpha} d\varphi_\alpha \exp i \left[ \epsilon^8 \frac{1}{2} \varphi_\alpha K_{\alpha\beta} \varphi_\beta + \epsilon^4 j_\alpha \varphi_\alpha \right]$$

trif.  $K$  auf Hauptdiagonale:  $K = V^T K' V$   $K'$  = diagonal

[ $K$  symm.  $\implies V$  orthogonal]  $\varphi' = V\varphi$

$$\frac{\pi}{\alpha} d\varphi_\alpha = \frac{\pi}{\alpha} d\varphi'_\alpha \quad [\det V = 1]$$

$$\tilde{W}_0(j) = \int \frac{\pi}{\alpha} d\varphi'_\alpha \exp i \left[ \epsilon^8 \frac{1}{2} \varphi'_\alpha K'_{\alpha\alpha} \varphi'_\alpha + \epsilon^4 (Vj)_\alpha \varphi'_\alpha \right]$$

Fresnel-Integral:  $\int_{-\infty}^{\infty} dx e^{i(px^2 + qx)} = \sqrt{\frac{\pi}{p}} e^{-i \frac{q^2}{4p}}$

$$\tilde{W}_0(j) \sim \frac{\pi}{\alpha} \frac{1}{\sqrt{K'_{\alpha\alpha}}} e^{-\frac{i}{2} (jV^T)_\alpha K'^{-1}_{\alpha\alpha} (Vj)_\alpha} \sim \exp -\frac{i}{2} j_\alpha K^{-1}_{\alpha\beta} j_\beta \sim W_0(j)$$

$$\hookrightarrow \det K' = \det K$$

wenn:  $\frac{1}{\epsilon^8} K^{-1}_{\alpha\beta} = \Delta_F(x-y)$  Feynman-Propagator im Ortsraum

Auflösung:

$$K_{\alpha\gamma} K^{-1}_{\gamma\beta} = \delta_{\alpha\beta} \implies \epsilon^4 K_{\alpha\gamma} * \frac{1}{\epsilon^8} K^{-1}_{\gamma\beta} = \frac{1}{\epsilon^4} \delta_{\alpha\beta}$$

$$[-\partial^2 - m^2 + i\epsilon] \Delta_F(x-y) = \delta(x-y) \implies \int d^4z \{ [-\partial_x^2 - m^2 + i\epsilon] \delta(x-z) \} \Delta_F(z-y) = \delta(x-y)$$

Vergleich:  $K_{\alpha\beta} = [-\partial^2 - m^2 + i\epsilon] \delta(x-y)$   
Klein-Gordon Operator

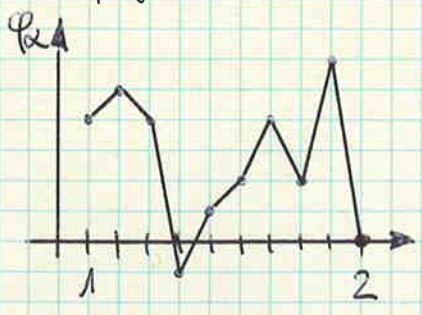
Einführung der Gesamt-Lagrangedichte  $\mathcal{L}$  durch Anwendung von

$$W(j) = \exp i \int d^4x \mathcal{L}_{int} \left( \frac{1}{i} \frac{\delta}{\delta j(x)} \right) W_0(j)$$

$$W(j) \sim \int \mathcal{D}\varphi \exp i \int d^4x [\mathcal{L} + j\varphi]$$
$$\sim \int \tilde{\mathcal{D}}\varphi \exp i [S + \int d^4x j\varphi]$$

Lösung der QFT auf  
Integration zurückgeführt

Propagator:  $G(x_1, x_2) = \int \mathcal{D}\varphi \varphi(x_1) \varphi(x_2) \exp(i \int d^4x \mathcal{L}) / \int \mathcal{D}\varphi e^{iS}$   
 $= \int d\varphi_1 d\varphi_2 \varphi_1 \varphi_2 \int \prod_{\alpha \neq 1,2} d\varphi_\alpha \exp(i \epsilon^4 \sum \mathcal{L}(\varphi_\alpha)) / \dots$



- Pfadintegral:
- 1.) Störungstheor. lösbar durch Entwicklung nach Kopplung und nachfolgende Fresnel-Integration
  - 2.) bei starker Kopplung numerische Integration von Integralen, die auf Raum-Zeit-Gittern definiert sind

FERMIONEN: Inkorporierung des Pauli-Prinzips

Grassmann-Variablen:  $\eta_i$  antikommut. c-Zahlen  $\{\eta_i, \eta_j\} = 0$   
 $\eta_i^2 = 0$

Funktionen: Polynome  $f(\eta) = a_0 + a_1 \eta$   
 $f(\eta_1, \eta_2) = a_0 + a_1 \eta_1 + a_2 \eta_2 + a_3 \eta_1 \eta_2$   
 $\vdots$

Differenziation:  $\frac{\partial}{\partial \eta_i} \eta_j = \delta_{ij}$   $\left\{ \frac{\partial}{\partial \eta_i}, \eta_j \right\} = 0$  für  $i \neq j$   
 $\left\{ \frac{\partial}{\partial \eta_i}, \frac{\partial}{\partial \eta_j} \right\} = 0$

Integration:  $z = \int_{-\infty}^{\infty} dx f(x) = \int_{-\infty}^{\infty} dx f(x+a)$  für gewöhnliche Zahlen

Grassmann-Variablen:  $z = \int dy f(y) = \int dy f(y+\delta)$   
 $= \int dy (f_0 + f_1 y) = \int dy (f_0 + f_1 y + f_1 \delta) = 0$

$\int dy = 0$   $\int dy y = 1$  mehr-dim.:  $\{dy_i, dy_j\} = 0$   
 $\{y_i, dy_j\} = 0$

(a) Integration  $\equiv$  Differentiation:  $\int dy f(y) = \frac{d}{dy} f(y)$  (17)

(b) Variablentransf.:  $I = \int dy_1 \dots dy_n g(y)$   $g(y) = \dots + g_n y_1 \dots y_n$   
 $= \pm g_n$

$\eta = M \xi \Rightarrow y_1 \dots y_n = \det M \xi_1 \dots \xi_n: g(y) \sim \det M f(\xi)$

[Bew:  $y_1 y_2 = (M_{11} \xi_1 + M_{12} \xi_2)(M_{21} \xi_1 + M_{22} \xi_2)$   
 $= (M_{11} M_{22} - M_{12} M_{21}) \xi_1 \xi_2$ ]

$\Rightarrow \underline{dy_1 \dots dy_n = \det M^{-1} d\xi_1 \dots d\xi_n}$

Grassmann-Felder:  $\eta_i \rightarrow \eta(x)$  kontinuierl. mit  $\{\eta(x), \eta(y)\} = 0$

Pfadintegral:  $W = \int \mathcal{D}\eta F(\int dx g(\eta(x))) = \int \frac{1}{x} dy_x F[\exp \sum_y g(\eta_y)]$

Mathews-Bleum-Formeln  $\int \mathcal{D}\eta \mathcal{D}\eta e^{-\eta Q \eta} \sim \det Q$   
 $\int \mathcal{D}\eta \mathcal{D}\eta \eta_i \bar{\eta}_j e^{-\eta Q \eta} \sim Q_{ij}^{-1} \det Q$  etc.

Feynman-Wirkungsfunktional:  $\underline{W_{\eta\bar{\eta}} = \int \mathcal{D}\eta \mathcal{D}\bar{\eta} e^{i \int dx [\mathcal{L}(\bar{\eta}, \eta) + \bar{\eta} \eta + \bar{\eta} \eta]}}$

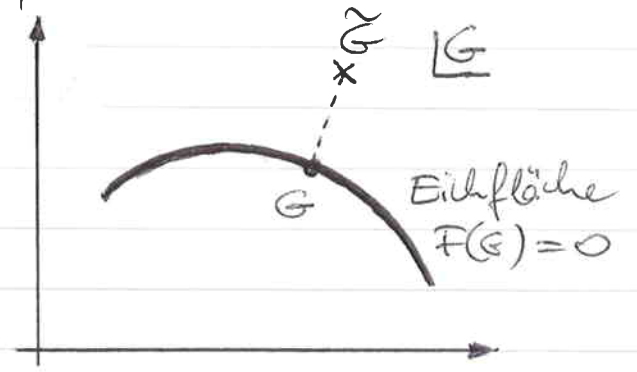
Green's Fkt. durch Ableitung nach den Quellen  $\eta(x)$  und  $\bar{\eta}(x)$

### §4. Eichung

Wirkungsfunktional:  $W \sim \int \mathcal{D}G \exp i \int d^4x \mathcal{L}$

Integration über unendliche Bereiche, in denen  $\mathcal{L}$  sich nicht ändert

- ordne Integration so ein, daß Integ. Bereiche über physikalisch verschiedene und eichäquivalente Feldkonfigurationen streuen



- faktorielle unendliches Volumen  
ab: Feldbahnen nur über Eichfläche

### Eichfixierung: $F(G) = 0$

Anm: Für alle  $\tilde{G}$  gibt es eindeutige Eichtrf.  $\alpha$  so, daß

$$\tilde{G} \xrightarrow{\alpha} G \text{ mit } F(G) = 0$$

Bsp: QED  $A_\mu = A'_\mu - \partial_\mu \Lambda$   $F(A) = \partial_\mu A^\mu$

$$\partial_\mu A^\mu = 0 = \partial_\mu A'^\mu - \partial^2 \Lambda \Rightarrow \Lambda = \partial^{-2}(\partial A')$$

Integrationsumordnung:  $\Delta(G) \int \mathcal{D}\alpha \delta(F(G^\alpha)) = 1$

ausführlich:  $\delta^{-1}(G) = \int \prod_x d\alpha_{\alpha(x)} \prod_x \delta(F^\alpha(G^\alpha))$

mit  $d\alpha_{\alpha(x)}$  = Haarwitz-Maß des  $SO(3)$

$$U(\alpha) = e^{-i\tau^a \alpha^a}; U(\alpha') U(\alpha) = U(\alpha' \alpha)$$

$$\Rightarrow U(\alpha \alpha') = e^{-i\tau^a (\alpha' \cdot \alpha)^a} \text{ mit } (\alpha' \cdot \alpha)^a = \varphi^a(\alpha' \alpha)$$

dann:  $d\alpha = J^1(\alpha) d\alpha^1 \dots d\alpha^8$  mit  $J(\alpha) = \text{Det} \left[ \frac{\partial \varphi^a}{\partial \alpha^b} \Big|_{\alpha^b=0} \right]$

erfüllt:  $d\tau_{\alpha' \alpha} = d\tau_{\alpha \alpha'} = d\tau_{\alpha}$  [eihinvariant]

$\Delta(G) = \Delta(G^{\beta})$  ist eihinvariant:

$$\Delta^{-1}(G^{\beta}) = \int \mathcal{D}\tau_{\alpha} \delta(F(G^{\beta\alpha})) = \int \mathcal{D}\tau_{\beta\alpha} \delta(F(G^{\beta\alpha})) = \Delta^{-1}(G)$$

Wirkungsfunktional:

$$W \sim \int \mathcal{D}G \Delta(G) \int \mathcal{D}\tau_{\alpha} \delta(F(G^{\alpha})) \exp i \int d^4x \mathcal{L}(G)$$

$$\stackrel{\text{(Eihinv.)}}{=} \int \mathcal{D}\tau_{\alpha} \int \mathcal{D}G^{\alpha} \delta(G^{\alpha}) \delta(F(G^{\alpha})) \exp i \int d^4x \mathcal{L}(G^{\alpha})$$

$\uparrow$   
SU(2)<sub>c</sub>-invariant

$$= \int \mathcal{D}\tau_{\alpha} * \int \mathcal{D}G \Delta(G) \delta(F(G)) \exp i \int d^4x \mathcal{L}(G)$$

$$\sim \int \mathcal{D}G \Delta(G) \delta(F(G)) \exp i \int d^4x \mathcal{L}(G)$$

Integration über Eichfläche und Eichorbit orthogonal = disjunkt:  $\int \mathcal{D}\tau_{\alpha} \sim \text{const}$  ist abtrennbar

infinitesimal:  $F(G^{\alpha}(x)) = F(G(x)) + \int d^4y M_F(x,y) \alpha(y) + \dots$

$$\Delta^{-1}(G) = \int \mathcal{D}\tau_{\alpha} \delta(M_F \alpha) \sim \int \mathcal{D}\alpha \delta(M_F \alpha) \sim \text{Det } M_F^{-1}$$

$$\Delta(G) = \text{Det } M_F$$

Faddeev-Popov Determinante

$$M_F = \left. \frac{\delta F(G^{\alpha})}{\delta \alpha} \right|_{\alpha=0}$$

BEISPIELE:  $(G^{\alpha})_{\mu}^{\alpha} = G_{\mu}^{\alpha} - f_{abc} G_{\mu}^b \alpha^c + \frac{1}{g_0} \partial_{\mu} \alpha^a + O(\alpha^2)$

(i) Lorentz-Eichung:  $\partial G = f$

$$\partial^\mu (G^\alpha)_\mu - f^\alpha = \underbrace{(\partial^\mu G_\mu^\alpha - f^\alpha)}_{=0} - f_{abc} \underbrace{\partial^\mu G_\mu^\alpha}_{=0} + \frac{1}{g_s} \partial^2 \Delta_{ab} \alpha^b$$

$$\frac{1}{g_s} \int d^4y \left[ \partial^2 \Delta_{ab} + g_s f_{abc} \partial^\mu G_\mu^c(x) \right] \Delta_\mu(x-y) \alpha^b(y)$$

$$\underline{\underline{M_L^{ab}(x,y) = \frac{1}{g_s} \left[ \partial^2 \Delta_{ab} + g_s f_{abc} \partial^\mu G_\mu^c \right] \Delta_\mu(x-y)}}$$

nicht-abel'sch: Det  $M_L$  manifest  $G$  abhängig  
 abel'sch,  $\alpha \in \mathbb{D}$ : Det  $M_L$  unabhängig von  $A \rightarrow$  ineffektiv

(ii) Axiel-Eichung:  $nG = 0$       $n^2 = \pm 1, 0$  [temporal/axial/Lichtkegel]

$$n(G^\alpha)^\alpha = \underbrace{nG^\alpha}_{=0} - f_{abc} \underbrace{nG^\alpha}_b \alpha^c + \frac{1}{g_s} n \partial \alpha^a$$

$$= \frac{1}{g_s} \int d^4y \Delta_{ab} n \partial \Delta_\mu(x-y) \alpha^b(y)$$

$$\underline{\underline{M_A^{ab}(x,y) = \frac{1}{g_s} n \partial \Delta_{ab} \Delta_\mu(x-y)}}$$

unabhängig von  $G \rightarrow$  ineffektiv

Effektive Lagrangendichte:  $W \sim \int \mathcal{D} \text{Felder} \exp i \int d^4x \mathcal{L}_{eff}$

Lorentz-Eichung: phys. Resultate eichinvariant und unabh. von  $f$

$$\Rightarrow \text{Mittelung über alle } f \left. \begin{array}{l} \text{mit Gewicht } \rho \\ \rho(f) = \exp \frac{-i}{\xi} \int d^4x \text{Tr } f^2 \\ \xi = \text{freies Eichparameter} \end{array} \right\}$$

$$W \sim \int \mathcal{D} f \rho(f) \int \mathcal{D} G \delta(\partial G - f) \text{Det } M_L \exp i \int d^4x \mathcal{L}$$

$$\sim \int \mathcal{D} G \text{Det } M_L \exp i \int d^4x (\mathcal{L} + \mathcal{L}_{GF})$$

$$\underline{\underline{R_{GF} = \frac{-1}{\xi} \text{Tr}(\partial G)^2 \text{ Eichfixierpotential}}}$$

# Geister: Grassmann-Quartettfelder

$$\det H_L \sim \int \mathcal{D}\tilde{c}^* \mathcal{D}\tilde{c} \exp -i \int d^4x d^4y \tilde{c}_a^*(x) H_L^{ab} \tilde{c}_b(y)$$

$$(\tilde{c} = \sqrt{\xi} c) \rightarrow \sim \int \mathcal{D}c^* \mathcal{D}c \exp i \int d^4x \left\{ \frac{1}{\xi} c_a^* (\partial_\mu c)_\mu + \xi f_a c (\partial^\mu c_a)^\dagger c_b \right\}$$
$$\sim \int \mathcal{D}c^* \mathcal{D}c \exp i \int d^4x \mathcal{L}_{\text{FPG}}$$

↑  
Geist-Lagrangedichte =  $\mathcal{D}c^* \mathcal{D}c$

Geistfelder: fermionische spinlose Hilfsfelder →  
reell nicht existent [Spin-Statistik-Theorem];  
treten nur in Loops gehoppelt an Gliedern auf.

## Gesamt-Lagrangedichte der QCD:

$$W \sim \int \mathcal{D}q \mathcal{D}q \mathcal{D}G \mathcal{D}c^* \mathcal{D}c \exp i \int d^4x \mathcal{L}_{\text{eff}}$$

$$\mathcal{L}_{\text{eff}} = \mathcal{L}_{\text{QCD}} + \mathcal{L}_{\text{GF}} + \mathcal{L}_{\text{FPG}} : \mathcal{L}_{\text{QCD}} = \text{Quark-Gluon-Lagrangedichte}$$

$$\mathcal{L}_{\text{GF}} = \text{Eichfixierung}$$

$$\mathcal{L}_{\text{FPG}} = \text{Geist-Lagrangedichte}$$

Lorentz-Eichung:

$$\mathcal{L}_{\text{GF}} = -\frac{1}{\xi} \text{Tr}(\partial G)^2$$

$$\mathcal{L}_{\text{FPG}} = \mathcal{D}c^* (\partial + \xi f G) c$$

Axiel-Eichung:

$$\mathcal{L}_{\text{GF}} = -\frac{1}{\xi} \text{Tr}(nG)^2 \text{ für } \xi \rightarrow 0$$

$$\mathcal{L}_{\text{FPG}} = 0$$

# §5. Asymptotische Freiheit

ERINNERUNG AN QED:  $e^-e^-$  Streuung:  $M = M_0 + M_1 + \dots$

Born-Approximation:

$$M_0 = \text{diagram} = \frac{4\pi\alpha(\mu^2)}{Q^2} \dots [Q^2 = -q^2]$$

Störungstheoretische Korrekturen:

$$M_1 = \text{tadpole correction} + \text{vertex correction} + \text{vacuum polarization} + \text{C.T.}$$

Elemente [asymptotisch]

1.) Elektronpropagator:  $G(p) = \frac{i}{\not{p}} \left\{ 1 + \int \frac{\alpha}{4\pi} \not{e}_f^2 \log\left(\frac{-\not{p}^2}{\mu^2}\right) \right\}$

2.) Vertex:  $\Gamma_\mu = -ie e_f \gamma_\mu \left\{ 1 - \int \frac{\alpha}{4\pi} \not{e}_f^2 \log \frac{Q^2}{\mu^2} + \dots \right\}$   
 IR-Anteil

3.) Photonpropagator:  $\Pi_{\mu\nu} = -i \frac{\alpha}{3\pi} \sum_f e_f^2 \left[ g_{\mu\nu} q^2 - q_\mu q_\nu \right] \log \frac{Q^2}{\mu^2}$

$$\Rightarrow M = M_0 \left[ 1 + \frac{\alpha(\mu^2)}{3\pi} \sum_f e_f^2 \log \frac{Q^2}{\mu^2} + \dots \right] \equiv \frac{4\pi\alpha(Q^2)}{Q^2}$$

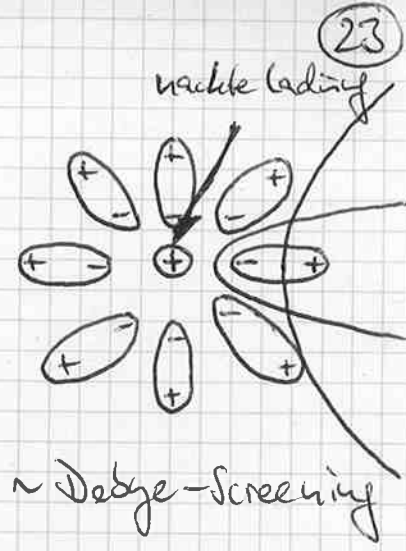
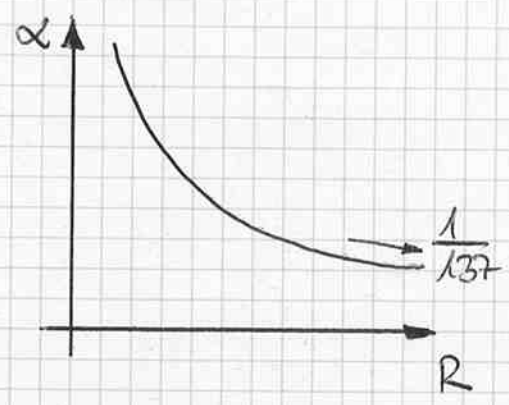
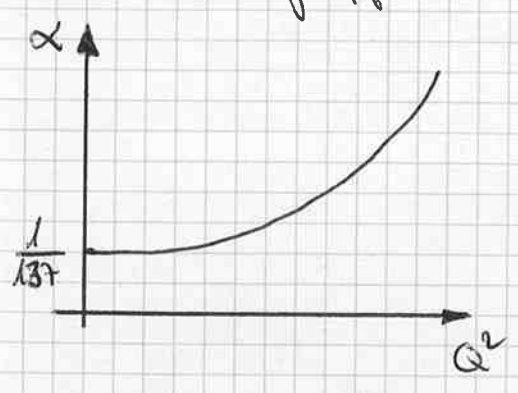
$$\Rightarrow \alpha(Q^2) = \alpha(\mu^2) \left[ 1 + \sum_f e_f^2 \frac{\alpha(\mu^2)}{3\pi} \log \frac{Q^2}{\mu^2} \right]$$

Summation:

effektive elektrische Ladung:

$$\alpha(Q^2) = \frac{\alpha(\mu^2)}{1 - \sum_f e_f^2 \frac{\alpha(\mu^2)}{3\pi} \log \frac{Q^2}{\mu^2}}$$

Abschirmungseffekt:



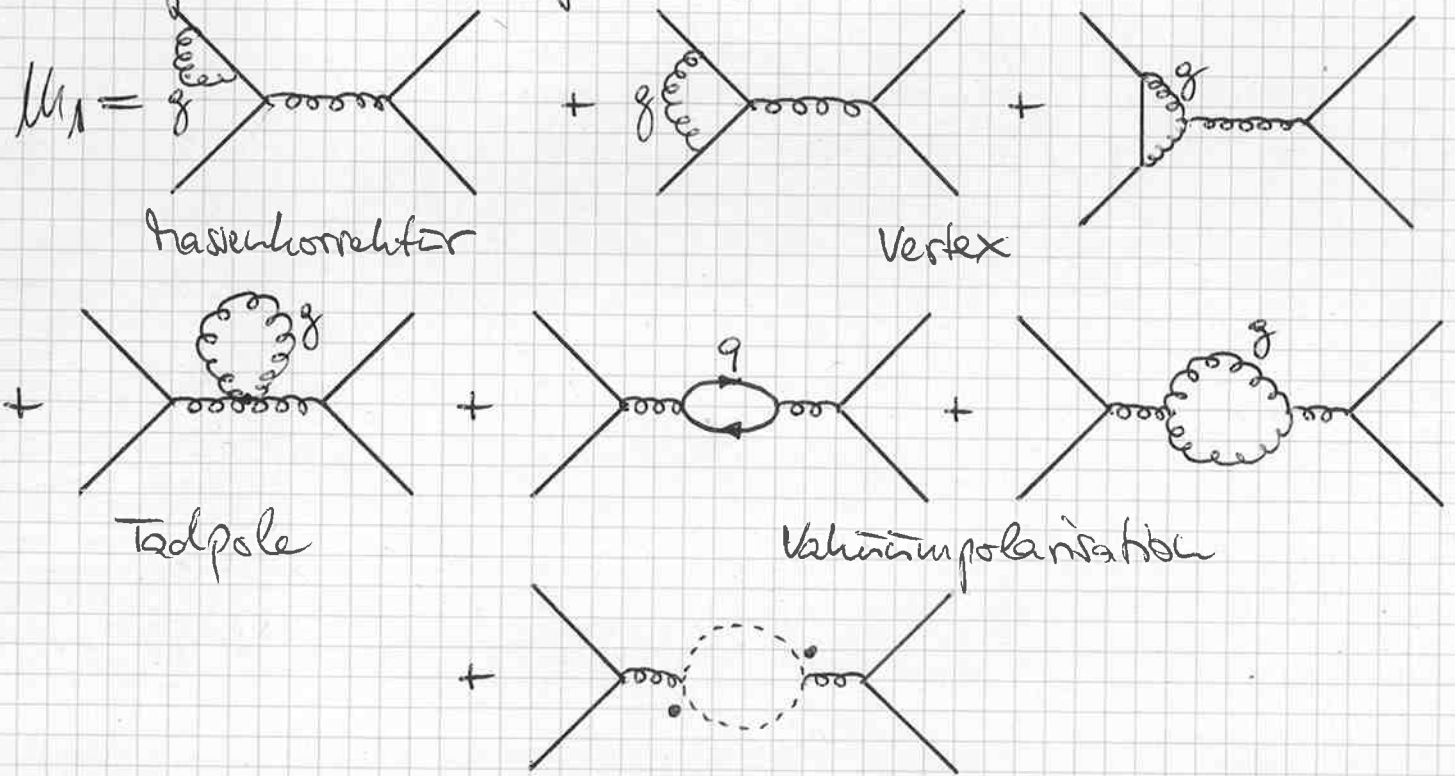
Übertragung auf QCD: Quark-Quark-Strreuung  $M = M_0 + M_1 + \dots$

Bornansatz

$$M_0 = \text{diagram} = \frac{4\pi\alpha_s(\mu^2)}{Q^2} \dots$$

The diagram shows a tree-level quark-quark scattering process with a gluon exchange between the quarks.

Strahlungskorrekturen [generisch]



Elemente [asymptotisch]:

1.) Quarkpropagator:  $e^2 \rightarrow g_s^2 (T^a T^a)_{ij} = \frac{4}{3} g_s^2 \delta_{ij} = \frac{N^2 - 1}{2N} g_s^2 \delta_{ij}$

$$G_{ij} = i \frac{\delta_{ij}}{p} \left\{ 1 + g \frac{\alpha_s}{4\pi} \frac{N^2 - 1}{2N} \log\left(\frac{-p^2}{\mu^2}\right) \right\}$$

2) Vertex:  $\Gamma_{\mu\nu}^a = T_{ij}^a g_s \gamma^\mu \left\{ 1 - \frac{\alpha_s}{4\pi} \log \frac{Q^2}{\mu^2} \left[ 5 \frac{N^2-1}{2N} + \left(1 - \frac{1-\xi}{4}\right) N \right] + (IR) \right\}$

3.) Gluonpropagator: Tadpole = 0

Feynman loop:  $e^2 \rightarrow g_s^2 \text{Tr}(TT^b) = \frac{1}{2} g_s^2 \delta^{ab}$

$\Gamma_{\mu\nu}^q = -i \frac{\alpha_s}{3\pi} N_F [q_\mu q_\nu - q^2 g_{\mu\nu}] \frac{\delta^{ab}}{2} \log \frac{Q^2}{\mu^2}$

Gluon loop:  $\Gamma_{\mu\nu}^g = i \frac{\alpha_s}{4\pi} N \delta^{ab} \left[ \frac{11}{6} q_\mu q_\nu - \frac{19}{12} q^2 g_{\mu\nu} + \frac{1-\xi}{2} (q_\mu q_\nu - q^2 g_{\mu\nu}) \right] \log \frac{Q^2}{\mu^2}$   
 nicht transversal / eichabhangig

Ghost loop:  $\Gamma_{\mu\nu}^G = -i \frac{\alpha_s}{4\pi} N \delta^{ab} \left[ \frac{1}{6} q_\mu q_\nu + \frac{1}{12} q^2 g_{\mu\nu} \right] \log \frac{Q^2}{\mu^2}$

$\Rightarrow \Gamma_{\mu\nu}^g + \Gamma_{\mu\nu}^G = i \frac{\alpha_s}{4\pi} N \delta^{ab} \left( \frac{5}{3} + \frac{1-\xi}{2} \right) (q_\mu q_\nu - q^2 g_{\mu\nu}) \log \frac{Q^2}{\mu^2}$

Geister transversalisieren Gluonloop, aber eichabhangig

$i \frac{-g_{\mu\nu} + (1-\xi) \frac{q_\mu q_\nu}{q^2}}{q^2} \rightarrow i \frac{-g_{\mu\nu} + (1-\xi) \frac{q_\mu q_\nu}{q^2}}{q^2} \quad I_{ps} \quad i \frac{-g_{\mu\nu} + (1-\xi) \frac{q_\mu q_\nu}{q^2}}{q^2}$

Addition aller Terme:

$\mathcal{M}(qq \rightarrow qq) = \mathcal{M}_0 \left\{ 1 + \frac{\alpha_s}{4\pi} \left[ \frac{2}{3} N_F - \frac{13}{6} N - \frac{3}{2} N \right] \log \frac{Q^2}{\mu^2} + (IR) \right\}$   
 (Labels: q-loop, g-loop, g-vertex)  
 $\equiv \frac{4\pi\alpha_s(Q^2)}{Q^2} \dots$

$\Rightarrow \alpha_s(Q^2) = \alpha_s(\mu^2) \left[ 1 - \frac{11N - 2N_F}{12} \frac{\alpha_s(\mu^2)}{\pi} \log \frac{Q^2}{\mu^2} \right] + O(\alpha_s^3)$

Resummation:

$$\alpha_s(Q^2) = \frac{\alpha_s(\mu^2)}{1 + \frac{33-2N_f}{12} \frac{\alpha_s(\mu^2)}{\pi} \log \frac{Q^2}{\mu^2}}$$

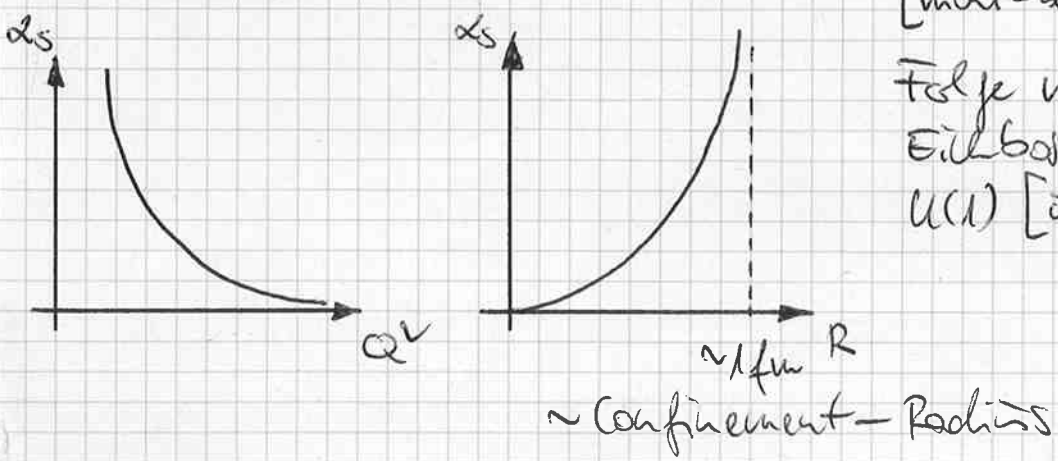
Mit wachsendem  $Q^2$  verschwindet die effektive Colorladung:

asymptotische Freiheit

[nicht-abel'sche SU(3):  $N_f \leq 16$ ]

Folge nicht-abel'scher Eichbosonloops: Kontrast zu U(1) [und allen anderen Theorien]

[Politzer '73, Gross + Wilczek '73, 't Hooft?]



Skalenparameter der QCD: Quantentheorie führt in unskalierte klassische Chromodynamik [für  $m_q=0$ ] eine Skala via Renormierung ein: Vorgabe einer Kopplungskonstanten für vorgegebenen Abstand:

$\alpha_s = \alpha_s(\mu^2)$   
 ↙ experimentell bestimmt

Reformulierung: 
$$\frac{1}{\alpha_s(Q^2)} = \frac{1}{\alpha_s(\mu^2)} - \frac{33-2N_f}{12\pi} \log \mu^2 + \frac{33-2N_f}{12\pi} \log Q^2$$

$$= \frac{33-2N_f}{12\pi} \log \frac{1}{\Lambda^2}$$

$$\Rightarrow \alpha_s(Q^2) = \frac{12\pi}{(33-2N_f) \log \frac{Q^2}{\Lambda^2}}$$

$\Lambda^{-1} \sim 1 \text{ fm} \sim \text{Confinement-Radius}$   
 $\Rightarrow \Lambda \sim 100-300 \text{ MeV}$

$\frac{\alpha_s(Q^2)}{\pi} \leq 10^{-1}$  für  $Q^2 \geq 2 \text{ GeV}^2 \Rightarrow$  Bereich gesicherter störungstheorie

Renormierungsgruppen-Gleichung:

$$\mu^2 \frac{\partial \alpha_s(\mu^2)}{\partial \mu^2} = \beta(\alpha_s) \quad \beta(\alpha_s) = -\beta_0 \frac{\alpha_s^2}{4} + O(\alpha_s^3)$$

$$\text{Lösung: } \log \frac{Q^2}{\mu^2} = \int_{\alpha_s(\mu^2)}^{\alpha_s(Q^2)} \frac{d\alpha_s}{\beta(\alpha_s)} = -\frac{4}{\beta_0} \left[ \frac{1}{\alpha_s(\mu^2)} - \frac{1}{\alpha_s(Q^2)} \right]$$

$$\alpha_s(Q^2) = \frac{\alpha_s(\mu^2)}{1 + \beta_0 \frac{\alpha_s(\mu^2)}{4} \log \frac{Q^2}{\mu^2}} \quad \beta_0 = \frac{33 - 2N_f}{12}$$

RGG bestimmt asymptot. Verhalten des laufenden Kopplung

Höhere Ordnungen:

$$\beta(\alpha_s) = -\frac{\alpha_s^2}{4} \left[ \beta_0 + \beta_1 \frac{\alpha_s}{4} + \beta_2 \left(\frac{\alpha_s}{4}\right)^2 + \dots \right]$$

$$\beta_1 = \frac{153 - 19N_f}{24}$$

$$\beta_2 = \frac{1}{128} \left\{ 2857 - \frac{5033}{9} N_f + \frac{325}{27} N_f^2 \right\}$$

$$\alpha_s(Q^2) = \frac{4}{\beta_0 \log \frac{Q^2}{\Lambda^2}} \left\{ 1 - \frac{\beta_1}{\beta_0^2} \frac{\log \log \frac{Q^2}{\Lambda^2}}{\log \frac{Q^2}{\Lambda^2}} + \dots \right\}$$

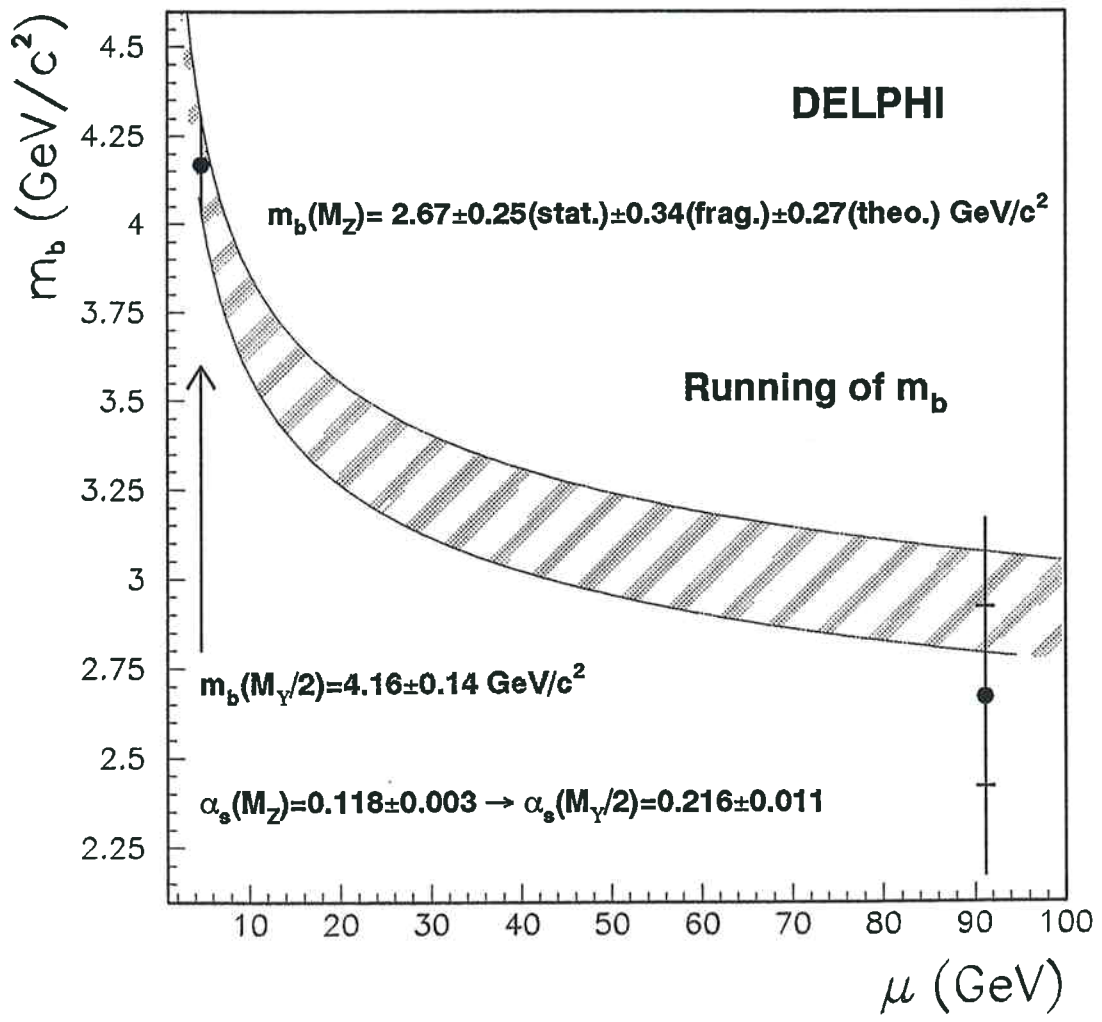
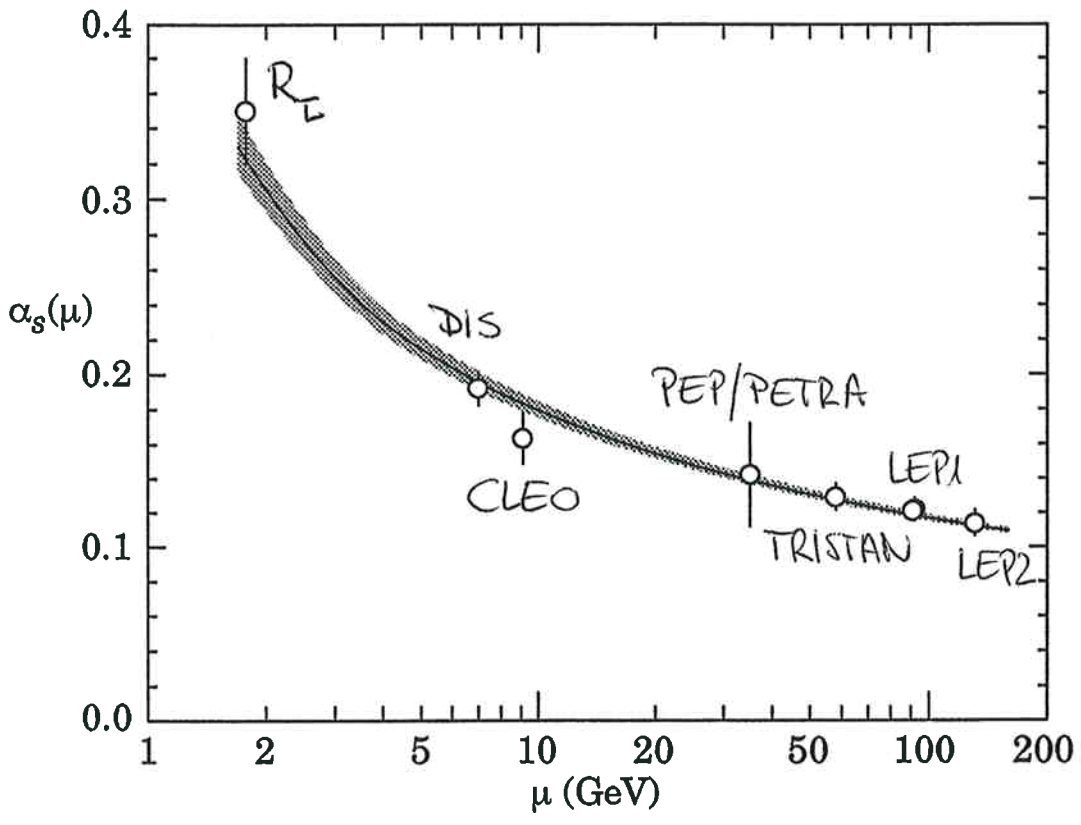
RENORMIERUNGSSCHEMATA [n=4-2ε]

Fermionpropagator:  $S^{-1}(p) = \not{p} [1 - \tilde{\Sigma}(p)]$  

$$\tilde{\Sigma}(p) = \frac{4}{3} \frac{g_s^2}{(4\pi)^{2-\epsilon}} (\mu f)^{2\epsilon} \frac{\Gamma(\epsilon)}{(\not{p})^{2\epsilon}} 2(1-\epsilon) B(2\epsilon, 1-\epsilon)$$

$$g_s^2 \rightarrow \tilde{g}_s^2 (\mu f)^{2\epsilon}$$

(μf)<sup>2ε</sup> [f=beliebige Konstante] macht Wirkung dimensionslos!



$$S^{-1}(p) = p \left\{ 1 - \frac{4}{3} \frac{g_s^2}{16\pi^2} \left[ \frac{1}{\epsilon} - \log \frac{p^2}{(\mu f)^2} + 1 + \log 4\pi - \gamma_E \right] \right\}$$

multiplicative Renormierung:

Euler'sche Konstante  
 $[f(x) = \frac{1}{x} - \gamma_E + O(x)]$

$$S^{-1}(p) = Z_4^{-1} S_R^{-1}(p)$$

(i) Dyson'sches Renormierungsschema

fordere:  $f=1$

$$\left. \begin{aligned} S_R^{-1} &= p \text{ f\"ur } \mu^2 = -p^2 \\ S^{-1}(p) &= p [1 - \tilde{Z}_4(p)] [1 - \tilde{Z}_4(p) + \tilde{Z}_4(p)] \end{aligned} \right\}$$

Lösung:  $Z_4^{-1} = 1 - \frac{4}{3} \frac{g_s^2}{16\pi^2} \left[ \frac{1}{\epsilon} + \log 4\pi - \gamma_E + 1 \right]$

$$S_R^{-1}(p) = p \left[ 1 + \frac{4}{3} \frac{g_s^2}{16\pi^2} \log \left( \frac{-p^2}{\mu^2} \right) \right]$$

(MH = Mandelstam subtraction)

Kopplung / Ladung hängt vom Renormierungsschema ab

(ii) 't Hooft: Minimal subtraction (MS)

fordere:  $f=1$

$Z_4^{-1}$  entfernt nur  $\frac{1}{\epsilon}$ -Pol

$$S^{-1}(p) = p \left[ 1 - \frac{4}{3} \frac{g_s^2}{16\pi^2} \frac{1}{\epsilon} \right] \left[ 1 - \frac{4}{3} \frac{g_s^2}{16\pi^2} \left[ -\log \left( \frac{-p^2}{\mu^2} \right) + \log 4\pi - \gamma_E + 1 \right] \right]$$

Lösung:  $Z_4^{-1} = 1 - \frac{4}{3} \frac{g_s^2}{16\pi^2} \frac{1}{\epsilon}$

$$S_R^{-1}(p) = p \left\{ 1 - \frac{4}{3} \frac{g_s^2}{16\pi^2} \left[ -\log \left( \frac{-p^2}{\mu^2} \right) + \log 4\pi - \gamma_E + 1 \right] \right\}$$

(iii) Modifizierte Minimal subtraction (MS)

Bardeen, ...

fordere:  $f = \exp \left[ -\frac{1}{2} (\log 4\pi - \gamma_E) \right] \leftarrow$  entfernt triviale Konstanten

$$S^{-1}(p) = p \left[ 1 - \frac{4}{3} \frac{\beta_0^2}{16\pi^2} \frac{1}{\epsilon} \right] \left[ 1 - \frac{4}{3} \frac{\beta_0^2}{16\pi^2} \left( 1 - \log \frac{\mu^2}{\mu_0^2} \right) \right]$$

Lösung:  $Z_4^{-1} = 1 - \frac{4}{3} \frac{\beta_0^2}{16\pi^2} \frac{1}{\epsilon}$

$$S_R^{-1}(p) = p \left\{ 1 - \frac{4}{3} \frac{\beta_0^2 \overline{HS}}{16\pi^2} \left[ 1 - \log \left( \frac{\mu^2}{\mu_0^2} \right) \right] \right\}$$

HS  $\leftrightarrow$  HS:  $\mu^2 \leftrightarrow \mu^2 \exp[-\log \mu_0 + \gamma \epsilon]$

$$\Lambda_{HS}^2 = \mu^2 \exp \left\{ -\frac{16\pi^2}{\beta_0 \beta_{HS}^2} + \frac{\beta_1}{\beta_0^2} \log(\beta_0 \beta_{HS}^2) \right\}$$

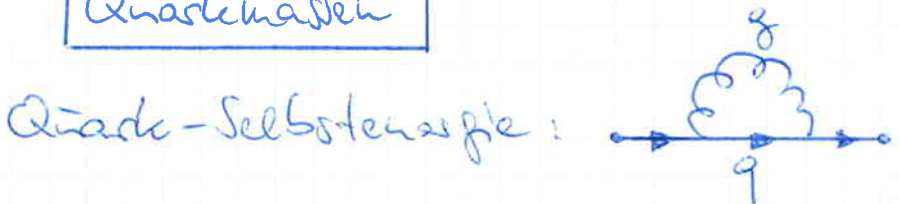
$$\Lambda_{\overline{HS}}^2 = \mu^2 \exp \left\{ -\frac{16\pi^2}{\beta_0 \beta_{\overline{HS}}^2} + \frac{\beta_1}{\beta_0^2} \log(\beta_0 \beta_{\overline{HS}}^2) \right\}$$

$$\Lambda_{\overline{HS}} = \Lambda_{HS} \exp \left\{ \frac{\log \mu_0 - \gamma \epsilon}{2} \right\}$$

$\beta_0, \beta_1$  unabhängig vom Renormierungsschema (nicht  $\beta_{i \geq 2}$ )

$\alpha_{S_{\overline{HS}}}(\alpha^2) > \alpha_{S_{HS}}(\alpha^2)$

Quarkmassen



$$\Sigma(p=m) = m C_F \frac{\alpha_S}{4} P(1+\epsilon) \left( \frac{4\pi \mu_0}{m} \right)^\epsilon \left( \frac{3}{4\epsilon} + 1 \right)$$

$m = m_0 + \Sigma(p=m)$  Polmasse

$\overline{m}(\mu^2) = m_0 + \delta \overline{m}$   $\overline{HS}$ -masse

$\delta \overline{m} = m C_F \frac{\alpha_S}{4} P(1+\epsilon) \left( \frac{4\pi \mu_0}{\mu^2} \right)^\epsilon \frac{3}{4\epsilon}$  [mit Divergenz]

Relation Polmasse  $\leftrightarrow$  FS-Basis:

$$\begin{aligned} \bar{m}(\mu^2) &= m - [\Sigma(p=m) - \delta\bar{m}] = m \left[ 1 - C_F \frac{\alpha_s}{4} \left( \frac{3}{4} \log \frac{\mu^2}{m^2} + 1 \right) \right] \\ &= m \left[ 1 - C_F \frac{\alpha_s}{4} \right] \left[ 1 - \frac{3}{4} C_F \frac{\alpha_s}{4} \log \frac{\mu^2}{m^2} \right] \end{aligned}$$

$$\begin{aligned} \bar{m}(m^2) &= m \left[ 1 - C_F \frac{\alpha_s(m^2)}{4} \right] \\ \bar{m}(\mu^2) &= \bar{m}(m^2) \left[ 1 - \frac{\alpha_s}{4} \log \frac{\mu^2}{m^2} \right] \end{aligned}$$

Renormierungsgruppen-Gleichung:

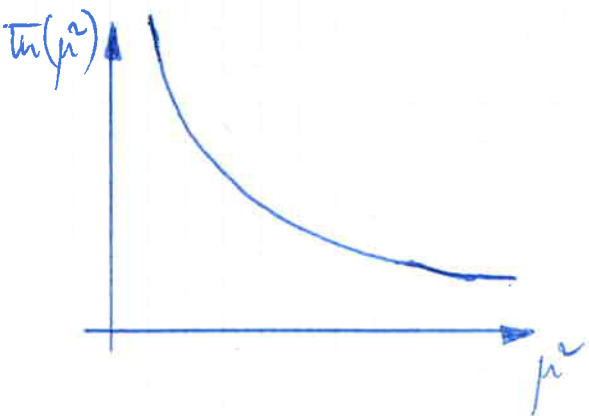
$$\mu^2 \frac{\partial \bar{m}(\mu^2)}{\partial \mu^2} = -\gamma_m(\alpha_s(\mu^2)) \bar{m}(\mu^2)$$

$$\gamma_m(\alpha_s) = \frac{\alpha_s}{4} + O(\alpha_s^2) \quad \text{anomale Massendimension}$$

$$\begin{aligned} \alpha_s(\mu^2) = \frac{\bar{\alpha}}{\beta_0 \log \frac{\mu^2}{\Lambda^2}} \Rightarrow \text{Lösung: } \bar{m}(\mu^2) &= \bar{m}(m^2) \exp \left\{ -\frac{1}{\beta_0} \int_{m^2}^{\mu^2} \frac{d\alpha^2}{\alpha^2 \log \frac{\alpha^2}{\Lambda^2}} \right\} \\ &= \bar{m}(m^2) \left[ \frac{\alpha_s(\mu^2)}{\alpha_s(m^2)} \right]^{\frac{1}{\beta_0}} \end{aligned}$$

$$\begin{aligned} \bar{m}(\mu^2) &= \hat{m} [\alpha_s(\mu^2)]^{\frac{1}{\beta_0}} \\ \hat{m} &= \bar{m}(m^2) [\alpha_s(m^2)]^{-\frac{1}{\beta_0}} \end{aligned}$$

[RG-Invariante]



mit wachsendem  $\mu^2$  ( $R \rightarrow \infty$ )  
verschwindet die effektive  
Quarkmasse.

Beispiele:

Bottomquark:  $m_b = 4.8 \text{ GeV}$

$$\overline{m}_b(m_b^2) = 4.2 \text{ GeV}$$

$$\overline{m}_b(\mu^2) = 2.9 \text{ GeV}$$

Charquark:  $m_c = 1.6 \text{ GeV}$

$$\overline{m}_c(m_c^2) = 1.2 \text{ GeV}$$

$$\overline{m}_c(\mu^2) = 0.6 \text{ GeV}$$

leichte Quarks:  $\overline{m}_u(1 \text{ GeV}^2) \sim 5 \text{ MeV}$

Gasser, Leutwyler

[QCD sum rules]  $\overline{m}_d(1 \text{ GeV}^2) \sim 8 \text{ MeV}$

$\overline{m}_s(1 \text{ GeV}^2) \sim 200 \text{ MeV}$

Höhere Ordnungen:

$$\overline{m}(m^2) = \frac{m}{1 + C_F \frac{\alpha_s(m^2)}{4} + K \left( \frac{\alpha_s(m^2)}{4} \right)^2}$$

Gray, Broadhurst, Grafe, Schilder

$$K_t \sim 10.9 \quad K_b \sim 12.4 \quad K_c \sim 13.4$$

$$\overline{m}(\mu^2) = \overline{m}(m^2) \frac{C[\alpha_s(\mu^2)/4]}{C[\alpha_s(m^2)/4]}$$

$$C(x) = \left(\frac{9}{2}x\right)^{4/9} \left[ 1 + 0.895x + 1.371x^2 + 1.952x^3 \right]$$

$m_b < \mu < m_c$

$$C(x) = \left(\frac{25}{6}x\right)^{12/25} \left[ 1 + 1.014x + 1.389x^2 + 1.091x^3 \right]$$

$m_c < \mu < m_b$

$$C(x) = \left(\frac{23}{6}x\right)^{12/23} \left[ 1 + 1.175x + 1.501x^2 + 0.1725x^3 \right]$$

$m_b < \mu < m_t$

$$C(x) = \left(\frac{7}{2}x\right)^{4/7} \left[ 1 + 1.389x + 1.793x^2 - 0.6834x^3 \right]$$

$m_t < \mu$

Chetyrkin  
Garin, van Ritbergen, Vermaseren

### §6. Renormierungsgruppe

Parameter einer Feldtheorie [Massen, Kopplungen] werden für ein bestimmtes  $\mu^2$  vorgegeben; die physikalischen Observablen sind unabhängig vom speziellen  $\mu^2$ :

Änderung von  $\mu^2 \oplus$  entsprechende Änderung des Parameters

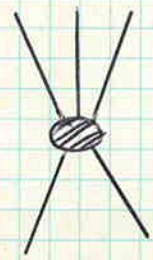
$\Rightarrow$  Invarianz, formuliert durch RGGn [ $\Leftarrow$  partielle Differentialgl.]

Anwendung:  $\mu^2$ -Variation wird übersetzt auf  $Q^2$ -Variation mit Hilfe von Dimensionsanalyse

$\Rightarrow$   $Q^2$ -Variation von Observablen bestimmt

### Ableitung der RGG:

Green's-Funktion:  $G^{N_G N_\psi}(p) =$



$N_G = \#$  Eichfelder

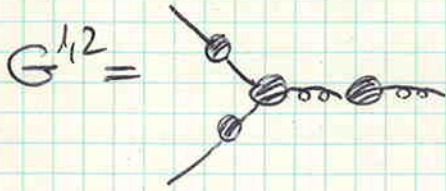
$N_\psi = \#$  Fermionfelder

$$= \langle 0 | T \{ \psi(x_1) \dots \} | 0 \rangle_{FT}$$

amputierte Green's-Funktionen:

$$\Gamma^{N_G N_\psi}(p) = \frac{G^{N_G N_\psi}(p)}{\prod_G G^{20}(p_G) \prod_\psi G^{02}(p_\psi)}$$

Bsp:  $\Gamma^{02} = [G^{02}]^{-1}$



$$\Rightarrow \Gamma^{12} = \text{Vertex} \left[ = g_{01} \gamma_\mu + \dots \right]$$

Vertex

# Theorem der multiplikativen Renormierung von Eichtheorien (27)

Divergente Teile des  $\Gamma$ 's können in cut-off-abhängige Faktoren abgespalten werden; der verbleibende Rest  $\Gamma_R$  ist nach Einführung des renormierten Ladung  $g$  endlich und wohldefiniert für  $\text{cut-off} \rightarrow \infty$ ; die Renormierungskonstanten hängen mit von den Spezies der äußeren Beine ab.

Bsp: (i) Fermion-propagator:

$$i S_F'(p) = \text{---} + \text{---} \text{---} \text{---} + \dots$$

$$= \frac{i}{\not{p}} + \frac{i}{\not{p}} [-i \Sigma(p)] \frac{i}{\not{p}} + \dots$$

$$\Sigma(p, \epsilon) = -C_F \frac{\alpha_{s0}}{4\pi} \Gamma(1+\epsilon) \left(\frac{4\pi}{\mu^2}\right)^\epsilon \left(\frac{1}{\epsilon} + 1 + O(\epsilon)\right) \not{p}$$

$$\frac{i}{\not{p}} \rightarrow \frac{i}{\not{p}} \left[ 1 - \frac{\alpha_{s0}}{4\pi} C_F \Gamma(1+\epsilon) \left(\frac{4\pi}{\mu^2}\right)^\epsilon \left(\frac{1}{\epsilon} + 1\right) - C_F \frac{\alpha_{s0}}{4\pi} \log \frac{\mu^2}{p^2} \right] + O(\epsilon)$$

$$= \frac{i}{\not{p}} \left[ 1 - C_F \frac{\alpha_{s0}}{4\pi} \Gamma(1+\epsilon) \left(\frac{4\pi}{\mu^2}\right)^\epsilon \left(\frac{1}{\epsilon} + 1\right) \right] \left[ 1 - C_F \frac{\alpha_{s0}}{4\pi} \log \frac{\mu^2}{p^2} \right] + O(\epsilon, \alpha_s^2)$$

$$S_F'(p) = \frac{Z_2(\alpha_{s0}, \mu)}{\not{p}} \left[ 1 - C_F \frac{\alpha_{s0}}{4\pi} \log \frac{\mu^2}{p^2} \right]$$

$$\leftarrow S_F^R(p) = \frac{1}{\not{p}} \text{ für } \mu^2 = -p^2$$

$$p^2 = Z_4^{-2} p_R^2(p)$$

(ii) Vertex:



$$S_F(p') g_{s0} T^a \gamma_\mu S_F(p) D_G^{\mu\nu}(k) \rightarrow S_F'(p') g_{s0} T^a \gamma_\mu S_F'(p) D_G^{\mu\nu}(k)$$

$$= Z_4^{1/2} S_F^R(p') \left[ g_{s0} \frac{Z_4^{1/2} Z_G^{1/2}}{Z_1^{1/2}} \right] p_R^\mu S_F^R(p) Z_4^{1/2} D_G^{R\mu\nu}(k) Z_G^{1/2} T^a$$

$$= Z_4^{-1/2} S_F'(p') \underbrace{\left[ g_{s0} \frac{Z_4^{1/2} Z_G^{1/2}}{Z_1^{1/2}} \right]}_{g_s} p_R^\mu S_F'(p) Z_4^{-1/2} D_G^{\mu\nu}(k) Z_G^{-1/2} T^a$$

$$\Rightarrow g_{50} P'_\mu = z_\psi^{-2\nu} z_\phi^{-1/\nu} g_5 P_\mu^R$$

$$\Gamma_{R}^{N_G N_\psi} (p; g_{50}, \epsilon) = z_\phi^{-N_G/2} (g_{50}, \mu) z_\psi^{-N_\psi/2} (g_{50}, \mu) \Gamma_R^{N_G N_\psi} (p; g_5, \mu)$$

In Eichtheorien werden Renormierungskonstanten  $Z$  durch 3 Green's-Funktionen theoretisch fixiert [mod. Eichung/Gaister]:

$$\Gamma_R^{20} (p^2 = -\mu^2) = z_\phi (g_{50}, \mu) \Gamma^{20} (p^2 = -\mu^2) = -g_{\mu\nu} p^\mu + p_\mu p^\nu$$

$$\Gamma_R^{012} (p^2 = -\mu^2) = z_\psi (g_{50}, \mu) \Gamma^{012} (p^2 = -\mu^2) = \not{p}$$

$$\Gamma_R^{211} (p^2 = -\mu^2) = \sqrt{z_\phi} z_\psi \Gamma^{211} (p^2 = -\mu^2) = g_5 \not{p}$$

RGG: Die synchrone Änderung von  $\mu$  und  $g_5(\mu)$  läßt die Theorie invariant.

$$\mu \frac{d}{d\mu} \Gamma = 0$$

$$\Rightarrow \left\{ \mu \frac{\partial}{\partial \mu} + \mu \frac{\partial g_5}{\partial \mu} \frac{\partial}{\partial g_5} - \frac{N_G}{2} \mu \frac{\partial \log z_\phi}{\partial \mu} - \frac{N_\psi}{2} \frac{\partial \log z_\psi}{\partial \mu} \right\} \Gamma_R^{N_G N_\psi} (p; g_5(\mu), \mu) = 0$$

$\beta$ -Funktion:  $\beta(g_5) = \mu \frac{\partial}{\partial \mu} g_5(g_{50}, \mu)$

anomale Dimension:  $\gamma(g_5) = \frac{1}{2} \mu \frac{\partial}{\partial \mu} \log z_\phi(g_{50}, \mu)$

$$\left\{ \mu \frac{\partial}{\partial \mu} + \beta(g_5) \frac{\partial}{\partial g_5} - N_G \gamma_G(g_5) - N_\psi \gamma_\psi(g_5) \right\} \Gamma_R(p; g_5, \mu) = 0$$

↳ Verschiebe  $\mu$ -Variation auf  $p$ -Variation:  $\Gamma_R = \mu^D f\left(\frac{p}{\mu}\right)$   
 $D = \text{Inferent-Dimension}$

$P \rightarrow e^t P:$

$$\left\{ -\frac{\partial}{\partial t} + \beta(f_s) \frac{\partial}{\partial f_s} + D - N_G \gamma_G(f_s) - N_F \gamma_F(f_s) \right\} \Gamma_R^{N_G, N_F} (e^t P, f_s, \mu) = 0$$

wobei  $t = \log \frac{Q}{\mu}$

Lösung: 
$$\frac{\partial \bar{f}_s(f_s, t)}{\partial t} = \beta(\bar{f}_s(f_s, t))$$
  
$$\bar{f}_s(f_s, 0) = f_s \implies t = \int_{f_s}^{\bar{f}_s(f_s, t)} \frac{df'}{\beta(f')}$$

• Differentiation nach t:  $1 = \frac{1}{\beta(\bar{f}_s)} \frac{\partial \bar{f}_s}{\partial t}$

• Differentiation nach  $f_s$ :

$$0 = -\frac{1}{\beta(f_s)} + \frac{1}{\beta(\bar{f}_s)} \frac{\partial \bar{f}_s}{\partial f_s} \implies \beta(f_s) \frac{\partial \bar{f}_s}{\partial f_s} = \beta(\bar{f}_s) = \frac{\partial \bar{f}_s}{\partial t}$$

Die allgemeinste Lösung ist eine Funktion von  $\bar{f}_s(f_s, t)$ , modifiziert um die durch Ingenieur-Dimension und axonale Dimension bestimmte spezielle Lösung:

$$\Gamma_R^{N_G, N_F} (e^t P, f_s) = \Gamma_R^{N_G, N_F} (P, \bar{f}_s(f_s, t)) \exp \left\{ \int_0^t dt' \left[ N_G \gamma_G(\bar{f}_s(f_s, t')) + N_F \gamma_F(\bar{f}_s(f_s, t')) \right] \right\}$$

$\gamma_G(f_s) = \left( -\frac{13}{2} + \frac{2}{3} N_F \right) \frac{x_s}{4n} + \dots$  [Landau-Eichung]

$\gamma_F(f_s) = 0 + \dots$

$\frac{\beta(f_s)}{f_s} = -\beta_0 \frac{x_s}{4n} - \beta_1 \frac{x_s^2}{(4n)^2} + \dots$

mit  $\beta_0 = 11 - \frac{2}{3} N_F$   
 $\beta_1 = 102 - \frac{38}{3} N_F$  } hängen nicht von der Ref. ab!

(höhere Ordnungen  $\beta_2, \beta_3, \dots$  hängen von Art der Repikanthierung ab)

# EFFEKTIVE KOPPLUNG

- niedrigste Ordnung:

$$t = - \int_{g_s}^{g_s'} \frac{dg'}{b g'^3} = \frac{1}{2b} \left[ \frac{1}{g_s'} - \frac{1}{g_s} \right] \Rightarrow g_s^2(g_s', t) = \frac{g_s^2}{1 + (1 - \frac{2}{3} N_F) \frac{g_s^2}{8\pi^2} t}$$

$g_s^2 = g_s^2(\mu^2)$

$$t = \frac{1}{2} \log \frac{Q^2}{\mu^2}$$

- höhere Ordnungen:

$$g_s^2(Q^2) = \frac{(4\pi)^2}{\beta_0 \log \frac{Q^2}{\Lambda^2}} \left[ 1 - \frac{\beta_1}{\beta_0} \frac{\log \log \frac{Q^2}{\Lambda^2}}{\log \frac{Q^2}{\Lambda^2}} + \dots \right]$$

mit  $\Lambda^2 = \mu^2 \exp \left\{ -\frac{16\pi^2}{\beta_0 g_s^2} + \frac{\beta_1}{\beta_0} \log(\beta_0 g_s^2) \right\}$

$Q^2$ -Variation von Green's-Funktionen:

$$\left. \begin{aligned} \chi_G(g_s^2) &= -d g_s^2 + \dots \\ d &= \left( \frac{13}{2} - \frac{2}{3} N_F \right) \frac{1}{(4\pi)^2} \\ g_s^2(t) &= \frac{g_s^2}{1 + 2b g_s^2 t} \\ b &= \left( 11 - \frac{2}{3} N_F \right) \frac{1}{(4\pi)^2} \end{aligned} \right\} \begin{aligned} \int_0^t dt' \chi_G(g_s^2(t')) &= \int_0^t dt' (-d) \frac{g_s^2}{1 + 2b g_s^2 t'} \\ &= -\frac{d}{2b} \log(1 + 2b g_s^2 t) = -\log(1 + 2b g_s^2 t)^{\frac{d}{2b}} \end{aligned}$$

$$\Rightarrow \Gamma_R \propto e^{\int dt} e^{\log(1 + 2b g_s^2 t)^{\frac{d}{2b}}} \xrightarrow{(t \rightarrow \infty)} e^{\int dt} t^{\frac{d}{2b}}$$

$$\Gamma_R \propto Q^D (\log Q)^{\frac{d}{2b}}$$

Green's-Funktionen ändern sich in asymptotisch freien Theorien logarithmisch mit  $Q^2$ . [← Fixpt.-Theorie:  $f = f^* \neq 0 \Rightarrow \Gamma_R \propto Q^D Q^{c^*}$ ]

# B.) QCD bei kleinen Abständen

## §1. Strukturfunktionen des Nucleons

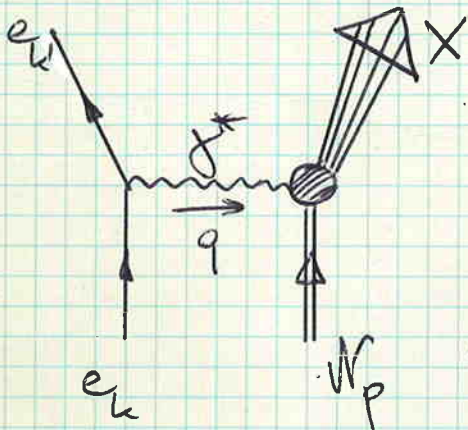
Asymptotische Freiheit:

(i)  $\alpha_s$  klein  $\rightarrow$  0te Approximation: approximativ freie Teilchen bei kleinen Abständen / hohen Energien

$\Rightarrow$  PARTONMODELL

(ii) log  $Q^2$ -Abhängigkeit durch höhere Ordnungen

[o.B.d.A.: elektromagnetische Strukturfunktionen]



$$M(x) = ie^2 \bar{u}' \gamma^\mu u \frac{1}{q^2} \langle X | j_\mu | W_p \rangle$$

Wirkungsquerschnitt [E = e lab.-Energie]

$$d\sigma(e') = \frac{1}{4E} \frac{d^3k'}{(2\pi)^3 2E'} \frac{1}{4} \sum_X (2\pi)^4 \delta_4(p+q-p_x) |M_X|^2$$

$$q = k - k' \quad q^2 = -Q^2 < 0$$

$$\frac{1}{4} \sum_X (2\pi)^4 \delta_4(p+q-p_x) |M_X|^2$$

$$= \left(\frac{e^2}{Q^2}\right)^2 \frac{1}{4} \sum_{\text{spins}} [\bar{u}' \gamma^\nu u] [\bar{u} \gamma^\mu u] \sum_X \langle W | j_\mu | X \rangle \langle X | j_\nu | W \rangle (2\pi)^4 \delta_4(p+q-p_x)$$

=  $L_{\mu\nu}$  Leptontensor

=  $8\pi W_{\mu\nu}$  Hadrontensor

Leptontensor:  $L_{\mu\nu} = k_\mu k'_\nu + k_\nu k'_\mu - (kk')$   $g_{\mu\nu} \leftarrow$  sym  $\mu, \nu; k, k'$

Hadrontensor:

$$W_{\mu\nu} = \frac{1}{8\pi} \sum_{\text{spins}} \sum_X (2\pi)^4 \delta_4(p+q-p_x) \langle W_p | j_\mu^{el}(x) | X \rangle \langle X | j_\nu^{el}(0) | W_p \rangle$$

$$= \frac{1}{8\pi} \sum_{\text{spins}} \int d^4x e^{-iqx} \langle W_p | [j_\mu^{el}(0), j_\nu^{el}(x)] | W_p \rangle$$

Eigenschaften von  $W_{\mu\nu}$ :

- (i) sym. Tensor in  $p_\mu, q_\mu, g_{\mu\nu}$
- (ii) Stromerhaltung:  $q^\mu W_{\mu\nu} = q^\nu W_{\mu\nu} = 0$  [ $\partial^\mu j_\mu = 0$ ]
- (iii) Tensor reell ( $\leftarrow$  Hermitizität des elem. Stroms)

Invariantenzerlegung:

allgem. Basis:

$$g_{\mu\nu} \quad q_\mu q_\nu \quad p_\mu p_\nu \quad p_\mu q_\nu + p_\nu q_\mu \quad q_\mu q_\nu$$

$$-g_{\mu\nu} + \frac{q_\mu q_\nu}{q^2} \quad [p_\mu - q_\mu \frac{p_\nu}{q^2}] [p_\nu - q_\nu \frac{p_\mu}{q^2}]$$

$$W_{\mu\nu} = W_1 \left[ -g_{\mu\nu} + \frac{q_\mu q_\nu}{q^2} \right] + W_2 [p_\mu - q_\mu \frac{p_\nu}{q^2}] [p_\nu - q_\nu \frac{p_\mu}{q^2}]$$

$W_i =$  Lorentz-skalare Strukturfunktionen

Variable: (i) Elektronenzustand durch Energie und Streuwinkel charakterisiert

(ii) invariant:  $Q^2 = -q^2 = +4EE' \sin^2 \frac{\theta}{2}$  Streuwinkel  
 $v = pq = M(E - E')$  Energieverlust im e-Sektor

Bereich:  $Q^2 \geq 0$  }  $(p+q)^2 = W^2 \geq M^2$  (mind.  $M$  im Endzustand)  
 $v \geq 0$  }  $M^2 + 2pq + q^2 \geq M^2 \Rightarrow 2v \geq Q^2$   
= elastisch

(iii) Skalenvariable:  
 Bjorken-Variable  $x = \frac{Q^2}{2v}$   $0 \leq x \leq 1$   
 relat. Energieverlust  $y = \frac{pq}{pE}$   $0 \leq y \leq 1$

Strukturfunktion:  $F_1(x, Q^2) = W_1(v, Q^2)$   
 $F_2(x, Q^2) = v W_2(v, Q^2)$

Wirkungsquerschnitt im Hochenergiebereich:

$$\frac{d\sigma}{dx dy} = \frac{4\pi\alpha^2}{Q^4} s_{em} \left[ (1-y) F_2(x, Q^2) + y^2 x F_1(x, Q^2) \right]$$

Interpretation des Strukturkoeffizienten:

Essenz von  $eN \rightarrow e' + \text{alles}$  ist  $\gamma^* + W \rightarrow \text{alles}$   
 totaler Absorptionsweg virtueller Photonen

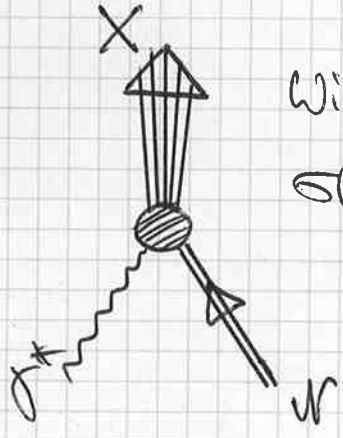
Wellenfunktionen virtuelles raumartiges Photonen:

$q_\mu = \left( \frac{v}{h}, 0, 0, \sqrt{Q^2 + \frac{v^2}{h^2}} \right)$  im Laborsystem

→ transv. Polarisationen:  $\epsilon_\mu(\pm) = \frac{1}{\sqrt{2}} (0, 1, \pm i, 0)$

longitudinale Polarisation:  $\epsilon_\mu(L) = \frac{1}{\sqrt{Q^2}} \left( \sqrt{Q^2 + \frac{v^2}{h^2}}; 0, 0, \frac{v}{h} \right)$

Normierung:  $\epsilon_i \epsilon_j^* = \pm \delta_{ij}$      $\epsilon_{\pm} q = 0$      $\epsilon_{\pm}^* \epsilon_{\pm} = -1$      $\epsilon_L^2 = +1$



Wirkungsquerschnitt  $\gamma^* + W \rightarrow \text{alles}$

$$\sigma(\gamma^* W) \propto \sum_X \epsilon^{*\mu} \langle W | j_\mu | X \rangle \langle X | j_\nu | W \rangle \epsilon_\nu (2\pi)^4 \delta_4(p+q-p_X)$$

$$\propto \epsilon^{*\mu} W_\mu \epsilon_\nu$$

transv. Wq:  $\sigma_{\pm} = \epsilon_{\pm}^{*\mu} W_\mu \epsilon_{\pm}^\nu = W_1 = F_1 \geq 0$     [Polum:  $\sigma_+ = \sigma_- = \frac{1}{2} \sigma_T$ ]

longit. Wq:  $\sigma_L = \epsilon_L^{*\mu} W_\mu \epsilon_L^\nu = -W_1 + \left( \frac{v^2}{Q^2} + h^2 \right) W_2 \geq 0$   
 $(Q^2 \gg h^2) \rightarrow -F_1 + \frac{1}{2x} F_2$

R-Verhältnis:

$$R = \frac{\sigma_L}{\sigma_T} \qquad R = \left( \frac{v^2}{Q^2} + h^2 \right) \frac{W_2}{W_1} - 1$$

$$\rightarrow \frac{F_2 - 2xF_1}{2xF_1}$$

# Experimentelle Resultate:

## 1.) Bjorken Scaling:

Bjorken-lines:  $Q^2$  groß  
 $x$  fest

$vW_2(\nu, Q^2) = F_2(x, Q^2) \rightsquigarrow F_2(x)$ $W_1(\nu, Q^2) = F_1(x, Q^2) \rightsquigarrow F_1(x)$
--

Scaling am deutlichsten ausgeprägt für  $x \sim 0.25$

$x \leq 0.25$ :  $F_2(x, Q^2)$  geringfügig mit  $Q^2$  ansteigend

$x \geq 0.25$ :  $F_2(x, Q^2)$  geringfügig mit  $Q^2$  abfallend

Geringfügige, lok. Brechung der Skaleninvarianz von QCD vorhergesagt.

## 2.) R-Verhältnis: $R(x, Q^2) = \frac{F_2(x) - 2xF_1(x)}{2xF_1(x)}$

Für große  $Q^2$  strebt  $R \rightarrow 0$ , d.h. langit.  $\gamma^*$  Absorptionsweg. verschwindet:

Callan-Gross Relation: $F_2 = 2xF_1$
--------------------------------------

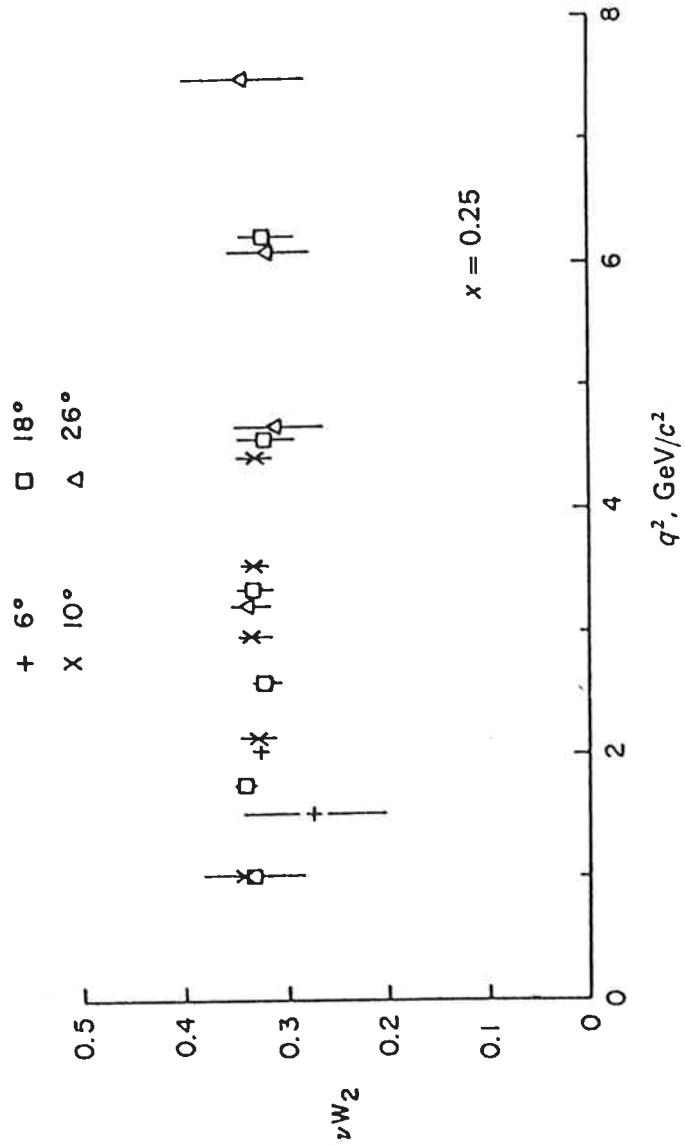
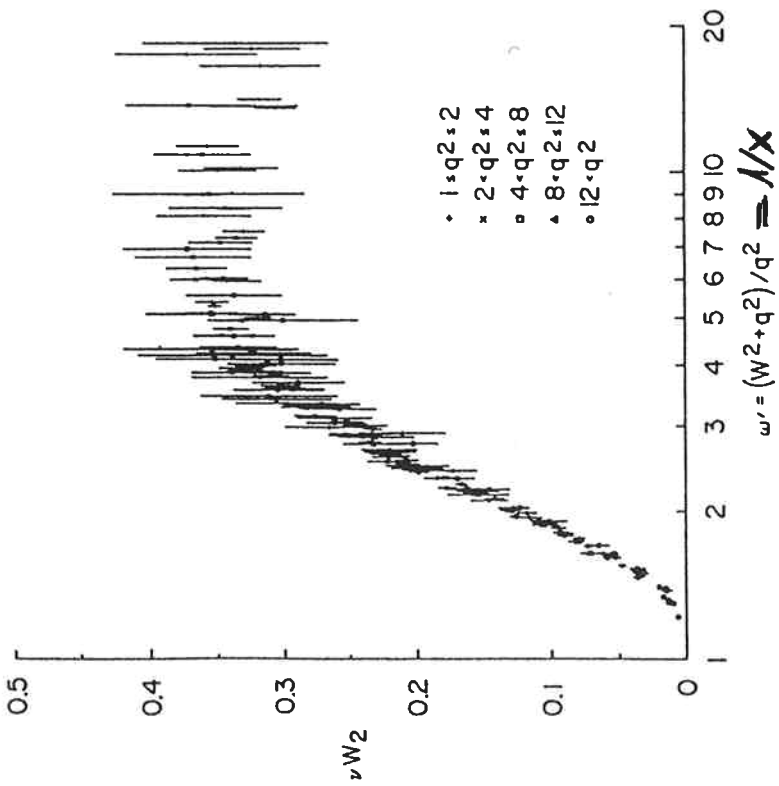
## 3.) Neutron / Proton Verhältnis:

$F_2^N(x) / F_2^P(x)$  fällt vom Wert 1 bei  $x=0$  ab zum Wert  $\frac{1}{2}$  für  $x=1$ .

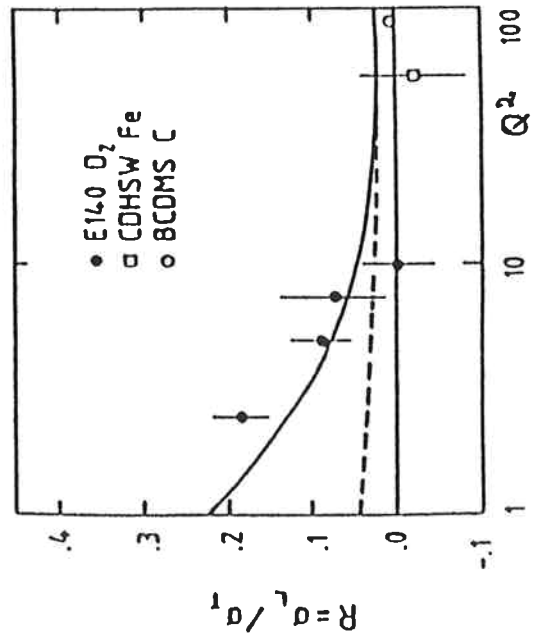
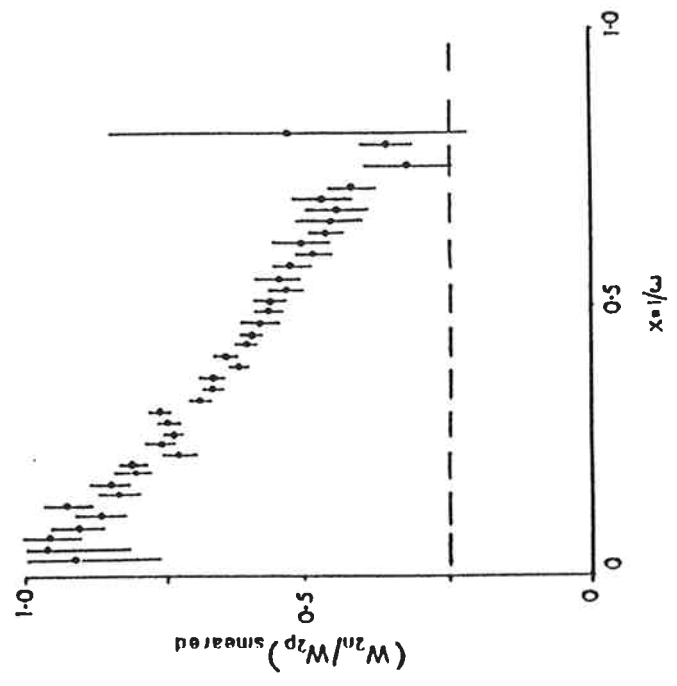
## Klassisches Quark-Proton-Modell

Basis:	$e + \text{ptf.} \rightarrow e + \text{ptf.}$	$eN \rightarrow eN$	$eN \rightarrow e + \text{alles}$
	$\frac{d\sigma^{pt}}{dQ^2} \sim \frac{1}{Q^4}$	$\frac{d\sigma^{el}}{dQ^2} \sim \frac{1}{Q^4}  F(x) ^2$ $\sim \frac{d\sigma^{pt}}{dQ^2} \left(\frac{1}{Q^4}\right)^2$	$\frac{d\sigma}{dQ^2} \sim \frac{1}{Q^4} F_2(x)$ $\sim \frac{d\sigma^{pt}}{dQ^2}$

Scaling  $F_2(x, Q^2) \approx F_2(x) \rightarrow$  inkohärentes Wq verhält sich bei  $Q^2 \rightarrow \infty$  analog zum ptf-förmigen Wq [ $Q^2$ -Abfall um 8 Potenzen langsamer als elast. Nukleon-Wq]



Neutron/Proton Verhältnis:



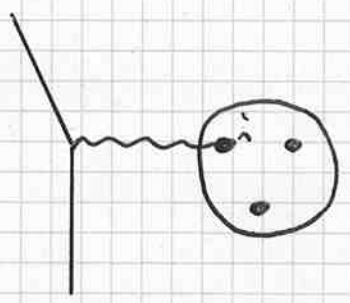
# §2. Partonmodell der tiefinelastischen Lepton-Nukleon-Streuung

Im Quarkbild wird bei hohem Auflösungsvermögen die Reaktion durch Überlagerung der Streureaktionen an Quark-Konstituenten gebildet: Formulierung im Partonmodell.

## ANMERKUNGEN

(i) Bei hohem  $Q^2$  ist die Überlagerung inkohärent:  $d\sigma = \sum_q d\sigma_q$

klassisch:



$$f = \sum_i f_i \quad f_i = \int \frac{d^3\vec{r}}{2\pi} e^{-i\vec{q}\cdot\vec{r}} V_e(\vec{r}-\vec{r}_i)$$

$$= e^{-i\vec{q}\cdot\vec{r}_i} \int \frac{d^3\vec{r}'}{2\pi} e^{i\vec{q}\cdot\vec{r}'} V_e(\vec{r}')$$

$$= e^{-i\vec{q}\cdot\vec{r}_i} f_e$$

$$d\sigma = d\sigma_R \left| \sum_i e^{-i\vec{q}\cdot\vec{r}_i} \right|^2$$

$$f = F f_e$$

(a)  $|\vec{q}|^{-1} \gg |\vec{r}_i|$ :  $d\sigma = N^2 d\sigma_R$  kohärente Überlagerung der Elementarprozesse bei kleinem  $Q^2$

$$(b) |\vec{q}|^{-1} \ll |\vec{r}_i|: \sum_{i \neq j} e^{-i\vec{q}\cdot(\vec{r}_i - \vec{r}_j)} = \sum_{i=j} 1 + \sum_{i \neq j} e^{-i\vec{q}\cdot(\vec{r}_i - \vec{r}_j)}$$

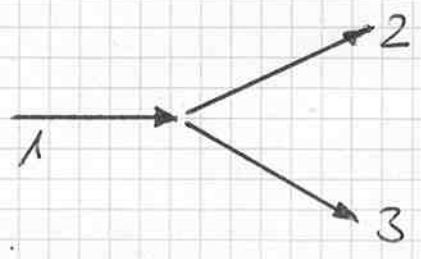
Beiträge interferieren sich zu Null

$$d\sigma = N d\sigma_R$$

inkohärente Überlagerung der Elementarprozesse bei großem  $Q^2$

(ii) Wahrscheinlichkeitsbild:

"Zerlegung" eines Teilchens 1 in zwei Bestandteile 2 und 3 für großes  $Q^2$



$$P_1 = \left( P + \frac{u_1^2}{2P}; 0_{\perp}, P \right)$$

$$P_2 = \left( |x|P + \frac{u_2^2 + k_{\perp}^2}{2|x|P}; k_{\perp}, xP \right)$$

$$P_3 = \left( |1-x|P + \frac{u_3^2 + k_{\perp}^2}{2|1-x|P}; -k_{\perp}, (1-x)P \right)$$

3-Impuls-Erhaltung

Energie-Sprung

Lösung der Born'schen Reihe vor Einführung der Zeitordnung

$$S_{fi} = \lim_{t \rightarrow +\infty} \langle f | U(t, -\infty) | i \rangle = \lim_{t \rightarrow +\infty} U(t, -\infty) f_i$$

$$U(t, -\infty) f_i = \delta_{fi} + (-i) \int_{-\infty}^t dt_1 V_{fi}(t_1) + (-i)^2 \int_{-\infty}^t dt_1 \int_{-\infty}^{t_1} dt_2 \sum_n V_{fn}(t_1) V_{ni}(t_2) + \dots$$

$$= \delta_{fi} + (-i) \int_{-\infty}^t dt_1 e^{i(E_f - E_i)t_1} V_{fi}$$

$$+ (-i)^2 \int_{-\infty}^t dt_1 \int_{-\infty}^{t_1} dt_2 \sum_n e^{i(E_f - E_n)t_1 + i(E_n - E_i)t_2} V_{fn} V_{ni} + \dots$$

$$= \delta_{fi} + e^{i(E_f - E_i)t} \left\{ \frac{V_{fi}}{E_i - E_f + i\epsilon} + \sum_n \frac{V_{fn} V_{ni}}{E_i - E_n + i\epsilon} + \dots \right\}$$

$$\lim_{t \rightarrow \infty} \frac{e^{i(E_f - E_i)t}}{E_i - E_f + i\epsilon} = \frac{1}{i} \lim_{t \rightarrow \infty} \int_{-\infty}^t dt_1 e^{i(E_f - E_i)t_1} = -2\pi i \delta(E_f - E_i)$$

$$S_{fi} = \delta_{fi} - 2\pi i \delta(E_f - E_i) \left\{ V_{fi} + \sum_n \frac{V_{fn} V_{ni}}{E_i - E_n + i\epsilon} + \dots \right\}$$

"old-fashioned perturbation theory"

$$\Delta E = E_1 - (E_2 + E_3) = P(1 - |x| - |1-x|) \text{ für } x < 0 \text{ und } x > 1: \Delta E \sim P$$

$$= \frac{1}{2P} \left[ u_1^2 - \frac{u_2^2 + k_{\perp}^2}{x} - \frac{u_3^2 + k_{\perp}^2}{1-x} \right] \text{ für } 0 < x < 1: \Delta E \sim P^2 \text{ führend}$$

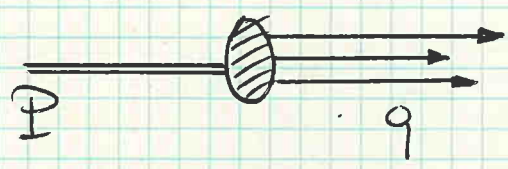
$\rightarrow$  Lebensdauer  $\tau_L \sim \frac{1}{\Delta E} \sim \frac{1}{\langle k_{\perp}^2 \rangle}$  sehr lang im eP-C.M.S.

[ $x < 0, x > 1$ : eines der Tochterteilchen läuft rückwärts]

⇒ Bei schnell bewegten Teilchen dominiert diejenige Zerlegung, bei der die Tochterteilchen, parallel zum Mutterteilchen, einen Energie/Impuls - Bruchteil  $x$  mit  $0 < x < 1$  aufnehmen.

Quark-Partonmodell:

- (i) In schnell bewegten Koordinatensystemen kann Nucleon in wechselwirkungsfreie parallele Partonen zerlegt werden, an denen Leptonen inkohärent streuen.
- (ii) Partonen können mit punktförmigen Quarks identifiziert werden.



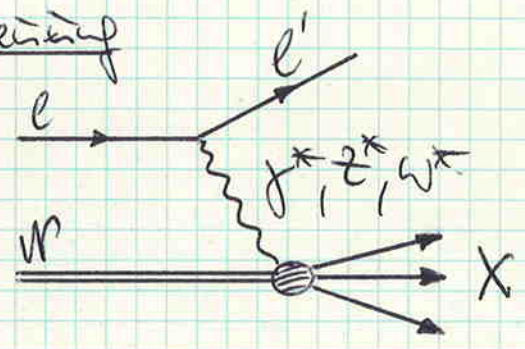
Feynman  
Bjorken, Paschos

Tiefinelastische Lepton - Nucleon - Streuung

Lorentz-Invariant

punktförmiger Leptonstrom

Spin 1 Austausch ⇒



$$\frac{d\sigma_{elm}}{dx dy} = \frac{4\pi\alpha^2}{Q^4} S \left\{ (1-y) F_2^{elm}(x, Q^2) + y^2 x F_1^{elm}(x, Q^2) \right\}$$

$$\frac{d\sigma_{cc}^{v/v}}{dx dy} = \frac{G_F^2 S}{2\pi} \left\{ (1-y) F_2^{v/v}(x, Q^2) + y^2 x F_1^{v/v}(x, Q^2) \pm \frac{1-(1-y)^2}{2} x F_3^{v/v}(x, Q^2) \right\}$$

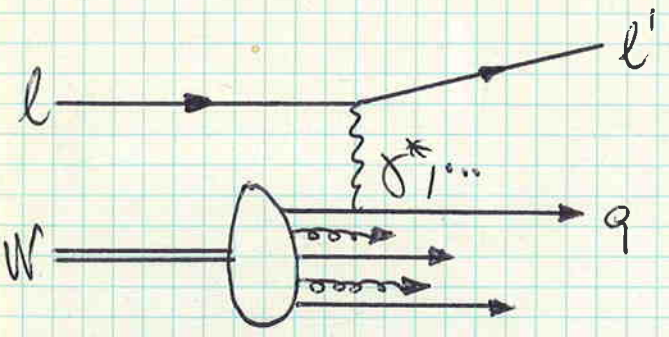
$F_i = F_i(x, Q^2)$  elm. und schwache Strukturfunktionen

transversal:  $F_T = F_1$

longitudinal:  $F_L = F_2 - 2xF_1$

$$R = \frac{F_L}{2xF_T}$$

Quark-Parton Bild:



WW-Zeit:

$$V = Pq = P(q^0 + q^3) = \frac{Q^2}{2x}$$

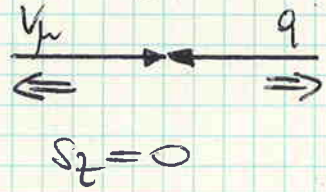
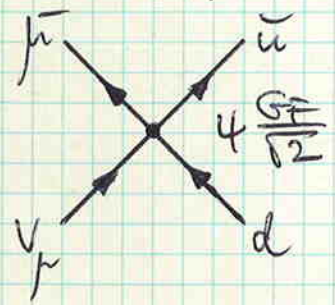
$$Q^2 = -(q^0)^2 + (q^3)^2$$

$$\Delta E^* = -q^0 = xP - \frac{Q^2}{4xP} \sim xP \quad (x \gg 0)$$

$$\left. \begin{aligned} \tau_{WW} &\sim \frac{1}{xP} \\ \tau_L &\sim \frac{P}{2k_{\perp}^2} \end{aligned} \right\} \tau_{WW} \ll \tau_L \rightarrow \text{Quarks reell bei h\ddot{u}rtem Abstandsprozess}$$

Quark-Parton Wirkungsquerschnitte

$V_{\mu} d \rightarrow \bar{\mu} \bar{u}$



$$\frac{ds^q}{d\cos\theta^*} \sim \frac{1}{2s^*} \left( \frac{4G_F^2}{12} \right)^2 \frac{s^*{}^2}{8\pi} \sim \frac{G_F^2 s^*}{\pi}$$

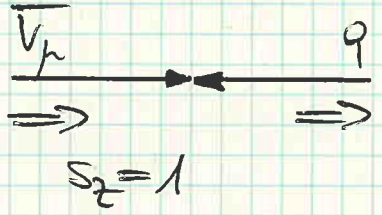
$$g = \frac{Pq}{pk} = \frac{Pq}{pk} = \frac{e^2(1-\cos\theta^*)}{2e^2}$$

$$g = \frac{1}{2}(1-\cos\theta^*)$$

$$\frac{ds^q}{dy} = \frac{G_F^2 s^*}{\pi}$$

$V_{\mu} d \rightarrow \bar{\mu} \bar{u}$  LL  
 $\bar{V}_{\mu} \bar{d} \rightarrow \mu^+ u$  RR

$\bar{V}_{\mu} \bar{u} \rightarrow \mu^+ d$



$$\frac{ds^q}{d\cos\theta^*} \sim (1+\cos\theta^*)^2 \sim (\tan\theta)^2$$

keine Rückwärtsstreuung: RL, LR (0)

$$\frac{ds^q}{dy} = \frac{G_F^2 s^*}{\pi} (\tan\theta)^2$$

$e q \rightarrow e q$

beide Helizitäten inkohärent

$$\frac{ds^q}{dy} = \frac{2\pi \alpha^2 e_q^2}{Q^4} s^* [1 + (\tan\theta)^2]$$

Zusammensetzung:

MF:  $CH(l, W)$

$f_q(\xi) d\xi =$  Anzahl der Quarks  $q$  im

Breit-System:  $q = (0, 0, 0, q)$  Impulsintervall  $d\xi$  um  $\xi$ :  $p_q = \xi P$

⋮

$$\frac{dS}{dx dy} = \sum_q \int_0^1 d\xi f_q(\xi) \frac{dS^q(s_* = \xi s)}{dy} \delta_1(x - \frac{Q^2}{2W})$$

$$\frac{Q^2}{2W} = \xi \frac{Q^2}{2W_q} = \xi$$

↳ Elastizitätsbedingung:  $(p_q + q)^2 = p_q^2$

$$-Q^2 + 2q p_q = 0 \implies \frac{Q^2}{2W_q} = 1$$

$$\frac{dS}{dx dy} = \sum_q f_q(x) \frac{dS^q(s_* = x s)}{dy}$$

Bjorken-Variablen bestimmt den Relativimpuls des jettesten Quarks:  $\xi = x$

$$V: \frac{dS}{dx dy} = \frac{G_F^2 S}{4} \left\{ x d(x) + (1-y)^2 x \bar{u}(x) \right\}$$

$$\bar{V}: \frac{dS}{dx dy} = \frac{G_F^2 S}{4} \left\{ (1-y)^2 x \bar{u}(x) + x d(x) \right\}$$

$$e: \frac{dS}{dx dy} = \frac{2 \ln 2^2 S}{Q^4} \sum_q e_q^2 x f_q(x) [1 + (1-y)^2]$$

Auswertung

$F_2(x, Q^2)$  unabhängig von  $Q^2$ : Skaleninvariant

$F_2 = 2x F_1$  Callan-Grossi Relation

$$F_2^{den} = \sum_q e_q^2 x f_q(x)$$

$$F_2^V = 2x(d + \bar{u})$$

$$x F_2^V = +2x(d - \bar{u})$$

$$F_2^{\bar{V}} = 2x(u + \bar{d})$$

$$x F_2^{\bar{V}} = -2x(u - \bar{d})$$

Physikalische Interpretation:

1.) Collen-Gross Relation misst Quarkspin =  $\frac{1}{2}$



Breitengaten  $q = (0, 0, 0, q)$ : Strom  $\bar{q} \gamma_\mu q$  durch erhalten unveränderte, parallele Quarks

$$\Delta S_2 = 1 \implies S_2(\gamma^*) = 1, \neq 0$$

$$\implies \sigma_T \neq 0, \sigma_L = 0 \implies R = \frac{\sigma_L}{\sigma_T} = 0$$

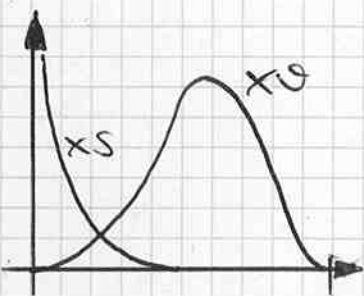
[Spinlose Partonen:  $\sigma_T = 0, \sigma_L \neq 0 \rightarrow R = \infty$ ]

2.) Valenzquarks:  $f = u + s$

$u(x)$  Valenzquarkverteilung

$$\int_0^1 dx u_d = 1$$

$$\int_0^1 dx u_u = 2$$



$$u(x) \sim x^{-1/2} (1-x)^3$$

$s(x)$  divergente Seequarks aus Quarkverflucht.

$$\int_\epsilon^1 dx s \sim \log \epsilon$$

$$s(x) \sim x^{-1} (1-x)^{2 \dots 10}$$

$\approx 0$  für  $x \geq 0.2$

gedrittelte elektrische Quarkladung:

nicht-leeres Partjet

Valenzbereich

$$W = \frac{1}{2}(P+N)$$

$$F_2^{elin} \approx x \left[ \frac{4}{9} \frac{u+d}{2} + \frac{1}{9} \frac{d+u}{2} \right] = \frac{5}{18} x(u+d)$$

$$F_2^V \approx 2x \frac{d+u}{2} = x(u+d)$$

$$F_2^{elin} \approx \frac{5}{18} F_2^V$$

3.) 3 Quarks im Nucleon

virt. Target

val. dominant

$$\sigma_V \approx \frac{G_F^2 S}{4} \int_0^1 dx \times \frac{\bar{u} + d}{2}$$

$$\sigma_V \approx \frac{1}{3} \sigma_V$$

$$\sigma_V \approx \frac{1}{3} \frac{G_F^2 S}{4} \int_0^1 dx \times \frac{\bar{u} + d}{2}$$

Spin: Quarks  
keine Antiquarks

Summenformeln: Baryon-Zahl

("exakt")

Isospin

Strangeness

$$1 = \int_0^1 dx \frac{1}{3} [(u-\bar{u}) + (d-\bar{d}) + (s-\bar{s})]$$

$$\pm \frac{1}{2} = \int_0^1 dx \left[ \frac{1}{2}(u-\bar{u}) - \frac{1}{2}(d-\bar{d}) \right]$$

$$0 = \int_0^1 dx (s-\bar{s})$$

Auflösung Proton:

$$\int_0^1 dx (u-\bar{u}) = 2$$

$$\int_0^1 dx (d-\bar{d}) = 1$$

$$\int_0^1 dx (s-\bar{s}) = 0$$

virt. Target:

$$\int_0^1 dx \bar{F}_3^V = \int_0^1 dx [d + u - \bar{u} - \bar{d}] = \int_0^1 dx [(u-\bar{u}) + (d-\bar{d})]$$

Gross-Llewellyn-Smith:

$$\int_0^1 dx \bar{F}_3^V = 3$$

4.) Impuls-Summenregel:

$$1 = \sum_{q, \bar{q}} \int_0^1 d\xi \xi f_q(\xi) + \int_0^1 d\xi \xi f_g(\xi)$$

flavor-neutrale Materie:  
Bindungsenergie

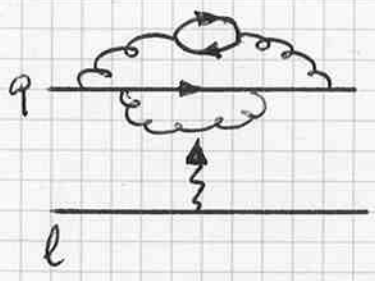
$$\text{Messung: } \int_0^1 d\xi \xi f_g(\xi) \approx \frac{1}{2}$$

50% der Nucleonenenergie besteht im schnell bewegten Teilchen

aus flavor-neutraler Bindungsenergie: GLUONEN

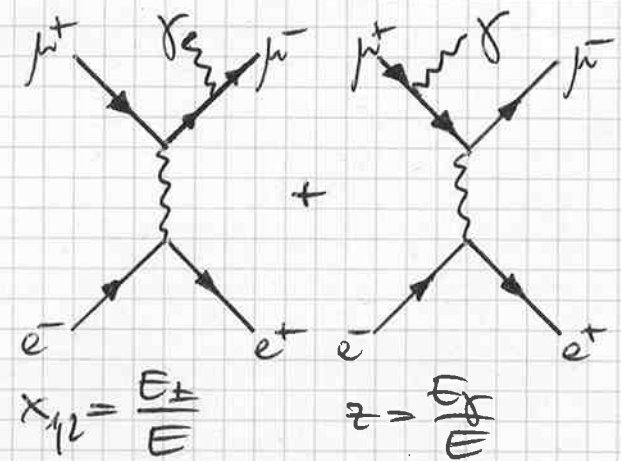
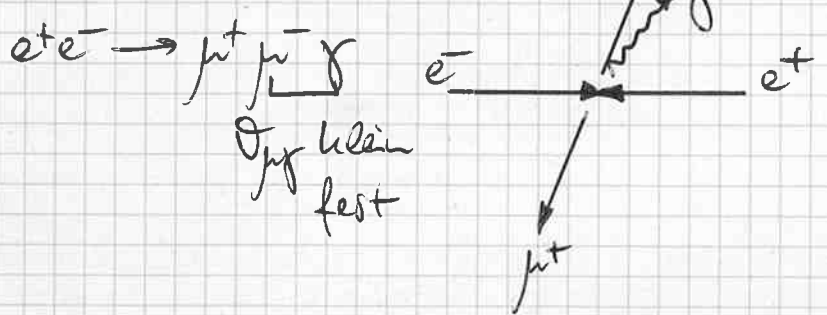
§3. Skalenbrechung: Altarelli-Parisi-Gleichungen

Idee: Partonquarks sind im Nucleon von Gluonwolke umgeben;



bei hinreichend kleinem  $Q^2$  werden mehr und mehr der Quantenfluktuationen aufgelöst  
 $\Rightarrow$  Impulspektrum von Quarks, Gluonen ändert sich mit  $Q^2$ : mikroskopische Partonverteilungen sind  $Q^2$ -abhängig.

Splitting-Wahrscheinlichkeit



$$\frac{1}{\sigma_0} \frac{d\sigma^2}{dx_1 dx_2} = \frac{\alpha}{2\pi} \frac{x_1^2 + x_2^2}{(1-x_1)(1-x_2)}$$

$$x_{1,2} = \frac{2}{x_1} \sqrt{(1-x_1)(1-x_2)(1-z)} = \frac{p}{E}$$

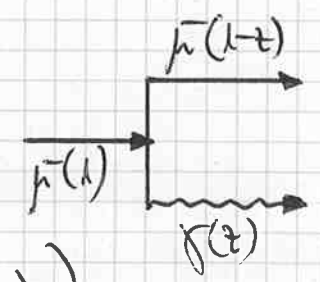
$$\log x_{1,2}^2 \approx \log(1-x_1)$$

$$d \log p_{1,2}^2 \approx \frac{dx_1}{1-x_1}$$

$$x_1 + x_2 + z = 2$$

Fragmentation:  $x_2 \approx 1-z$

$$d\sigma = \sigma_0 \int \frac{d^2 p_{\perp}}{p_{\perp}^2} \frac{\alpha}{2\pi} \frac{1+(1-z)^2}{z} dz$$



$W_q = \mu$ -Part-Wq \* Teilchenfluß ( $\mu \rightarrow \mu \gamma$ )

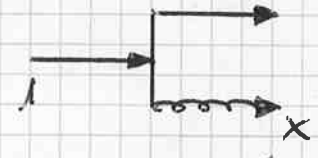
Teilchenflußwahr bei  $Q^2 \rightarrow Q^2 + dQ^2$ :  $\frac{dN(\mu \rightarrow \mu \gamma)}{d \log Q^2} = \frac{\alpha}{2\pi} \frac{1+(1-z)^2}{z} dz$

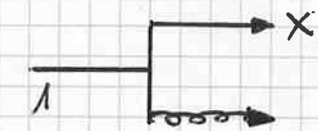
Quadrupolmoment: Farbwinkel (Summe)

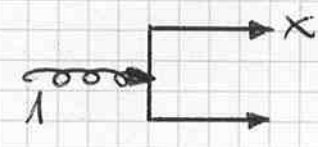


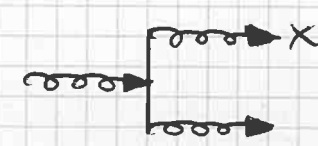
$$\sum_{i,j} T_{ik} T_{kj} = \frac{4}{3} \delta_{ij}$$

QCD Splitting-Wahrscheinlichkeiten:  $\frac{dN}{d \log \frac{Q^2}{\Lambda^2}} = \frac{\alpha_s(Q^2)}{2\pi} P(x) dx$

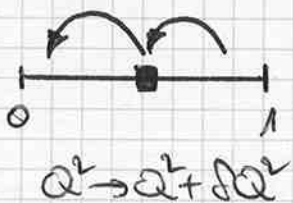
$q \rightarrow q + g(x)$    $P_{qq} = \frac{4}{3} \frac{1+(1-x)^2}{x}$  Bremsstrahlung  $x \rightarrow 0$

$q \rightarrow q(x) + g$    $P_{qq} = \frac{4}{3} \frac{1+x^2}{1-x}$  "  $x \rightarrow 1$

$g \rightarrow q(x) + \bar{q}$    $P_{gq} = P_{q\bar{g}} = \frac{1}{2} [x^2 + (1-x)^2]$  endlich

$g \rightarrow g(x) + g$    $P_{gg} = 6 \frac{[1-x+x^2]^2}{x(1-x)}$  Bremsstrahlung  $x \rightarrow 0, 1$

Altarelli-Parisi Mastergleichungen für Partondichten



$$\frac{\partial q(x, Q^2)}{\partial \log Q^2} = \frac{\alpha_s(Q^2)}{2\pi} \int_0^1 dy \int_0^1 dz \delta_1(x-yz) \left\{ P_{qq}(y) q(z, Q^2) + P_{gq}(y) g(z, Q^2) \right\}$$

$$- \frac{\alpha_s(Q^2)}{2\pi} \int_0^1 dy' P_{qq}(y') q(x, Q^2)$$

$$\int_0^1 dy' P_{qq}(y') q(x, Q^2) = \int_0^1 dy \int_0^1 dz \delta_1(x-yz) \delta(y-1) \left[ \int_0^1 dy' P_{qq}(y') \right] q(z, Q^2)$$

$$\frac{\partial g(x, \alpha^2)}{\partial \log \alpha^2} = \frac{\alpha_s(\alpha^2)}{2\pi} \int_0^1 dy \int_0^1 dz \delta_1(x-yz) \left\{ P_{pp}^R(y) q(z, \alpha^2) + P_{gg}(y) g(z, \alpha^2) \right\}$$

$$\frac{\partial g(x, \alpha^2)}{\partial \log \alpha^2} = \frac{\alpha_s(\alpha^2)}{2\pi} \int_0^1 dy \int_0^1 dz \delta_1(x-yz) \left\{ P_{pp}^R(y) \frac{\Sigma}{f_L} [q(z, \alpha^2) + \bar{q}(z, \alpha^2)] \right. \\ \left. + P_{gg}^R(y) g(z, \alpha^2) \right\}$$

$$P_{pp}^R(y) = P_{pp}(y) - \delta(y-1) \int_0^1 dy' P_{pp}(y')$$

$$P_{gg}^R(y) = P_{gg}(y) - \delta(y-1) \left[ \frac{1}{2} \int_0^1 dy' P_{gg}(y') + N_F \int_0^1 dy' P_{qg}(y') \right]$$

$$\alpha_s(\alpha^2) = \frac{12\pi}{(33 - 2N_F) \log \frac{\alpha^2}{\Lambda^2}}$$

teilweise Entkopplung:  $\delta = q - q'$  Non-Singulär

$$\frac{\Sigma}{f_L} = \frac{\Sigma(q + \bar{q})}{g} \left. \vphantom{\frac{\Sigma}{f_L}} \right\} \text{gekoppeltes Singulärwert}$$

## LÖSUNGEN:

Übergang zu Momenten:  $q(N, \alpha^2) = \int_0^1 dx x^{N-1} q(x, \alpha^2)$

wandelt Integro-Differentialgleichungssystem in System gewöhnlicher Differentialgleichungen um.

Natürliche Variable:  $s = \log \frac{\log \alpha^2}{\log \alpha_0^2}$  [ $\alpha_0$  = Referenz- (imp. Übertrag)]

[bei fester Kopplungskonstante wäre  $t = \log \alpha^2$  die natürl. Variable]

1.) Nowinski-lett - Dichte:

$$\frac{\partial}{\partial s} \delta(N, Q^2) = \frac{6}{33-2N_F} \int_0^1 dg g^{N-1} P_{qg}(g) \delta(N, Q^2)$$

$$\hookrightarrow = \frac{6}{33-2N_F} \frac{4}{3} \left[ -\frac{1}{2} + \frac{1}{N(N+1)} - 2 \sum_{j=2}^N \frac{1}{j} \right] = -d_{NS}(N)$$

$$\frac{\partial}{\partial s} \delta(N, Q^2) = -d_{NS}(N) \delta(N, Q^2) \Rightarrow \delta = \delta_0 e^{-s d_{NS}}$$

$$\begin{aligned} \delta(N, Q^2) &= \delta(N, Q_0^2) \left[ \frac{\log Q^2}{\log Q_0^2} \right]^{-d_{NS}(N)} \\ &= \delta(N, Q_0^2) \left[ \frac{\alpha_s(Q^2)}{\alpha_s(Q_0^2)} \right]^{d_{NS}(N)} \end{aligned}$$

← logarithm. Verletzung  
des Bjorken-Skalen =  
invariant

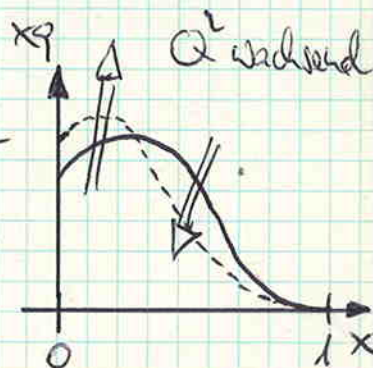
Interpretation:

(i) asymptotische Freiheit  $\Rightarrow \left[ \frac{\log Q^2}{\log Q_0^2} \right]^{-d}$

fix. Kopplung  $\Rightarrow \left[ \frac{Q^2}{Q_0^2} \right]^{-d}$

(ii)  $d_{NS}(N=1) = 0$  : Nettoquarkanzahl unverändert

$d_{NS}(N>1) > 0$  : Momente fallen mit wachser =  
dem  $Q^2$  ab



(iii) Momente-Vergleich: Test des anomalen dimensions

$Q^2$ -Abhängigkeit der Strukturfunktionen

2.) Quadrangelt und Glou-Diffen:

$$\frac{d}{ds} \begin{pmatrix} \Sigma \\ G \end{pmatrix} = - \begin{pmatrix} d_{aa} & d_{ag} \\ d_{ga} & d_{gg} \end{pmatrix} \begin{pmatrix} \Sigma \\ G \end{pmatrix} \text{ mit } \Sigma = \Sigma(N, Q^2) \text{ etc.}$$

$$d_{aa}(N) = - \frac{c}{33-2N_F} \int_0^1 dy y^{N-1} P_{ag}^R(y) = \frac{4}{33-2N_F} \left[ 1 - \frac{2}{N(N+1)} + 4 \sum_{j=2}^N \frac{1}{j} \right] = d_{aa}(N)$$

$$d_{ag}(N) = \sim 2N_F P_{gg} = - \frac{6N_F}{33-2N_F} \frac{N^2+N+2}{N(N+1)(N+2)}$$

$$d_{ga}(N) = \sim P_{gg} = - \frac{8}{33-2N_F} \frac{N^2+N+2}{(N-1)N(N+1)}$$

$$d_{gg}(N) = \sim P_{gg}^R = \frac{9}{33-2N_F} \left\{ \frac{1}{3} - \frac{4}{N(N-1)} - \frac{4}{(N+1)(N+2)} + 4 \sum_{j=2}^N \frac{1}{j} + \frac{2N_F}{9} \right\}$$

Lösung des Systems mittels Exponentialansatz  $\rightarrow$

$$\Sigma = \frac{1}{\mu_+ - \mu_-} \left\{ [-\mu_- \Sigma_0 + G_0] e^{-d_+ s} + [\mu_+ \Sigma_0 - G_0] e^{-d_- s} \right\}$$
$$G = \frac{1}{\mu_+ - \mu_-} \left\{ \mu_+ [-\mu_- \Sigma_0 + G_0] e^{-d_+ s} + \mu_- [\mu_+ \Sigma_0 - G_0] e^{-d_- s} \right\}$$

Eigenwerte:  $d_{\pm}(N) = \frac{1}{2} \left[ (d_{gg} + d_{aa}) \pm \sqrt{(d_{gg} - d_{aa})^2 + 4 d_{ag} d_{ga}} \right]$

Eigenvektork.:  $\mu_{\pm}(N) = \frac{d_{\pm} - d_{aa}}{d_{ag}} = \frac{1}{2} \frac{d_{gg} - d_{aa} \pm \sqrt{(d_{gg} - d_{aa})^2 + 4 d_{ag} d_{ga}}}{d_{ag}}$

# PHYSIKALISCHE FOLGERUNGEN:

(a) Impuls-Summenregel:

$$\left. \begin{matrix} d_-(z) = 0 \\ \mu_+(z) = -1 \end{matrix} \right\} \underline{\underline{\Sigma(z) + G(z) = 1}} \quad \text{folgt aus } \Sigma_0(z) + G_0(z) = 1$$

(b) Asymptotische Impuls-Verteilung:

$$\left. \begin{matrix} d_-(z) = 0 \\ d_+(z) > 0 \end{matrix} \right\} \Sigma(z) \rightarrow \frac{1}{\mu_-(z) - \mu_+(z)} = \frac{3N_F}{16 + 3N_F} = \frac{3}{7} \text{ f\u00fcr } N_F = 4$$

$$\underline{\underline{G(z) \rightarrow \frac{\mu_-(z)}{\mu_-(z) - \mu_+(z)} = \frac{16}{16 + 3N_F} = \frac{4}{7} \text{ f\u00fcr } N_F = 4}}$$

(c) Messung aller Glied-Momente:

Tiefinelastische EW-Str\u00e4mung: keine direkte M\u00f6glichkeit, Glied-Verteilung zu messen.

- indirekt:
- Impuls-Summenregel:  $G(z, Q_0^2) = 1 - \Sigma(z, Q_0^2)$
  - beeinflusst St\u00e4rke, mit der  $\Sigma(N, Q^2)$  sich mit  $Q^2$  \u00e4ndert durch Aufbau von See-Verteilung.
  - $[G \rightarrow Q\bar{Q}$  Spaltung in schwere Quarks]

$$F_2^S(x, Q^2) = \frac{5}{18} \times [u + \bar{u} + d + \bar{d}] \text{ o.B.d.A.} = \frac{5}{18} \times \Sigma(x, Q^2)$$

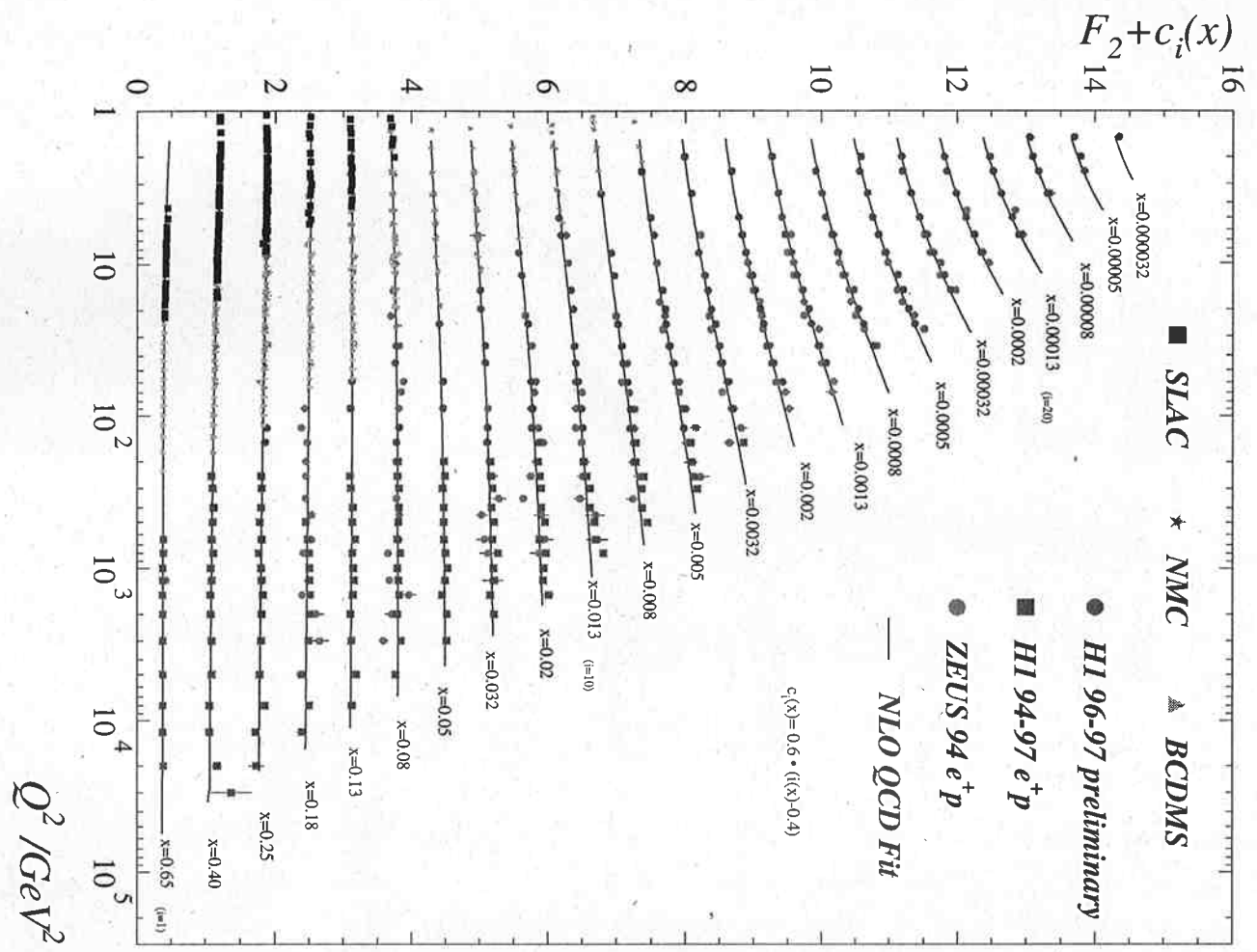
$$F_2^S(N, Q^2) = \frac{5}{18} \Sigma(N, Q^2)$$

$$= \frac{5}{18} \left\{ \frac{-\mu_- e^{-d_+ s} + \mu_+ e^{-d_- s}}{\mu_+ - \mu_-} \Sigma(N, Q_0^2) + \frac{e^{-d_+ s} - e^{-d_- s}}{\mu_+ - \mu_-} G(N, Q_0^2) \right\}$$

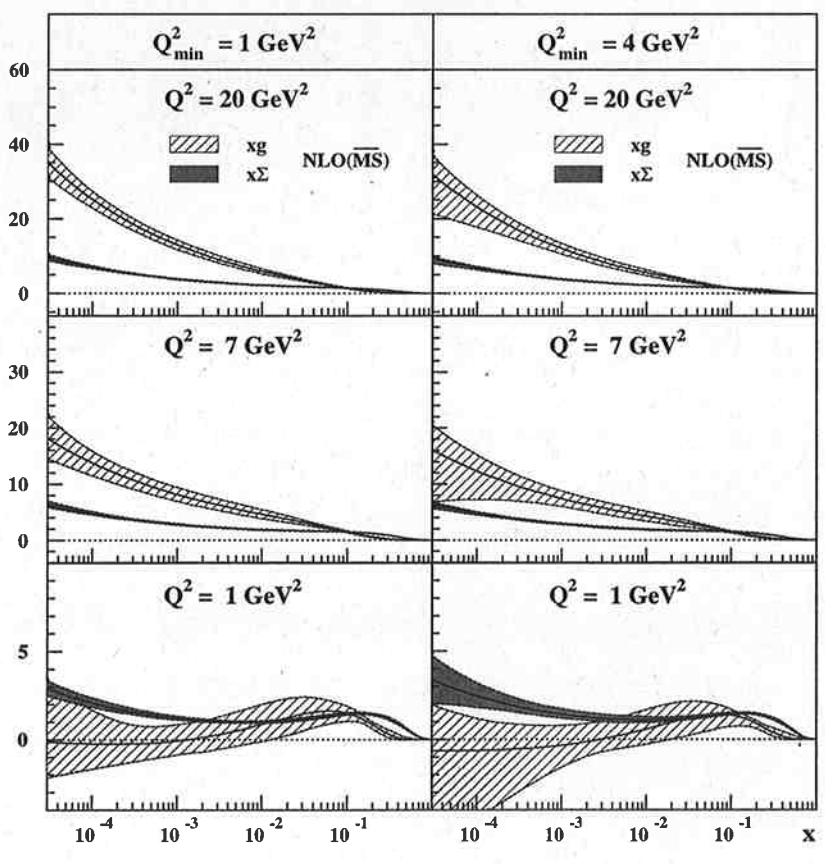
$$= \frac{18}{5} F_2^S(N, Q_0^2)$$

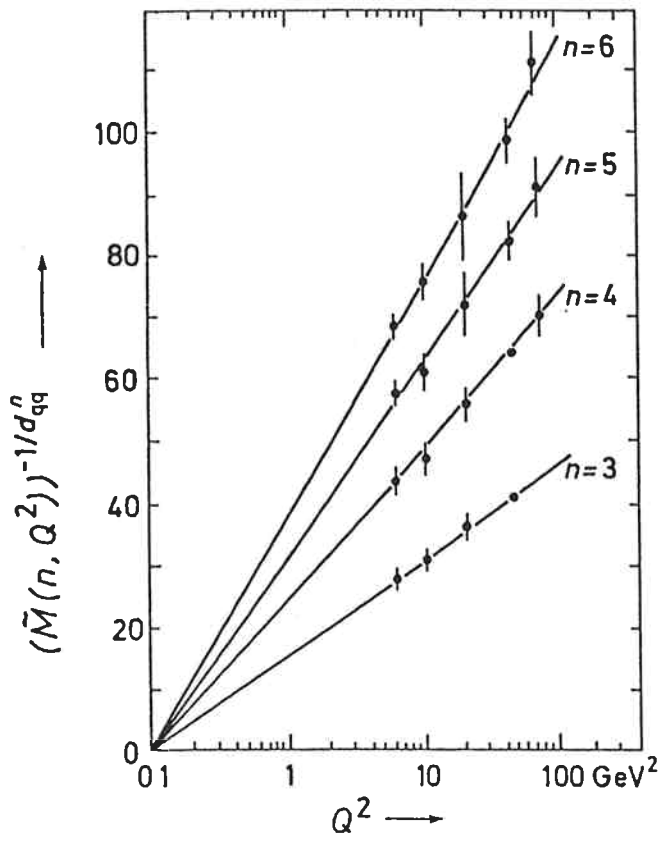
$$\frac{1}{A_N(s)} F_2^S(N, Q^2) = F_2^S(N, Q_0^2) + \frac{B_N(s)}{A_N(s)} G(N, Q_0^2)$$

Linke Seite genauso als Gerade in  $B_N(s)/A_N(s)$  mit G-Verteilung als Steigung

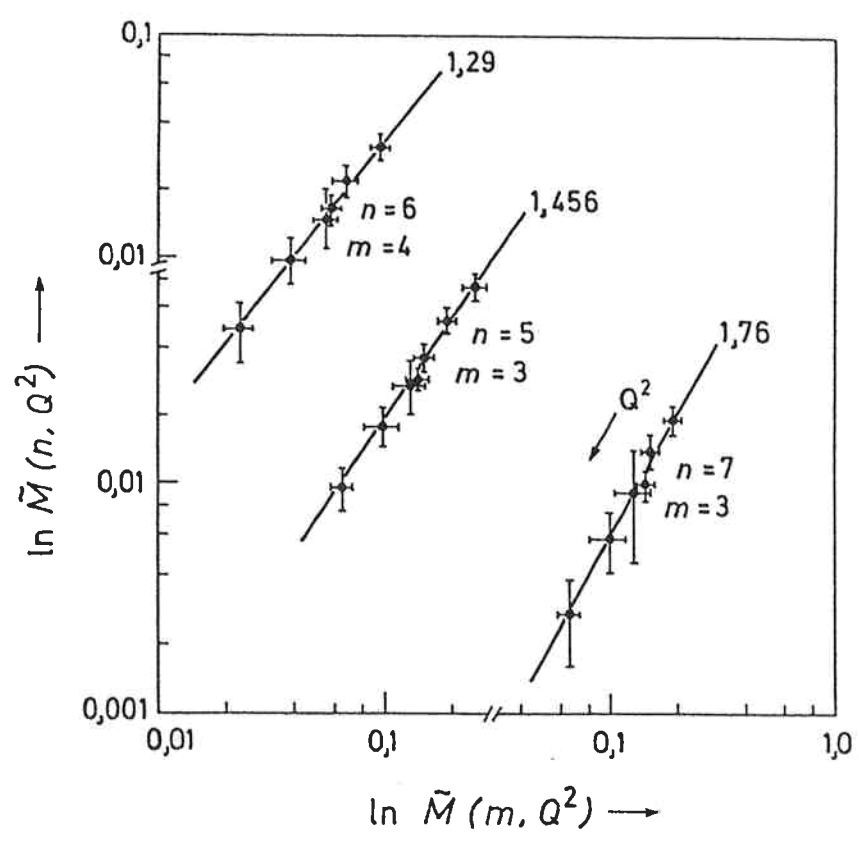


ZEUS 1995





**Bild 19-7**  
Die Momente der Strukturfunktion  $F_3^{(\nu N)}$ ,  
gemessen in Neutrino-Eisen-Streuung  
(nach de Groot 1979)



**Bild 19-8**  
Logarithmen von Momenten  
der Strukturfunktion  $F_3$   
gegeneinander aufgetragen.  
Die QCD-Vorhersagen sind  
gerade Linien mit berechen-  
barem Anstieg, wie angegeben  
(nach Bosetti 1978).

### §4. Faktorisierte Hypothese des QCD

QCD-Korrekturen zur tiefinelastischen EW-Messung:

## DIMENSIONALE REGULARISIERUNG

Idee: analytische Fortsetzung 4-dim.  $\rightarrow$  n-dim.  $[n=4-2\epsilon]$

$$\int \frac{d^4k}{(2\pi)^4} \rightarrow \int \frac{d^n k}{(2\pi)^n}$$

divergentes Integral:  $\int \frac{d^4k}{k^4} \rightarrow \int \frac{d^n k}{k^4} \propto \frac{1}{n-4} = \frac{1}{2\epsilon}$

$\Rightarrow$  UV-Singulartäten als Pole für  $\epsilon \rightarrow 0+$   
[Eichinvariant exakt erhalten]

### Feynman-Parametrisierung



$$\sim \int \frac{d^4q}{q^2 [(q-p)^2 - m^2]}$$

einfachere Behandlung des  
Integrale bei einem Nenner

$$\frac{1}{AB} = \int_0^1 \frac{dx}{[Ax + B(1-x)]^2} = -\frac{1}{A-B} \left[ \frac{1}{A} - \frac{1}{B} \right] = \frac{1}{AB}$$

$$= \int_0^1 dx \int_0^1 dy \frac{\delta_1(x+y-1)}{[Ax + By]^2}$$

$$\frac{1}{\prod_{i=1}^N A_i} = \Gamma(N) \int_0^1 dx_1 \dots dx_N \frac{\delta_1[\sum x_i - 1]}{[\sum A_i x_i]^N}$$

Weitere Formeln  
durch Differentiation  
nach  $A_i$

# Gründintegrale des n-dimensionalen Regularitätstyp:

$$(*) \int \frac{d^n k}{(2\pi)^n} \frac{1}{[k^2 + 2kQ - k^2]^\alpha} = \frac{i(-1)^\alpha}{\Gamma(\alpha)(4\pi)^{n/2}} \frac{\Gamma(\alpha - \frac{n}{2})}{[Q^2 + k^2]^{\alpha - \frac{n}{2}}} \quad k^2 \equiv k^2 - i\epsilon$$

$$\Gamma(x) \approx \frac{1}{x} \text{ für } x \rightarrow 0$$

daraus durch Differentiation ableiten:

$$\int \frac{d^n k}{(2\pi)^n} \frac{k^h}{[k^2 + 2kQ - k^2]^\alpha} = \frac{i(-1)^{\alpha+1}}{\Gamma(\alpha)(4\pi)^{n/2}} \frac{\Gamma(\alpha - \frac{n}{2})}{[Q^2 + k^2]^{\alpha - \frac{n}{2}}} (-Q^h)$$

$$\int \frac{d^n k}{(2\pi)^n} \frac{k^\mu k^\nu}{[k^2 + 2kQ - k^2]^\alpha} = \frac{i(-1)^\alpha}{\Gamma(\alpha)(4\pi)^{n/2}} \left\{ \frac{\Gamma(\alpha - \frac{n}{2})}{[Q^2 + k^2]^{\alpha - \frac{n}{2}}} Q^\mu Q^\nu - \frac{\Gamma(\alpha - 1 - \frac{n}{2})}{[Q^2 + k^2]^{\alpha - 1 - \frac{n}{2}}} \frac{g^{\mu\nu}}{2} \right\}$$

Oberfläche des n-dimensionalen Kugel:  $\Omega_n = \frac{2\pi^{n/2}}{\Gamma(\frac{n}{2})}$   $\Gamma(\frac{1}{2}) = \sqrt{\pi}$   
 $\Gamma(N) = (N-1)!$   
 [aus  $\int_{-\infty}^{\infty} dx e^{-x^2}$  berechnet in kartesischen und Kugelkoordinaten]

Beweis (\*):

$$\int d^n k = \int_{-\infty}^{+\infty} dk_0 \int_0^\infty dw w^{n-2} \int d\Omega_{n-1}$$

$$I_n(Q) = \int \frac{d^n k}{(2\pi)^n} \frac{1}{[k^2 + 2kQ - k^2]^\alpha} = \int \frac{d^n k}{(2\pi)^n} \frac{1}{[k^2 - (Q^2 + k^2)]^\alpha} \quad (k \rightarrow k-Q)$$

$$= \frac{2\pi^{-n/2}}{(4\pi)^{n/2} \Gamma(\frac{n-1}{2})} \int_{-\infty}^{+\infty} dk_0 \int_0^\infty dw w^{n-2} \frac{1}{[k_0^2 - w^2 - (Q^2 + k^2)]^\alpha}$$

Euler-Funktion:  $B(x,y) = 2 \int_0^\infty dt t^{2x-1} (1+t^2)^{-x-y} = \frac{\Gamma(x)\Gamma(y)}{\Gamma(x+y)}$

$$I_n(Q) = \frac{2\Gamma(\alpha - \frac{n-1}{2})}{(4\pi)^{n/2} \sqrt{\pi} \Gamma(\alpha)} \int_0^\infty dk_0 \frac{(-1)^\alpha}{[Q^2 + k^2 - k_0^2]^{\alpha - \frac{n-1}{2}}} = i \frac{(-1)^\alpha \Gamma(\alpha - \frac{n}{2})}{(4\pi)^{n/2} \Gamma(\alpha) [Q^2 + k^2]^{\alpha - \frac{n}{2}}}$$

Clifford-Algebra in n Dimensionen:

$$\{ \gamma^\mu, \gamma^\nu \} = 2 g^{\mu\nu} \mathbb{1} \quad [ \mathbb{1} = 4\text{-dim. Einheitsmatrix} ]$$

möglich in n Dimensionen

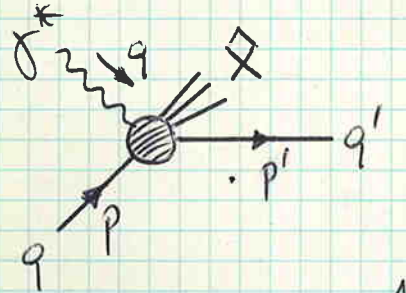
$$\rightarrow \text{Tr } \gamma^\mu \gamma^\nu = 4 g^{\mu\nu}$$

$$\gamma^\mu \gamma_\mu = g^\mu_\mu = n$$

$$\gamma^\mu \not{x} \gamma_\mu = 2x^\mu \gamma_\mu - \not{x} \gamma^\mu \gamma_\mu = (2-n) \not{x} \text{ etc.}$$

Bis auf Anomalien kann  $\gamma_5$  wie gewöhnlich behandelt werden  $\left. \begin{array}{l} \{ \gamma^\mu, \gamma_5 \} = 0 \\ \gamma_5^2 = \mathbb{1} \end{array} \right\}$

Tiefinelastische e<sup>+</sup>e<sup>-</sup>-Streutung:



$$z = \frac{-q^2}{2p q} = \frac{Q^2}{2p q} \rightarrow -\frac{p q}{q^2} = \frac{1}{2z}$$

$$q = p' - p + p''$$

Partontensor:  $\hat{W}^{\mu\nu} = \frac{1}{T_1(z, Q^2)} \left[ -g^{\mu\nu} + \frac{q^\mu q^\nu}{q^2} \right] + \frac{2z}{Q^2} \frac{1}{T_2(z, Q^2)} (p^\mu + \frac{q^\mu}{2z}) (p^\nu + \frac{q^\nu}{2z})$

$$\rightarrow p^\mu p^\nu \hat{W}_{\mu\nu} = \frac{Q^2}{4z^2} \left( \frac{1}{2z} - \frac{1}{T_1} \right) = \frac{Q^2}{4z^2} \frac{1}{2z}$$

$$-g^{\mu\nu} \hat{W}_{\mu\nu} = (1-z) \frac{1}{z} - \frac{3-2z}{2z} \frac{1}{T_1}$$

$$\begin{aligned} \hat{F}_1(z, Q^2) &= \frac{1}{T_1(z, Q^2)} \\ \hat{F}_{2,1}(z, Q^2) &= \frac{1}{T_{2,1}(z, Q^2)} \frac{1}{2z} \end{aligned}$$

Strukturfunktionen:

$$\hat{F}_i(x, Q^2) = \sum_{q, \bar{q}} e_q^2 \int_0^1 dy dz \hat{F}_i(z, Q^2) q(y, Q^2) \delta(x - yz)$$

1.) Born-terme:  $M_{LO}^\mu = -ie e_f \delta_{ij} \bar{u}(p') \gamma^\mu u(p)$

$$\hat{W}_{LO}^{\mu\nu} = \frac{1}{N_c} \sum M_{LO}^\mu M_{LO}^{\nu*} \frac{dPS_1(p, q, p')}{8\pi \delta_0}$$

1-Teilchen-Phasenraum:

$$dPS_1(p+q; p') = \frac{d^{n-1} p'}{(2\pi)^{n-1} 2p'^0} (2\pi)^n \delta_n(p+q-p') = 2\pi d^n p' \delta_n(p+q-p') \delta(p'^2)$$

$$= 2\pi \delta[(p+q)^2] = \frac{2\pi}{Q^2} \delta(1-z)$$

$$\hat{\omega}_{L0}^{\mu\nu} = e^2 e_q^2 \frac{N_c}{N_c} \text{Tr}(p' \gamma^\mu p \gamma^\nu) \frac{1}{8\pi} \frac{2\pi}{Q^2} \delta(1-z) \frac{1}{S_0}$$

$$= \frac{2\pi \alpha e_q^2}{S_0} \left\{ \left[ -g^{\mu\nu} + \frac{q^\mu q^\nu}{q^2} \right] + \frac{4}{Q^2} \left( p^\mu + \frac{q^\mu}{2} \right) \left( p^\nu + \frac{q^\nu}{2} \right) \right\} \delta(1-z)$$

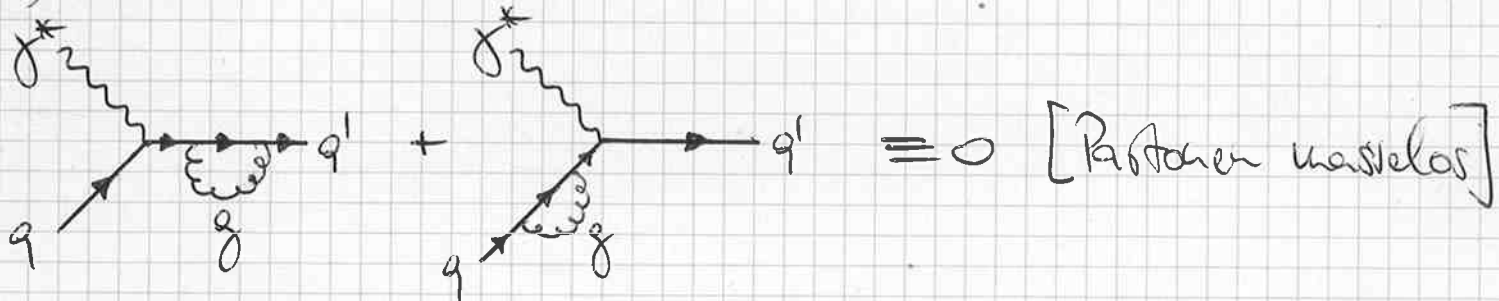
$$\Rightarrow \boxed{\hat{F}_{L0} = 0}$$

$$\boxed{\hat{F}_{1,0} = \hat{F}_{2,0} = \delta(1-z)}$$

$$S_0 = 2\pi \alpha e_q^2$$

2.) QCD-Korrekturen:

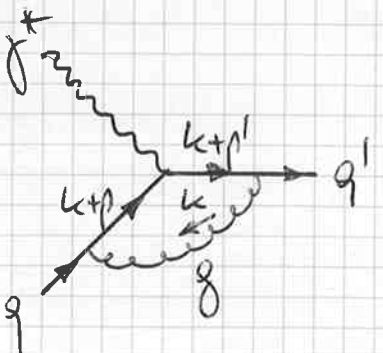
(i) virtuelle Korrekturen:



denn:  $\int \frac{d^4 k}{(2\pi)^4} \frac{1}{(k^2)^\alpha} = 0$

$\int \frac{d^4 k}{(2\pi)^4} \frac{1}{k^2 (k+p)^2} \propto \frac{(-p^2)^{-\epsilon}}{\epsilon} \rightarrow 0$

für  $\epsilon < 0$   
[analyt. Fortsetzung]



$$M_V = i^6 (-1)^4 e e_q^2 g_s^2 (T^a T^a)_{ij}^*$$

$$\times \bar{u}(p') \int \frac{d^4 k}{(2\pi)^4} \frac{\gamma^\alpha (k+p) \gamma^\mu (k+p) \gamma^\alpha}{k^2 (k+p)^2 (k+p)^2} u(p)$$

dimensionslose Kopplung:  $\bar{g}_s^2 = g_s^2 / \mu^{2\epsilon}$

$$\hat{\omega}_V^M = \frac{1}{N_c} \sum 2 \operatorname{Re} M_V^M M_{L0}^{M*} \frac{dPS_1(p_1, p')}{8\pi^4 \sigma_0}$$

(55)

$$\Rightarrow \delta \hat{\mathcal{F}}_{LV} = 0$$

$$\delta \hat{\mathcal{F}}_{2V}^1 = \delta \hat{\mathcal{F}}_{1V}^1 = 2 C_{F1} g_s^2 \left\{ (3+2\varepsilon) B_0(q; 0, 0) - 2 Q^2 C_0(p_1, p'; 0, 0) \right\} \delta(1+\varepsilon)$$

$$B_0(q; 0, 0) = \mu^{2\varepsilon} \int \frac{d^4 k}{(2\pi)^4} \frac{1}{k^2 (k+q)^2} = i \frac{\Gamma(\varepsilon)}{(4\pi)^\nu} \left( \frac{4\pi\mu^2}{Q^2} \right)^\varepsilon \int_0^1 dx x^{-\varepsilon} (1-x)^{-\varepsilon}$$

$$= B(1-\varepsilon, 1-\varepsilon) = \frac{\Gamma^2(1-\varepsilon)}{\Gamma(2-2\varepsilon)}$$

$$= i \frac{\Gamma(1+\varepsilon)}{(4\pi)^\nu} \frac{\Gamma^2(1-\varepsilon)}{\Gamma(1-2\varepsilon)} \left( \frac{4\pi\mu^2}{Q^2} \right)^\varepsilon \frac{1}{\varepsilon(1-2\varepsilon)}$$

Gammafunktion:  $\Gamma(1+\varepsilon) = \exp\left\{ -\gamma_E \varepsilon + \sum_{n=2}^{\infty} \frac{(-1)^n}{n} \zeta(n) \varepsilon^n \right\}$

$\gamma_E$  = Eulerkonstante  
 $\gamma_E = 0.577215\dots$

$\zeta(2) = \frac{\pi^2}{6}$   
 $\zeta(3) = 1.202056\dots$   
 $\zeta(4) = \frac{\pi^4}{90}$   
 $\vdots$

$$\Rightarrow \Gamma(1+\varepsilon) \Gamma(1-\varepsilon) = 1 + \varepsilon^2 \zeta(2) + O(\varepsilon^4)$$

$$\underline{\underline{B_0(q; 0, 0) = \frac{i}{(4\pi)^\nu} \frac{\Gamma(1-\varepsilon)}{\Gamma(1-2\varepsilon)} \left( \frac{4\pi\mu^2}{Q^2} \right)^\varepsilon \left( \frac{1}{\varepsilon} + 2 \right) + O(\varepsilon)}}}$$

$$C_0(p_1, p'; 0, 0, 0) = \mu^{2\varepsilon} \int \frac{d^4 k}{(2\pi)^4} \frac{1}{k^2 (k+p)^2 (k+p')^2}$$

$$= -i \frac{\Gamma(1+\varepsilon)}{(4\pi)^\nu Q^2} \left( \frac{4\pi\mu^2}{Q^2} \right)^\varepsilon \int_0^1 dx dy y^{-1-\varepsilon} x^{-1-\varepsilon} (1-x)^{-\varepsilon}$$

divergent für  $\varepsilon > 0$  ( $n < 4$ )

konvergent für  $\varepsilon < 0$  ( $n > 4$ )

analytische Fortsetzung:  $\int_0^1 dz z^{x-1} (1-z)^{y-1} = B(x,y) = \frac{\Gamma(x)\Gamma(y)}{\Gamma(x+y)}$  (56)

Infrarote und kollineare Singularitäten werden für  $n > 4$  ( $\epsilon < 0$ ) regulärisiert durch analytische Fortsetzung.

$$\Rightarrow \int_0^1 dy y^{-1-\epsilon} = \frac{\Gamma(-\epsilon)\Gamma(1)}{\Gamma(1-\epsilon)} = -\frac{1}{\epsilon}$$

$$\int_0^1 dx x^{-1-\epsilon} (1-x)^{-\epsilon} = \frac{\Gamma(-\epsilon)\Gamma(1-\epsilon)}{\Gamma(1-2\epsilon)} = -\frac{1}{\epsilon} \frac{\Gamma^2(1-\epsilon)}{\Gamma(1-2\epsilon)}$$

$$C_0(p_1 p_1'; 0, 0, 0) = -i \frac{\Gamma(1-\epsilon)}{(4\pi)^2 Q^2} \frac{\Gamma^2(1-\epsilon)}{\Gamma(1-2\epsilon)} \left(\frac{4\pi\hbar^2}{Q^2}\right)^\epsilon \frac{1}{\epsilon^2} \leftarrow \text{IR, COLL}$$

$$= \frac{i}{(4\pi)^2 Q^2} \frac{\Gamma(1-\epsilon)}{\Gamma(1-2\epsilon)} \left(\frac{4\pi\hbar^2}{Q^2}\right)^\epsilon \left[-\frac{1}{\epsilon^2} - \gamma(2)\right] + O(\epsilon)$$

Renormierung:  $m=0 \Rightarrow \delta m = 0$

$$M_{CT}^h = M_{20}^h \left\{ \sqrt{z_2}^2 \frac{\sqrt{z_3}}{z_1} - 1 \right\}$$

Ward-Identität:  $z_1 = z_2$

Photon-Propagator:  $z_3 = 1$

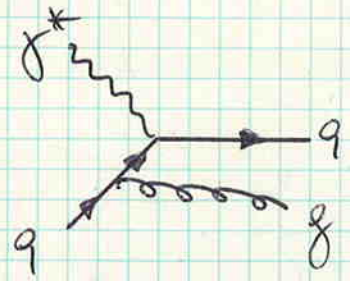
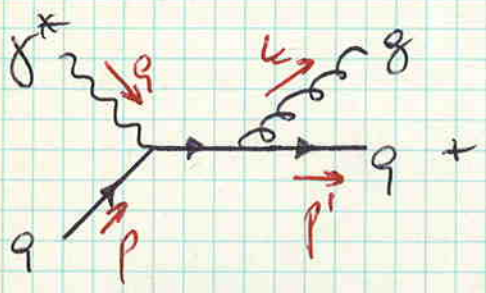
$\Rightarrow M_{CT} = 0$  keine Renormierung nach Summation aller Diagramme

$$\delta \hat{\mathcal{F}}_{2V}^1 = \delta \hat{\mathcal{F}}_{1V}^1 = C_F \frac{\alpha_s}{2\pi} \frac{\Gamma(1-\epsilon)}{\Gamma(1-2\epsilon)} \left(\frac{4\pi\hbar^2}{Q^2}\right)^\epsilon \left[ -\frac{2}{\epsilon^2} - \frac{3}{\epsilon} - 8 - 2\gamma(2) \right] \delta(1-z)$$

$$\delta \hat{\mathcal{F}}_{4V}^1 = 0$$

Infrarote Divergenzen werden durch Addition des reellen Gluonabstrahlung subtrahiert.

(ii) reelle Korrekturen:



$$\left. \begin{aligned} s &= (p+q)^2 \\ t &= (p'-p)^2 \\ \tilde{u} &= (k-p)^2 \end{aligned} \right\} \rightarrow s+t+\tilde{u} = q^2$$

$$M_q^h = i^3 (-1)^2 e e_g \frac{1}{g_s} \frac{1}{i} \bar{u}(p') \left\{ \frac{\gamma^\alpha (p'+k) \gamma^\mu}{(p'+k)^2} + \frac{\gamma^\mu (p-k) \gamma^\alpha}{(p-k)^2} \right\} u(p) \epsilon_\alpha^*$$

$$\hat{\omega}_{gg}^{\mu\nu} = \frac{1}{N_c} \int \Sigma M_q^h M_q^{\nu*} \frac{dPS_2(p+q; p', k)}{8\pi \delta_0}$$

$$dPS_2 = \frac{d^{n-1} p'}{(2\pi)^{n-1} 2p^0} \frac{d^{n-1} k}{(2\pi)^{n-1} 2k^0} (2\pi)^n \delta_n(p+q-p'-k)$$

$$= \frac{d^{n-1} k}{(2\pi)^{n-2} 2k^0} d^n p' \delta_+(p'^2) \delta_n(p+q-p'-k)$$

$$= \frac{|\vec{k}|^{n-2} d\vec{k} d\Omega_{n-1}}{2(2\pi)^{n-2} k^0} \delta[(p+q-k)^2]$$

c.m.s:  $p+q = \sqrt{s}(1; \vec{0}) \rightarrow (p+q-k)^2 = s - 2\sqrt{s}k^0$

$0 = k^2 = (k^0)^2 - |\vec{k}|^2 \rightarrow k^0 dk^0 = |\vec{k}| d|\vec{k}|$

$$dPS_2 = \frac{(k^0)^{n-3} dk^0 d\Omega_{n-1}}{2(2\pi)^{n-2}} \delta(s - 2\sqrt{s}k^0) = \frac{s^{\frac{n-4}{2}}}{2^{\frac{n-3}{2}} \frac{n-1}{2}} d\Omega_{n-1}$$

Oberflächenintegral:  $\mathcal{I} =$  Streuwinkel des Quarks

$$d\Omega_{n-1} = \sin^{n-3} \mathcal{I} d\mathcal{I} d\Omega_{n-2} = 2 \frac{\pi^{\frac{n-2}{2}}}{\Gamma(\frac{n-1}{2})} (1 - \cos^2 \mathcal{I})^{\frac{n-4}{2}} d\cos \mathcal{I}$$

Substitution:  $y = \frac{1}{2}(1 + \cos \mathcal{I})$

$$dPS_2 = \frac{1}{8\pi} \left(\frac{4\pi}{s}\right)^\varepsilon \frac{y^{-\varepsilon} (1-y)^{-\varepsilon}}{\Gamma(1-\varepsilon)} dy \quad 0 \leq y \leq 1$$

(18)

Parametrisierung:  $p = \frac{s+Q^2}{2s} (1, 0, 1)$   $q = \left(\frac{s-Q^2}{2s}, 0, 1 - \frac{s+Q^2}{2s}\right)$   
 $p' = \frac{\sqrt{s}}{2} (1, \sin\vartheta, 0, \cos\vartheta)$   $k = \frac{\sqrt{s}}{2} (1, -\sin\vartheta, 0, -\cos\vartheta)$

$$\rightarrow s = \frac{1-z}{z} Q^2; \quad t = -\frac{Q^2}{z} (1-y); \quad \bar{u} = -\frac{Q^2}{z} y$$

$$\hat{\sigma}_{Lq}^2 = \frac{4z^2}{Q^2} \rho_{\mu\nu} \hat{W}_{qq}^{\mu\nu} = \int_0^1 dy \frac{4}{3} \frac{\alpha_s}{2\pi} 4z^2 \frac{1}{Q^2} = \frac{4}{3} \frac{\alpha_s}{2\pi} 2z \neq 0 \quad \leftarrow \text{endlich}$$

$$\hat{\sigma}_{2q}^2 - \frac{3}{2} \hat{\sigma}_{Lq}^2 = \frac{-g_{\mu\nu} \hat{W}_{qq}^{\mu\nu}}{2(1-\varepsilon)} + O(\varepsilon)$$

$$= \frac{4}{3} \frac{\alpha_s}{2\pi} \frac{z^\varepsilon (1-z)^{-\varepsilon}}{\Gamma(1-\varepsilon)} \left(\frac{4\pi}{Q^2}\right)^\varepsilon \int_0^1 dy y^{-\varepsilon} (1-y)^{-\varepsilon} \left\{ (1-\varepsilon) \left(\frac{s}{-u} + \frac{-u}{s}\right) + 2 \frac{tQ^2}{su} + 2\varepsilon \right\}$$

$$= (1-\varepsilon) \left(\frac{1-z}{y} + \frac{y}{1-z}\right) + 2 \frac{(1-y)z}{y(1-z)} + 2\varepsilon$$

$$= \frac{4}{3} \frac{\alpha_s}{2\pi} \frac{z^\varepsilon (1-z)^{-\varepsilon}}{\Gamma(1-\varepsilon)} \left(\frac{4\pi}{Q^2}\right)^\varepsilon \left\{ (1-\varepsilon) \left[ \frac{1-z}{-\varepsilon} + \frac{1-\varepsilon}{(2\varepsilon)(1-\varepsilon)(1-z)} \right] - 2 \frac{1-\varepsilon}{\varepsilon(1-\varepsilon)} \frac{z}{1-z} + \frac{2\varepsilon}{1-2\varepsilon} \right\} \frac{\Gamma^2(1-\varepsilon)}{\Gamma(1-2\varepsilon)}$$

Distributionen:  $(1-z)^{-1-\varepsilon} = \left(\frac{1}{(1-z)^{1+\varepsilon}}\right)_+ + \delta(1-z) \int_0^1 \frac{dt}{(1-t)^{1+\varepsilon}}$

$$= -\frac{1}{\varepsilon} \delta(1-z) + \left(\frac{1}{1-z}\right)_+ - \varepsilon \left(\frac{\log(1-z)}{1-z}\right)_+ + O(\varepsilon^2)$$

$$\int_a^1 dt \frac{f(z)}{(1-z)_+} = \int_a^1 dt \frac{f(z)-f(1)}{1-z} - \int_0^a dt \frac{f(1)}{1-z}$$

$$\delta \hat{F}_2^1 - \frac{3}{2} \delta \hat{F}_4^1 = C_F \frac{\alpha_s}{2\pi} \frac{\Gamma(1-\epsilon)}{\Gamma(1-2\epsilon)} \left(\frac{4\pi\mu^2}{Q^2}\right)^\epsilon \left\{ \left[ \frac{2}{\epsilon^2} + \frac{3}{\epsilon} + \frac{7}{2} \right] \delta(1-z) \right. \\ \left. - \left( \frac{1}{\epsilon} + \log z \right) \left( \frac{1+z^2}{1-z} \right)_+ + (1+z^2) \left( \frac{\log(1+z)}{1-z} \right)_+ - \frac{3}{2} \left( \frac{1}{1-z} \right)_+ + 3-z \right\}$$

• Altarelli-Parisi-Splittingkoeffs:

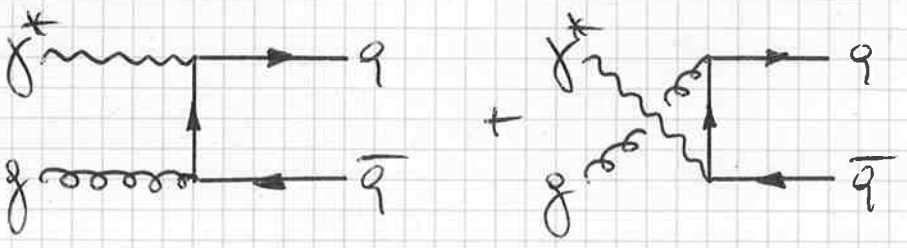
$$P_{qq}(z) = C_F \frac{1+z^2}{1-z} - \delta(1-z) \int_0^1 dt' C_F \frac{1+t'^2}{1-t'} \\ \Rightarrow \int_0^1 dt f(z) P_{qq}(z) = \int_0^1 dt C_F \frac{1+t^2}{1-t} [f(z) - f(1)] = \int_0^1 dt C_F \left( \frac{1+t^2}{1-t} \right)_+ f(z)$$

$$\Rightarrow P_{qq}(z) = C_F \left( \frac{1+z^2}{1-z} \right)_+ = C_F \left\{ \left( \frac{2}{1-z} \right)_+ - 1 - z + \frac{3}{2} \delta(1-z) \right\}$$

• Stimme virtuell + reell:

$$\delta \hat{F}_2^{*09} = \delta \hat{F}_2^{*u} + \delta \hat{F}_2^{*s} \\ = \frac{\Gamma(1-\epsilon)}{\Gamma(1-2\epsilon)} \left(\frac{4\pi\mu^2}{Q^2}\right)^\epsilon \frac{\alpha_s}{2\pi} \left[ -\frac{1}{\epsilon} - \log z \right] P_{qq}(z) + C_F \frac{\alpha_s}{2\pi} \left\{ (1+z^2) \left( \frac{\log(1+z)}{1-z} \right)_+ - \frac{3}{2} \left( \frac{1}{1-z} \right)_+ \right. \\ \left. + 3 + 2z - \left( \frac{2}{z} + \frac{4z}{3} \right) \delta(1-z) \right\}$$

Der gekrenzte Kanal  $f^* \bar{q} \rightarrow q \bar{q}$  ist von gleicher Ordnung in  $\alpha_s$  und von  $f^* q \rightarrow q \bar{q}$  nicht unterscheidbar.



$$\delta \hat{F}_L^1 = T_R \frac{\alpha_s}{2n} 4z(1-z)$$

$$\left[ T_R = \frac{1}{2} \right]$$

(6)

$$\delta \hat{F}_2^1 = \frac{P(1-z)}{P(1-2z)} \left( \frac{4\pi n^2}{\alpha_s^2} \right)^\epsilon \left( -\frac{1}{\epsilon} - \log \frac{z}{1-z} \right) \frac{\alpha_s}{2n} P_{qf}(z) + T_R \frac{\alpha_s}{2n} [8z(1-z) - 1]$$

$$P_{qf}(z) = T_R [z^2 + (1-z)^2]$$

• Gluon-Spin-Mittelung:  $\frac{1}{2} \rightarrow \frac{1}{n-2} = \frac{1}{2(1-\epsilon)}$

• DIS-Strukturfunktion:

$$F_2(x, \alpha_s^2) = 2 \times \sum_q e_q^2 \left\{ [q_0 + \bar{q}_0] \otimes \hat{F}_2^{qg} + g_0 \otimes \hat{F}_2^{gq} \right\}$$

mit der Faltung:

$$f \otimes g = \int_0^1 dg dt f(g) g(x) \delta(x-gt) = \int_x^1 \frac{dt}{t} f\left(\frac{x}{t}\right) g(t)$$

Die verbleibenden kollinearen Singularitäten werden durch die Renormierung der Partondichten beseitigt.

Renormierung der Partondichten [Faktorisierung]

$$q_0(x) = \bar{F}_{qq} \otimes q(x, \mu_F^2) + \bar{F}_{qg} \otimes g(x, \mu_F^2)$$

$$\bar{F}_{ij}(x) = \delta_{ij} \delta(1-x) + \frac{\alpha_s}{2n} \left\{ \frac{1}{\epsilon} \frac{P(1-z)}{P(1-2z)} \left( \frac{4\pi n^2}{\mu_F^2} \right)^\epsilon P_{ij}(x) - f_{ij}(x) \right\}$$

$\mu_F$  = Faktorisierungsskala der Partondichten

$$\Rightarrow \mu_F^2 \frac{\partial q_0(x)}{\partial \mu_F^2} = 0 = -\frac{\alpha_s}{2n} [P_{qq} \otimes q(x, \mu_F^2) + P_{qg} \otimes g(x, \mu_F^2)] + \mu_F^2 \frac{\partial q(x, \mu_F^2)}{\partial \mu_F^2} + O(\alpha_s^2)$$

$\Rightarrow q(x, \mu_F^2)$  ist Lösung der Altarelli-Parisi-Gl. in LO

Ergebnis:

61

$$\bar{F}_2(x, Q^2) = 2 \times \frac{\alpha_s}{9} e_q^2 \left[ q(x, \mu_F^2) + \bar{q}(x, \mu_F^2) \right] + \Delta \bar{F}_2(x, Q^2)$$

$$\Delta \bar{F}_2(x, Q^2) = 2 \times \frac{\alpha_s}{2n} \frac{\alpha_s}{9} e_q^2 \int_x^1 \frac{dt}{t} \left\{ C_F \left[ q\left(\frac{x}{t}, \mu_F^2\right) + \bar{q}\left(\frac{x}{t}, \mu_F^2\right) \right] * \right. \\ \left. + \left[ -\frac{P_{qq}(z)}{C_F} \log \frac{\mu_F^2 z}{Q^2} + (1+z) \left( \frac{\log(1-z)}{1-z} \right) - \frac{3}{2} \frac{1}{(1-z)_+} + 3 + 2z \right. \right. \\ \left. \left. - \left( \frac{9}{2} + \frac{\pi^2}{3} \right) \delta(1-z) - \frac{f_{qq}(z)}{C_F} \right] \right. \\ \left. + T_R g\left(\frac{x}{t}, \mu_F^2\right) \left[ -\frac{P_{qg}(z)}{T_R} \log \frac{\mu_F^2 z}{Q^2(1-z)} + 8z(1-z) - 1 \right] - \frac{f_{qg}(z)}{T_R} \right\}$$

$$\bar{F}_L(x, Q^2) = \bar{F}_2(x, Q^2) - 2x \bar{F}_1(x, Q^2)$$

$$= 2 \times \frac{\alpha_s}{2n} \frac{\alpha_s}{9} e_q^2 \int_x^1 \frac{dt}{t} \left\{ C_F \left[ q\left(\frac{x}{t}, \mu_F^2\right) + \bar{q}\left(\frac{x}{t}, \mu_F^2\right) \right] 2z + T_R g\left(\frac{x}{t}, \mu_F^2\right) 4z(1-z) \right\}$$

## PHYSIKALISCHE INTERPRETATION

- 1.) natürliche Faktorisierungsskala:  $\mu_F^2 = Q^2$
- 2.) Faktorisierungsschemata:

(i) MS-Schema:  $f_{ij}^{\text{MS}}(z) \equiv 0$

(ii) DIS-Schema:  $\bar{F}_2(x, Q^2) \equiv 2 \times \frac{\alpha_s}{9} e_q^2 \left[ q(x, Q^2) + \bar{q}(x, Q^2) \right]$   
 $\Rightarrow \Delta \bar{F}_2 \equiv 0 \quad [\mu_F^2 = Q^2]$

$$\Rightarrow f_{qq}^{\text{DIS}}(z) = C_F \left\{ -\frac{1+z^2}{1-z} \log z + (1+z^2) \left( \frac{\log(1-z)}{1-z} \right) - \frac{3}{2} \frac{1}{(1-z)_+} + 3 + 2z \right. \\ \left. - \left( \frac{9}{2} + \frac{\pi^2}{3} \right) \delta(1-z) \right\}$$

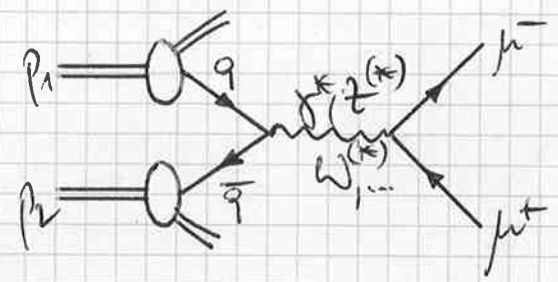
$$f_{qg}^{\text{DIS}}(z) = T_R \left\{ [z^2 + (1-z)^2] \log \frac{1-z}{z} + 8z(1-z) - 1 \right\}$$

# FAKTORISIERUNGSTHEOREM DER QCD

Partonische Wirkungsquerschnitte weisen kollineare Divergenzen im hadronischen Anfangszustand auf, die universell [prozessunabhängig] vom harten Streuprozess faktorisieren und in den renormierten Partondichten des Anfangszustands absorbiert werden können. Diese renormierten Partondichten sind Lösungen der Altarelli-Parisi-Gleichungen.

## §5. Drell-Yan-Prozesse

Produktion elw. wechselwirkender Teilchen in Hadronkollisionen:



$$P\bar{P} \rightarrow \mu^+\mu^- + X$$

$$P.P \rightarrow W^\pm, Z + X \dots$$

WQ: 
$$\sigma(p_1 p_2 \rightarrow \mu^+ \mu^- + X) = \sum_q \int_0^1 dx_1 dx_2 [q(x_1)\bar{q}(x_2) + \bar{q}(x_1)q(x_2)] \hat{\sigma} [q\bar{q} \rightarrow \mu^+\mu^-; \hat{s}]$$

invariante Energie: 
$$\hat{s} = (p_1 + p_2)^2 = 2p_1 p_2 = x_1 x_2 * 2p_1 p_2 = x_1 x_2 s$$

Parton-WQ: 
$$\hat{\sigma}(q\bar{q} \rightarrow \mu^+\mu^-) = \left(\frac{1}{N_c}\right)^2 N_c \frac{4\pi\alpha^2}{3s} e_q^2 = \frac{e_q^2}{N_c} \frac{4\pi\alpha^2}{3s}$$

Integrationsgrenzen: 
$$\hat{s} = x_1 x_2 s \geq (2m_\mu)^2$$

$$\Rightarrow x_2 \geq \frac{\tau_0}{x_1} ; x_1 \geq \tau_0 = \frac{4m_\mu^2}{s}$$

$$\sigma = \int_{\tau_0}^1 d\tau \left[ \sum_q \int_{\tau_0}^1 dx_1 \int_{\frac{\tau_0}{x_1}}^1 dx_2 [q(x_1)\bar{q}(x_2) + \bar{q}(x_1)q(x_2)] \delta(\tau - x_1 x_2) \right] \hat{\sigma}(\hat{s} = \tau s)$$

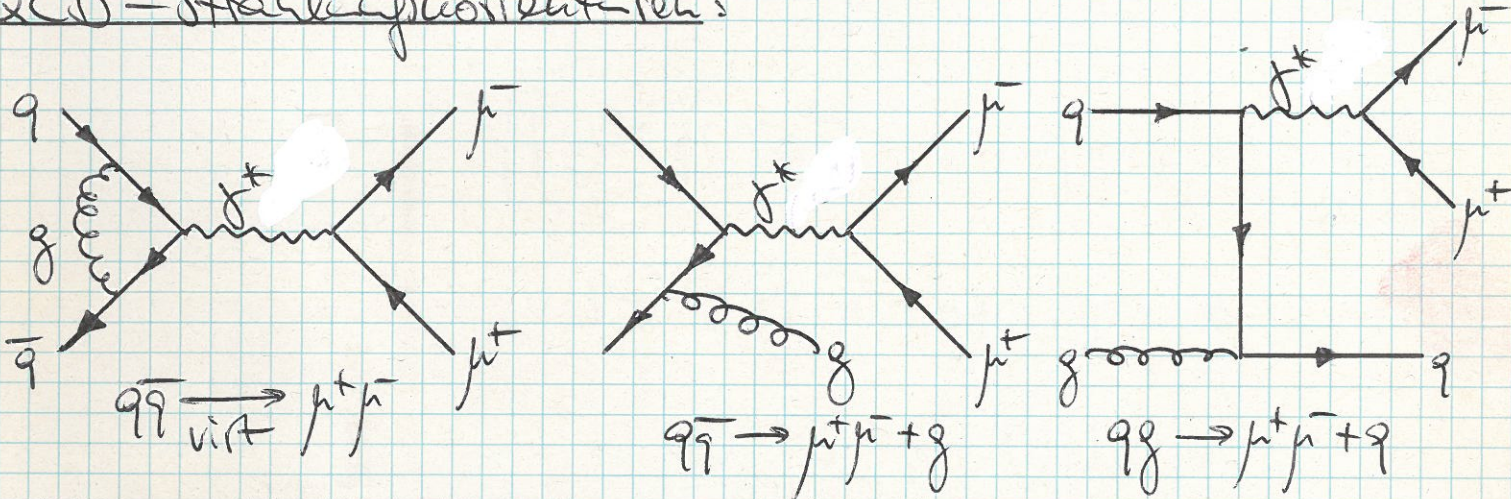
$$= \int_{t_0}^1 dt \sum_q \int_{\frac{t_0}{t}}^1 \frac{dx}{x} [q(x) \bar{q}(\frac{t}{x}) + \bar{q}(x) q(\frac{t}{x})] \hat{\sigma}(ts)$$

$$\sigma = \int_{t_0}^1 dt z \frac{dx^{q\bar{q}}}{q dt} \hat{\sigma}(s=ts)$$

"Luminosität von  $q\bar{q}$  in Hadronstrahlen"

$$M_{pp}^4 \frac{ds}{dM_{pp}^2} = \frac{4\pi\alpha^2}{3N_c} \tau_{\mu} \sum_q e_q^2 \frac{dx^{q\bar{q}}}{dx_{\mu}} \Big|_{\tau_{\mu} = \frac{M_{pp}^2}{s}}$$

QCD - Strahlungskorrekturen:



$$M_{pp}^4 \frac{ds}{dM_{pp}^2} = \frac{4\pi\alpha^2}{3N_c} \tau_{\mu} \int_{t_0/t}^1 \frac{dx}{x} \left\{ \sum_q e_q^2 \frac{dx^{q\bar{q}}}{dx} \left[ \delta(1-z) + \frac{\alpha_s(\mu^2)}{\pi} D_{qg}(z) \right] + \sum_{q\bar{q}} e_q^2 \frac{dx^{q\bar{q}}}{dx} \frac{\alpha_s(\mu^2)}{\pi} D_{gq}(z) \right\} \Big|_{z = \frac{t}{s}}$$

$$D_{qg}(z) = -P_{qg}(z) \log \frac{\mu^2 z}{M_{pp}^2} + C_F \left\{ 2 \left[ \frac{1}{\epsilon} - 2 \right] \delta(1-z) + 2(1+z^2) \left( \frac{\log(1+z)}{1+z} \right) \right\} - f_{qg}(z)$$

$$D_{gq}(z) = -\frac{1}{2} P_{gq}(z) \log \frac{\mu^2 z}{M_{pp}^2 (1-z)^2} + \frac{1}{4} (1+6z-7z^2) - f_{gq}(z)$$

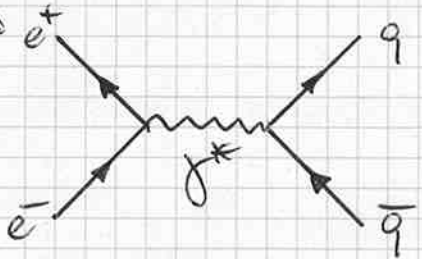
$$\frac{dx^{q\bar{q}}}{dx} = \int_{\frac{t_0}{x}}^1 \frac{dx}{x} [q(x, \mu^2) f(\frac{t}{x}, \mu^2) + \bar{q}(x, \mu^2) f(\frac{t}{x}, \mu^2)]$$

Bemerkung: In analoger Weise können aufgrund des Faktorisierungstheorems behandelt werden:

$$\begin{aligned}
 p_1 p_2 &\rightarrow W_{1,2} + X \\
 p_1 p_2 &\rightarrow \bar{l} \bar{l} + X \\
 p_1 p_2 &\rightarrow n_j + X
 \end{aligned}$$

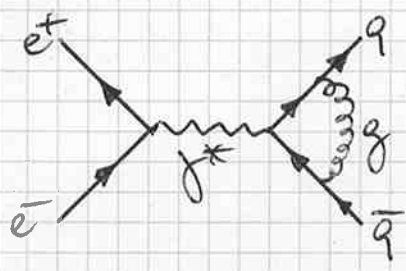
§6.  $e^+e^- \rightarrow$  Hadronen: totales WQ

Partonbild:

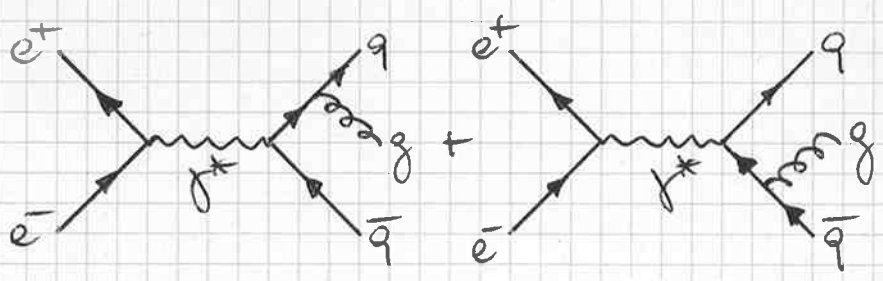


$$\sigma_0 = \frac{4\pi\alpha^2}{3s} N_c e_q^2$$

QCD: virtuelle Korr.



reelle Korr.



$$\sigma = (1 + \delta_V + \delta_R) \sigma_0$$

$$\delta_V = C_F \frac{\alpha_s}{\pi} P(1+\epsilon) \left(\frac{4\pi\mu^2}{s}\right)^\epsilon \left\{ -\frac{1}{\epsilon^2} - \frac{3}{2\epsilon} - 4 + \frac{2}{3}\pi^2 + O(\epsilon) \right\}$$

$$\delta_R = C_F \frac{\alpha_s}{\pi} P(1+\epsilon) \left(\frac{4\pi\mu^2}{s}\right)^\epsilon \left\{ \frac{1}{\epsilon^2} + \frac{3}{2\epsilon} + \frac{19}{4} - \frac{2}{3}\pi^2 + O(\epsilon) \right\}$$

totales WQ:

$$\sigma = \left(1 + \frac{3}{4} C_F \frac{\alpha_s}{\pi}\right) \sigma_0 = \left(1 + \frac{\alpha_s}{\pi}\right) \sigma_0$$

$$R\text{-Wert} = \frac{\sigma(e^+e^- \rightarrow had)}{\sigma(e^+e^- \rightarrow \mu^+\mu^-)} \quad ; \quad R_B = 3 \sum_q e_q^2$$

$$R = R_B \left[ 1 + \frac{\alpha_s}{\pi} + \sum_{n \geq 2} C_n \left( \frac{\alpha_s}{\pi} \right)^n \right] \quad \text{für } F_{NS} @ \mu^2 = s$$

$$C_2 = \frac{365}{24} - 11 \zeta(3) - \left( \frac{11}{12} - \frac{2}{3} \zeta(3) \right) N_F \approx 1.986 - 0.115 N_F$$

$$C_3 = \frac{87029}{288} - \frac{1103}{4} \zeta(3) + \frac{275}{6} \zeta(5) - \left( \frac{7847}{216} - \frac{262}{9} \zeta(3) + \frac{25}{9} \zeta(5) \right) N_F + \left( \frac{151}{162} - \frac{19}{27} \zeta(3) \right) N_F^2$$

$$\eta = \frac{(\sum e_q)^2}{3 \sum e_q^2}$$



$$-\frac{1}{72} \zeta(2) (33 - 2N_F)^2 + \eta \left( \frac{55}{72} - \frac{5}{3} \zeta(3) \right) \approx -6.637 - 1.200 N_F - 0.005 N_F^2 - 1.240 \eta$$

Hochpräzisionsbestimmung von  $\alpha_s(\mu^2)_{NS} = 0.122 \pm 0.003$

### §7. Jets in der QCD

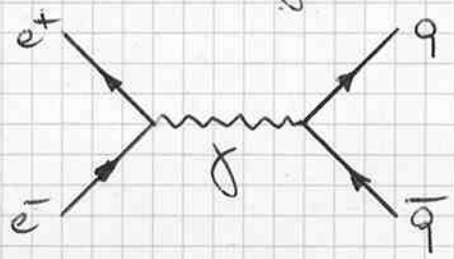
Asymptotische Freiheit: Im Femto-Universum  $d \leq 10^{-15}$  cm laufen stark wechselwirkende Prozesse als Ein-Quanten-Prozesse auf Quark-Gluon-Niveau ab. [→ analog  $e$  und  $\gamma$  in QED]

Jet-Hypothese: Partonkonfigurationen, im Femto-Universum ausgebildet, transformieren sich bei großen Abständen  $d \geq 10^{-13}$  cm in Bündel von Hadronen mit beschränktem Relativ-Transversalimpuls  $p_{\perp} \leq 500 \text{ MeV} \equiv \text{Jets}$

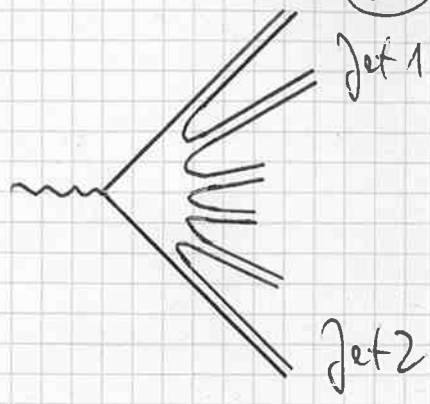
⇒ Jet-Analysen: Tests der QCD im Femto-Universum

Jet-Struktur: bestimmt durch (nicht-)perturbative QCD

(a) 0te Ordnung QCD:  $e^+e^- \rightarrow q\bar{q}$

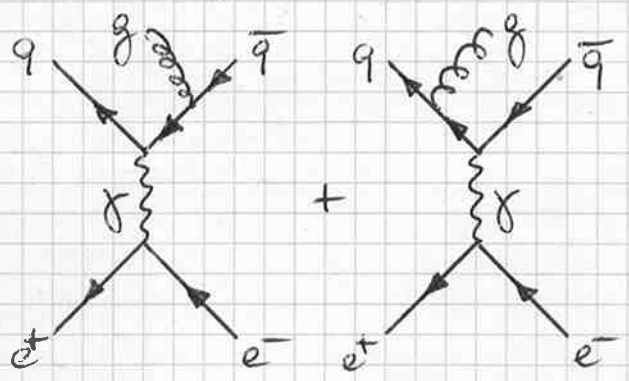


↑ Energie-Fluss =  
 röhre: spont.  
 $q\bar{q}$  Produktion  
 $\Rightarrow$  Aufbrechen  
 der Röhre mit  
 kleinem  $p_T$



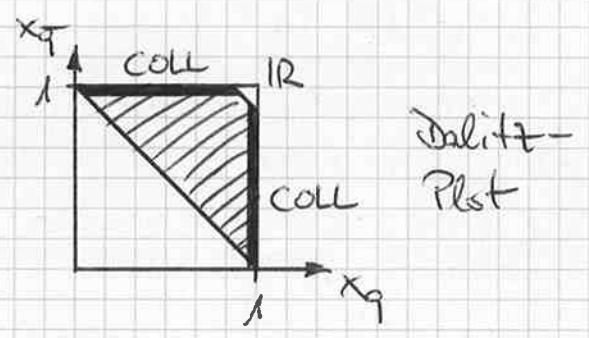
"SPEAR"-jets

(b) gluon-jets in der  $e^+e^-$ -Annihilation:



Beschleunigung von Color-Ladung  $\Rightarrow$   
 Abstrahlung von gleichschenkeligen Eikonten  
 [~ Abstrahlung von beschleun. d. Ladg.]

$q\bar{q}g$  Kinematik:  $x_i = \frac{E_i}{\sqrt{s}/2}$   
 mit  $x_q + x_{\bar{q}} + x_g = 2$   
 $0 \leq x_i < 1$   
 $x_q + x_{\bar{q}} = 2 - x_g \geq 1$



Pol für  $(q+g)^2 = (Q-\bar{q})^2 = Q^2 - 2Q\bar{q} = Q^2(1-x_g)$  [ $Q=e^+e^-=\sqrt{s}(1;0)$ ]  
 $(\bar{q}+g)^2 = Q^2(1-x_q)$

$$\frac{1}{\sigma_{q\bar{q}}} \frac{d\sigma}{dx_q dx_g} = \frac{2}{3} \frac{d\sigma}{\pi} \frac{x_q^2 + x_{\bar{q}}^2}{(1-x_q)(1-x_g)}$$

$x_q \rightarrow 1$ :  $g \parallel \bar{q}$  kollin. Confj.  
 $x_{\bar{q}} \rightarrow 1$ :  $g \parallel q$   
 $x_q, x_{\bar{q}} \rightarrow 1$ :  $x_g \rightarrow 0$  infrarote Confj.

Experimentelle Entwicklung:

- Erhöhung der Energie  $\rightarrow$
- jets werden breiter
- klare 3-jet-Events: PETRA-jets
- $\leftarrow$  sichtbare QCD-Eikonten

DATE 16/07/80

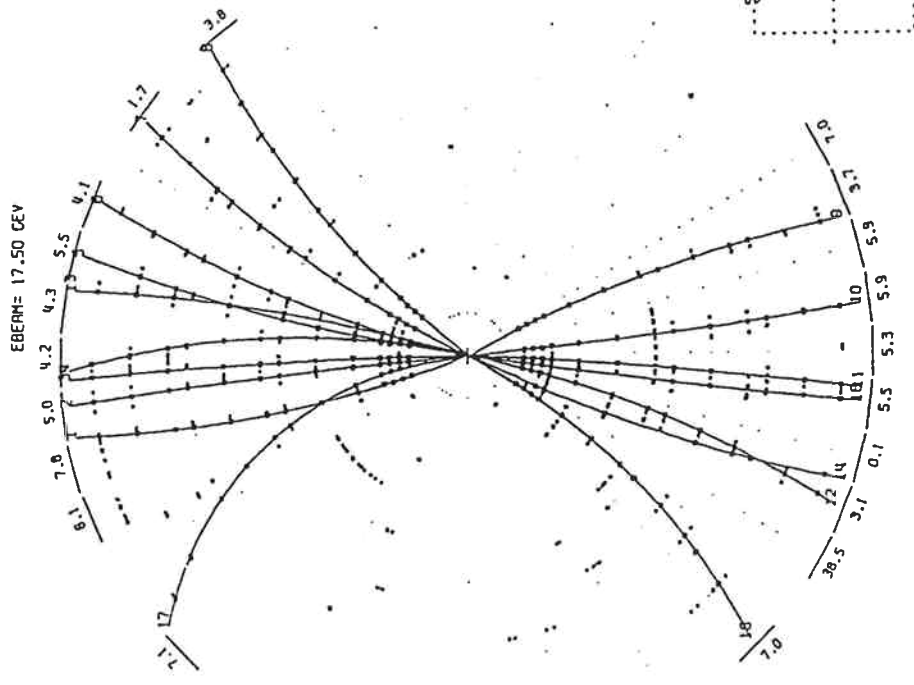


Fig. 29 A two-jet events as observed at  $W = 35$  GeV in the TASSO detector.

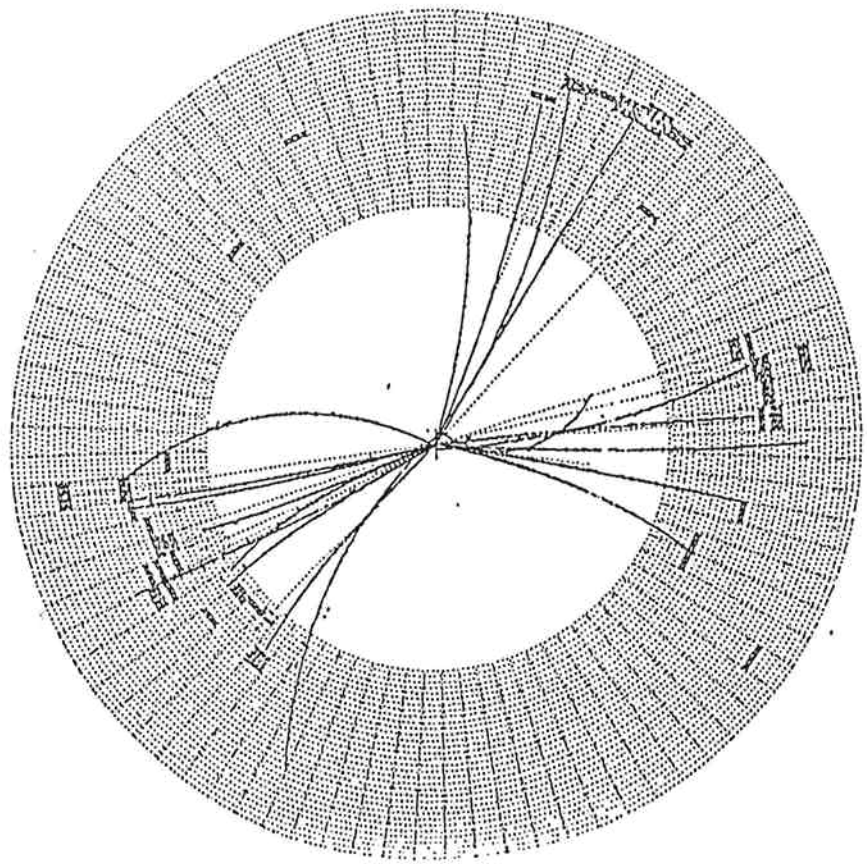


Fig. 11.12 A three-jet event observed by the JADE detector at PETRA.

• Messung des Gluon-Spins:

$s_g = 1 \Rightarrow f_1 \sim \frac{1}{(1-x_g)(1-x_{\bar{g}})}$

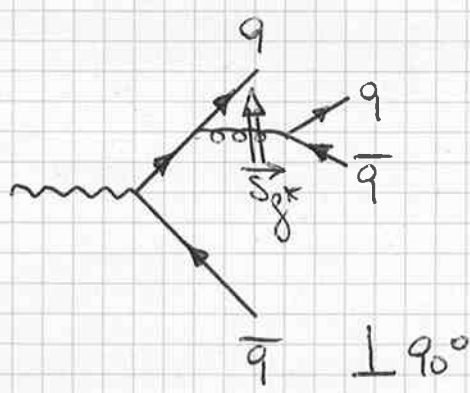
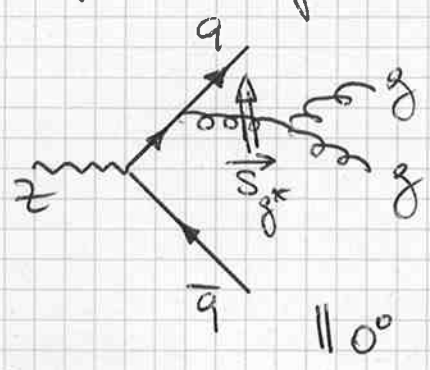
divergent für  $x_g \rightarrow 0$ ;  $x_{\bar{g}}, x_g \rightarrow 1$

$s_g = 0 \Rightarrow f_0 \sim \frac{x_g^2}{(1-x_g)(1-x_{\bar{g}})}$

endlich für  $x_g \rightarrow 0$

• Messung der Gluon-Farbe:

4 jet - Ereignisse:



$X = \angle(E_{12}, E_{34})$ :

$g\bar{g} = \frac{(1-z+z^2)^2}{z(1-z)} + z(1+z)\cos 2X$

$g'q' = \frac{1}{2} [z^2 + (1+z)^2] - z(1+z)\cos 2X$

$SC_3: 0^\circ$  vs.  $U_1: 90^\circ$

• Jet-Multiplizität:

$f_n(y) =$  Bruchteil von Ereignissen mit  $n$  Jets im Endzustand:

$\sum f_n(y) = 1$

$y = \text{max. Jet-Energie} : k_{jet}^2 \leq y s$

$f_{n+2}(y) = \left(\frac{\alpha_s}{2n}\right)^n \sum_{j=0}^{\infty} C_{nj}(y) \left(\frac{\alpha_s}{2n}\right)^j \Rightarrow$  Messung von  $\alpha_s$

Bsp: 2- und 3-Jet-Verteilungen:

$f_3 = \int_{(p_1+p_2)^2 \geq y s} dx_1 dx_2 \frac{2}{3} \frac{\alpha_s}{n} \frac{x_1^2 + x_2^2}{(1-x_1)(1-x_2)}$

$= \frac{2}{3} \frac{\alpha_s}{n} \left[ (3-6y) \log \frac{y}{1-2y} + 2 \log^2 \frac{y}{1-2y} + \frac{5}{2} - 6y - \frac{9}{2} y^2 + 4 \text{Li}_2 \left( \frac{y}{1-2y} \right) - \frac{\pi^2}{3} \right]$

$f_2 = 1 - f_3$

$\text{Li}_2(x) = - \int_0^x \frac{dy}{y} \log(1-y) = \sum \frac{x^n}{n^2}$  für  $|x| \leq 1$

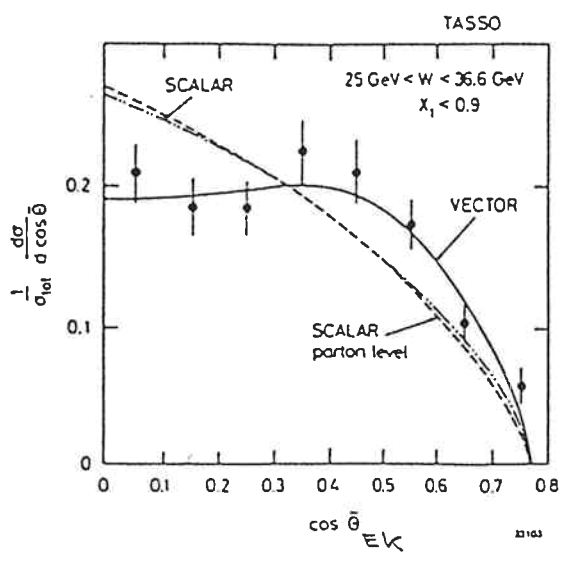


Fig. 7.25

The  $\cos \theta$  distribution of events with  $x_1 < 0.9$ . The solid line and the dashed-dotted line show the distribution predicted for vector gluons and scalar gluons respectively. The predictions include hadronization. For comparison the prediction for a scalar gluon on the parton level is shown in Fig. 7.24. The distributions are normalized to the number of observed events.  $E_K = \text{Ellis-Kan Cimer}$

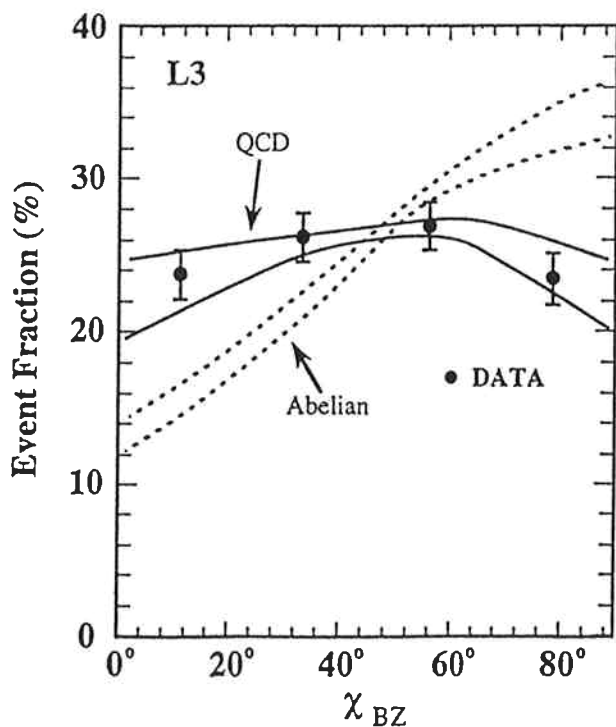
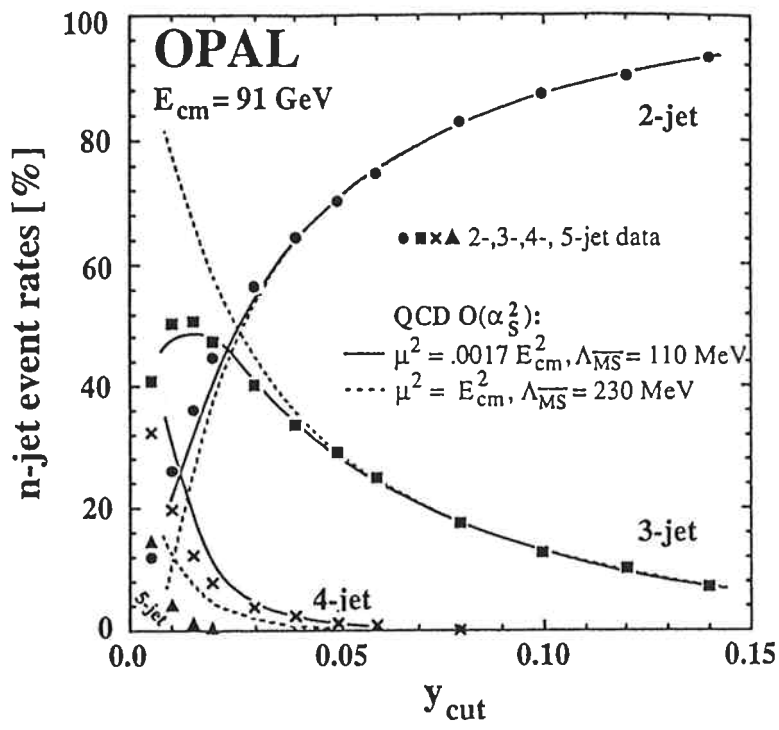


Fig. 3.11. Distribution in the Bengtsson-Zerwas angle at LEP. Figure from ref. [26].



7. QCD fits to the jet rates at LEP, as measured by the OPAL collaboration. Figure from ref. [15].

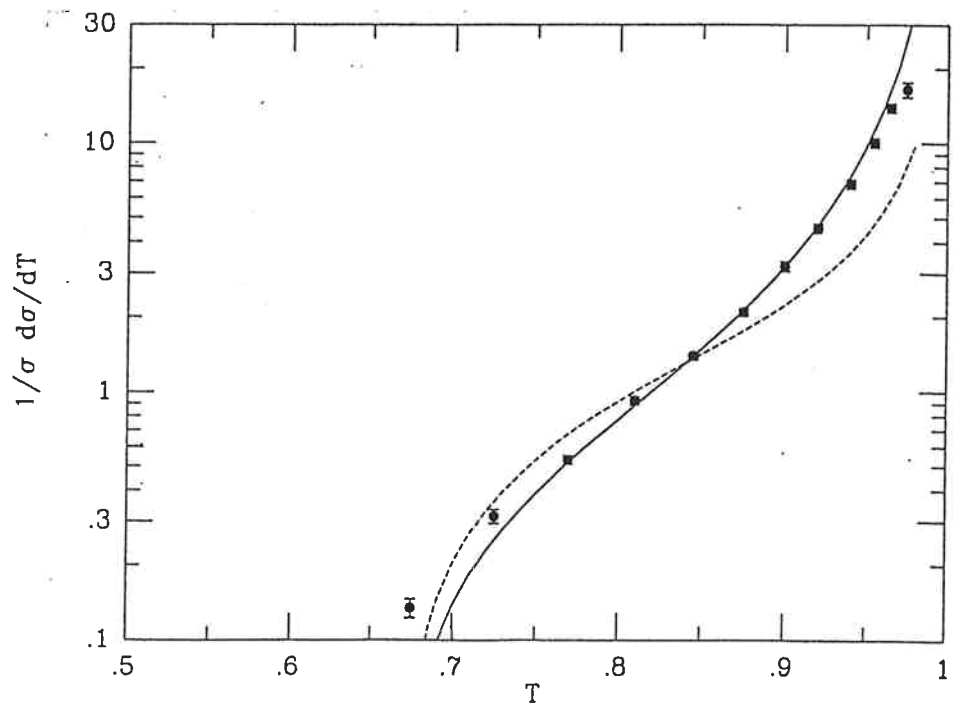
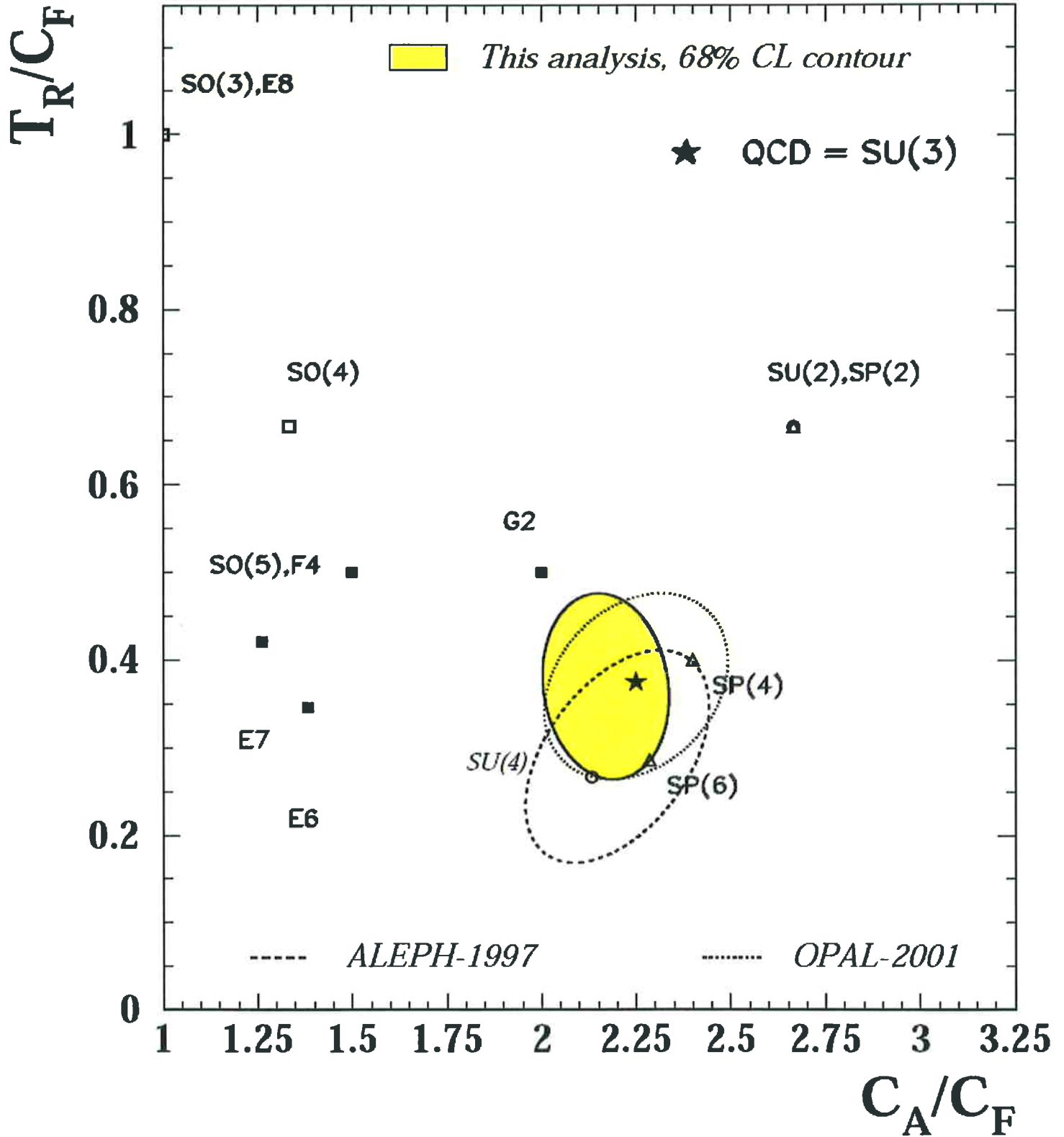


Fig. 3.9. The thrust distribution measured at LEP, showing data from the DELPHI collaboration [22] for  $T < 0.98$ , together with predictions of scalar gluon (dashed line) and vector gluon (solid line) theories.

ALEPH

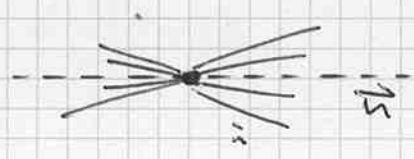


• Slope-Variables:

Thrust, Spharizität, Massen, C-Parameter, ...

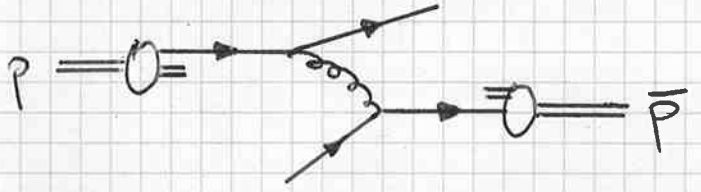
Thrust:  $T = \max_{\vec{n}} \frac{\sum |\vec{p}_i \cdot \vec{n}|}{\sum |\vec{p}_i|}$

$3j: \frac{1}{S} \frac{ds}{dT} = \frac{2ds}{3u} \left\{ \frac{2(3T^2 - 3T + 2)}{T(1-T)} \log \frac{2T-1}{1-T} - \frac{3(3T-2)(2-T)}{1-T} \right\}$



- 2 jet:  $T = 1$
- sphär:  $T = \frac{1}{2}$
- qqg:  $T = \max x_i$

(c) Jets in hochenergetischer pp-Streuung bei hohem Transversalimpuls



hohes  $p_{\perp}$  im Subsystem  $\Rightarrow$  kleine Raum-Zeitdistanz für Subprozess-Ablauf

Rutherford-Prozess:  $q+q \rightarrow q+q, q+\bar{q} \rightarrow q+\bar{q}$

Compton-Streuung:  $g+q \rightarrow g+q, g+\bar{q} \rightarrow g+\bar{q}$

Anihilation:  $q+\bar{q} \rightarrow g+g$

Gluon-Fusion:  $g+g \rightarrow q+\bar{q}$

Gluon-Streuung:  $g+g \rightarrow g+g$

• Faltung mit Parton-Verteilungen:

$$\frac{ds}{dA} (pp \rightarrow j_1 j_2 + \dots) = \sum_{q\bar{q}} \int_0^1 dx_1 f_1(x_1, Q^2) \int_0^1 dx_2 f_2(x_2, Q^2) \int d\hat{s} (p_1 p_2 \rightarrow p_1' p_2' + \dots) \times \delta_+(A - A(q_i))$$

• Nachweis der Rutherford-Streuung im Quark-Gluon-Sektor:

$\frac{ds^R}{d\cos\theta} \sim \frac{1}{\sin^4 \frac{\theta}{2}} \sim \frac{1}{(1-\cos\theta)^2}$  steil ansteigend für  $\theta \rightarrow 0$

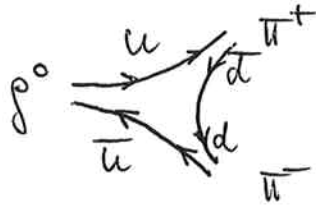
$X = \frac{1 + \cos\theta}{1 - \cos\theta} \quad dx \sim \frac{d\cos\theta}{(1-\cos\theta)^2} \Rightarrow \frac{ds^R}{dx} = \text{flach}$

modkilo: X-Abh. in  $ds^R$   
 $Q^2$ -Abh. in  $\alpha_s(Q^2)$ , Quarkdichten



(d) Quarkonium-Zerfälle

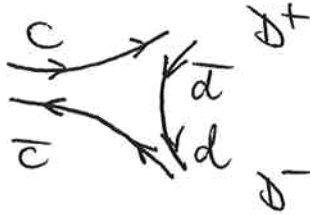
$$\rho^0 = \frac{1}{\sqrt{2}} (u\bar{u} - d\bar{d})$$



$m_\rho > 2m_\pi$  Zweif-erlaubter Zerfall  $\rightarrow$  große Breite

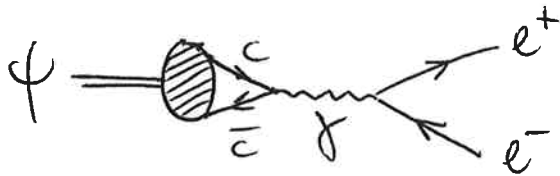
$$\psi = c\bar{c} \quad (3097)$$

$$\Upsilon = b\bar{b} \quad (9460)$$



$m_\psi < 2m_D$  Zweif-erlaubter Zerfall nicht möglich

- leptomische Zerfälle:  $\psi \rightarrow e^+e^-, \mu^+\mu^-$  [99]



$$\Gamma(\psi \rightarrow l^+l^-) = \frac{16\pi\alpha^2}{m_\psi^2} Q_c^2 |\psi(0)|^2 \quad [\leftarrow \text{Positronium}]$$

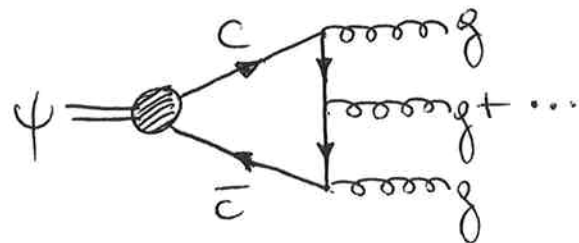
$\uparrow$   $+\frac{2}{3}$   $\uparrow$  Wellenfkt. am Ursprung [NR]

- hadronische Zerfälle: Quarkonia, für die zweif-erlaubte Zerfälle nicht möglich sind, zerfallen in Gluonen  $\rightarrow$  jets bei hohen Energien [1, ...]

$1^{--} \rightarrow gg$ : niedrigster Ortho-Kanal [Yang]

$$\psi = c\bar{c} \rightarrow 3g$$

$$\Upsilon = b\bar{b} \rightarrow 3g$$



Annihilationsdistanz:  $d \sim m_c^{-1} \ll 1 \text{ fm} \Rightarrow$  asymptot. Freiheit

Techn.:  $P(\psi \rightarrow ggg) = \sigma(c\bar{c} \rightarrow ggg) \times [\mathcal{O}_R |\psi_s(0)|^2] \times \left[\frac{4}{3}\right]$

Spin-Mittelungs-Korrektur

$\Rightarrow$  Breite:  $\Gamma(\alpha\bar{\alpha} \rightarrow ggg) = \frac{160}{81} (\pi^2 - 9) \frac{\alpha_s^3(M^2)}{M^2} |\psi_s(0)|^2$

$\psi = 0.05 \pm 0.01 \text{ MeV}$

$r = 0.04 \text{ MeV}$

Quarkonia sind sehr schmale Resonanzen [asymp. Freiheit]

Dalitz:  $\frac{1}{\Gamma} \frac{d\Gamma}{dx_1 dx_2} = \frac{6}{\pi^2 - 9} \frac{x_1^2 (1-x_1)^2 + \dots}{x_1^2 x_2^2 x_3^2}$

Jet-Energie:  $\frac{1}{\Gamma} \frac{d\Gamma}{dx_1} \approx 2x_1$

im Photon-Kanal  $\Upsilon \rightarrow \gamma + gg$

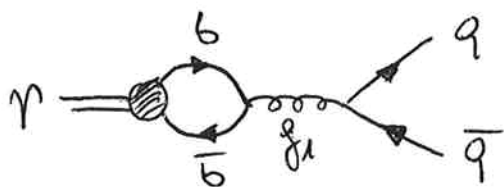
partielle Breite  $\Gamma_\gamma / \Gamma_{\text{tot}} \sim \frac{\alpha \alpha_s^2}{\alpha_s^3} \sim \frac{\alpha}{\alpha_s}$  heftig kleiner  $\Lambda$

Color-Ladung der Gluonen: wäre  $g$  ein  $U(1)$  Eichfeld, so

wäre Zerfallsmodus:  $\Upsilon \rightarrow g\bar{g} \rightarrow q\bar{q}$

$\Rightarrow$  2 jet-Endzustände = off

nicht beobachtet  $\Rightarrow e[g] \neq 0$



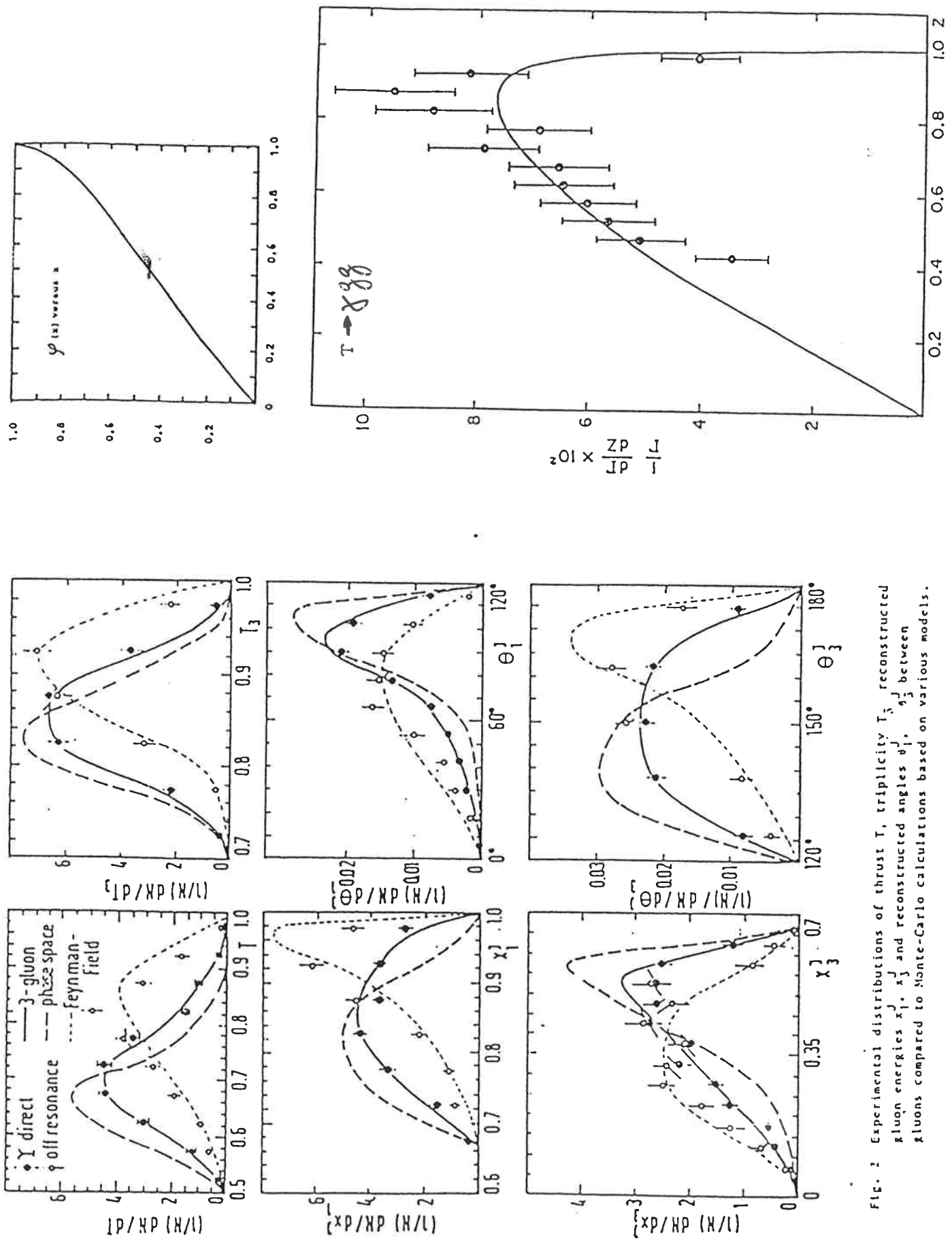


FIG. 2 Experimental distributions of thrust  $T$ , triplicity  $T_3$ , reconstructed gluon energies  $x_1, x_2, x_3$  and reconstructed angles  $\theta_1, \theta_2, \theta_3$  between gluons compared to Monte-Carlo calculations based on various models.

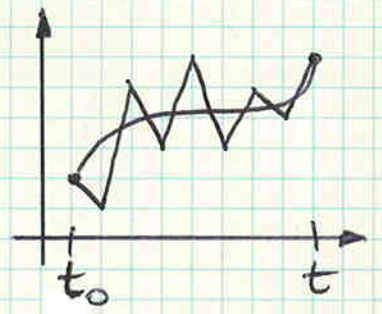
# C. QCD BEI GROSSEN ABSTÄNDEN

## § 1. Confinement-Potential

nicht-Störungstheoretischer Bereich: Integration per Pathintegrale

$$\begin{aligned}
 \text{QM: } \langle x, t | x_0, t_0 \rangle &= \langle x | e^{-iH(t-t_0)} | x_0 \rangle \\
 &= \prod dx_i \langle x | e^{-iH\epsilon} | x_n \rangle \langle x_n | \dots | x_1 \rangle \langle x_1 | e^{-iH\epsilon} | x_0 \rangle
 \end{aligned}$$

$$\begin{aligned}
 \text{FT: } \langle x_2 | e^{-iH\epsilon} | x_1 \rangle &= \langle x_2 | e^{-i \frac{P^2}{2m} \epsilon} | x_1 \rangle \\
 &\sim \int dp \langle x_2 | e^{-i \frac{p^2}{2m} \epsilon} | p \rangle \langle p | x_1 \rangle \\
 &\sim \int dp e^{-i \frac{p^2}{2m} \epsilon + i p(x_2 - x_1)} \\
 &\sim e^{i \frac{m}{2\epsilon} \left( \frac{x_2 - x_1}{\epsilon} \right)^2} \sim e^{i \frac{m}{2} \epsilon \dot{x}^2} \sim e^{i \epsilon \mathcal{L}}
 \end{aligned}$$



$$\dot{x}^2 = \left( \frac{x_2 - x_1}{\epsilon} \right)^2$$

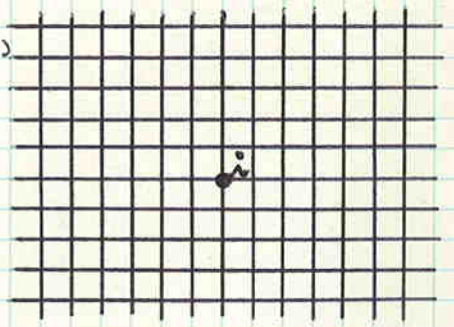
$$\langle x, t | x_0, t_0 \rangle = \int_{\text{Pf}} \mathcal{D}x e^{iS}$$

W'amplitude = Summe über alle Geschichten mit Gewicht  $e^{iS}$

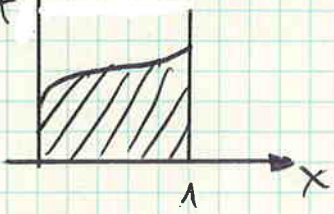
$$\text{QFT: } \langle 0 | T \{ \varphi(x_2) \varphi(x_1) \} | 0 \rangle \sim \int \prod d\varphi_i \varphi_2 \varphi_1 e^{iS(\varphi)}$$

Lösung des Integrale durch Monte-Carlo-Methoden

[nach Euklidisierung  $t \rightarrow -ix_4: e^{iS} \rightarrow e^{-S}$ ]



1.) einfaches Integral:  $\int_0^1 dx f(x) = ?$



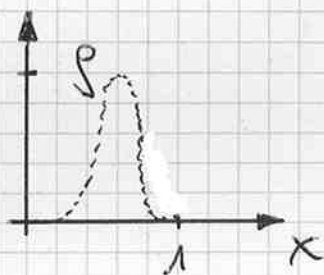
(i) wähle  $x_i$  zufällig verteilt; N Punkte

(ii) berechne  $f(x_i) = f_i$

$$\rightarrow \int_0^1 dx f(x) = \frac{1}{N} \sum_{i=1}^N f_i$$

### 2.) importance sampling:

$$\int_0^1 dx p(x) f(x)$$



p bedeutend nur in kleinem Teil des Phasenraums

$$I = \int_0^1 dx \left[ \int_0^1 dy \Theta(p(x)-y) \right] f(x)$$

- (i) wähle  $x_i$  zufällig; berechne  $f_i$ ;
- (ii) wähle  $y_i$  zufällig; Wenn  $f_i > y_i$ , dann berechne  $f_i$ ,  $i \in \mathbb{N}_+$

$$\rightarrow I = \frac{1}{N} \sum_{i \in \mathbb{N}_+} f_i$$

### 3.) Hohe Dim. Zahl, Gewicht $e^{-S_E}$ , einfache Observable:

stelle Sequenz von Konfigurationen  $\{\varphi\}$  mit Verteilung  $e^{-S_E}$  ein; messe Observable  $O$  über Konfigurationen

$$\langle O \rangle = \frac{\sum_{\varphi} O_{\varphi}}{\sum_{\varphi} 1}$$

Theorem: Startet man von einer beliebigen Konfiguration aus und ändert sie in konsekutiven Schritten mit bedingtes Wahrscheinlichkeit  $P(e', e)$ , so daß Glnw.  $\rightarrow$  Glnw.,

$$e^{-S(e')} = \sum_e P(e', e) e^{-S(e)}, \text{ dann strebt das System}$$

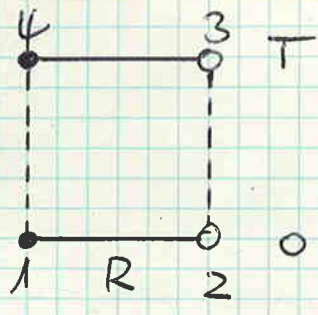
automatisch ins Gleichgewicht.

Metropolis: 
$$P(e', e) = \begin{cases} 1 & \text{für } S' < S \\ e^{-(S'-S)} & \text{für } S' > S \end{cases}$$

# WILSON Loop

Hankel-Operator:  $h = \bar{Q}(y) e^{i \int_x^y G^h ds_\mu} Q(x)$   
 [eichinvariant]

$$\begin{aligned} & \langle 0 | h^*(T) h(0) | 0 \rangle \\ &= \sum_n \langle 0 | e^{HT} h^*(0) e^{-HT} | n \rangle \langle n | h(0) | 0 \rangle \\ &= \sum_n |\langle 0 | h(0) | n \rangle|^2 e^{-E_n T} \end{aligned}$$



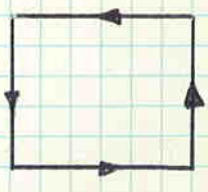
$$\sim |\langle 0 | h(0) | \text{ground state} \rangle|^2 e^{-E_{\min}(R) T} \quad E_{\min}(R) = 2m + V(R)$$

$$\begin{aligned} &= \langle 0 | \bar{Q}_4 P_{43} Q_3 \cdot \bar{Q}_2 P_{21} Q_1 | 0 \rangle \quad [Q_i = \text{äußere Quarks}] \\ &= \int \mathcal{D}G \underbrace{\langle 0 | \bar{Q}_4 P_{43} Q_3 \cdot \bar{Q}_2 P_{21} Q_1 | 0 \rangle}_G e^{-S_G} + O(1/m) \end{aligned}$$

$\underbrace{\quad}_G =$  Quarkpropagator im Hintergrundfeld  $G$ :

$$\begin{aligned} & [i \not{\partial} - \not{g}_s G_0 - m] S(x, y; G) = \delta_4(x - y) \\ & \rightarrow i S(x, y; G) = \Theta(x^0 - y^0) \delta_3(x - y) e^{-im(x^0 - y^0)} e^{-i \int_y^x G^h ds_\mu} \propto P_{32} \end{aligned}$$

$$\rightarrow e^{-V(R)T} \sim \int \mathcal{D}G \prod P e^{-S} \quad \text{Integral gelöst mit MC Methoden}$$



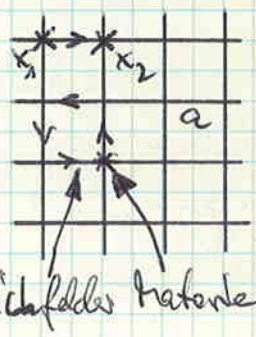
## AUSWERTUNG des SU(3) ohne Quarkloops:

(i) Materiefelder definiert auf Gitterpunkten

(ii) Eichfelder definiert auf Links  $x_2$

$$\text{Schwinger-Ström } j = \bar{\Psi}(x_2) e^{i \int_{x_1}^{x_2} ds_\mu G^h} \Psi(x_1)$$

[nicht-lokal, aber eichinvariant]



$$G_\mu \leftrightarrow U_\mu = e^{iaA_\mu} \rightarrow e^{iaA_\mu} \text{ Link-Variablen}$$

(79)

Kompakte Version äquivalent bei Bohm-Aharonov-Effekt

$$[e^{i\oint dy^\mu A_\mu} = \text{wertvolle Variable}]$$

Wirkung:

$$S = -\frac{1}{2} \int d^4x \text{Tr} G_{\mu\nu}^2 = -\frac{1}{2} \int d^4x \text{Tr} \left\{ \partial_\nu G_\mu - \partial_\mu G_\nu - i g_s [G_\mu, G_\nu] \right\}^2$$

$$\stackrel{\uparrow}{g_s G = \hat{G}} \rightarrow G \quad -\frac{1}{2g_s^2} \int d^4x \text{Tr} \left\{ \partial_\nu G_\mu - \partial_\mu G_\nu - i [G_\mu, G_\nu] \right\}^2$$

$$g_s G = \hat{G} \rightarrow G$$

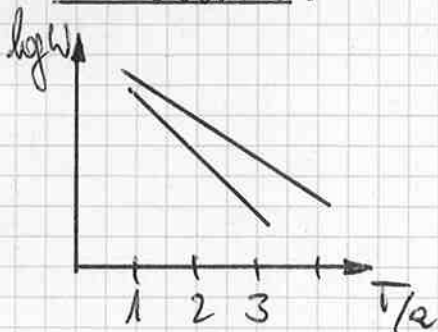
verpuffert: Plaquette-Variablen:  $U_D = \prod U$  

$$S = \frac{6}{g_s^2} \left\{ 1 - \frac{1}{6} \frac{2}{g} \text{Tr} [U_D + U_D^\dagger] \right\} \quad \text{Entwicklung bis 2te Ordnung}$$

→ Kontinuum-Wirkung

S gittereichinvariant

MESSUNG:



Steigung:  $V$  in Gittereinheiten

Fitteratz:

$$\text{physikalische Einheiten: } V(R) = -\frac{1}{R} \frac{d_s}{R} + \sigma R$$

$\sigma$  = Stringspannung

$$\text{Gittereinheiten: } aV = -\frac{d_s}{Ra} + \sigma a^2 \frac{R}{a}$$

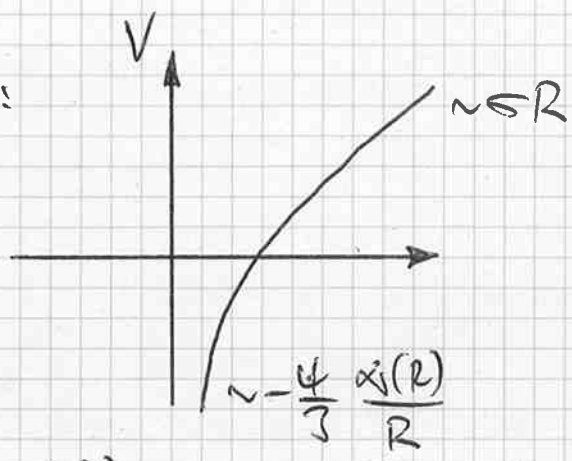
Fit:  $\sigma a^2$  gemessen im Gitter  $\xrightarrow{a \approx 0.05 \text{ fm}}$   $\sigma \approx 400 \text{ MeV}$  bestimmt

$d_s \approx 0.25$  gemessen

Meßresultate in qualitativer Übereinstimmung mit Erwartung F

Streuempfindung:

(a) Richardson-Potential:



$q^2$  groß  
 $R$  klein

$$V(q^2) \approx -\frac{4}{3} \frac{\alpha(q^2)}{q^2}$$

$$\alpha(q^2) = \frac{12\pi}{(33-2N_f) \log \frac{q^2}{\Lambda^2}}$$

$$V(R) \approx -\frac{4}{3} \frac{\alpha(R)}{R}$$

$$\alpha(R) = \frac{12\pi}{(33-2N_f) \log \frac{1}{R\Lambda^2}}$$

$R$  groß  
 $q^2$  klein

$$V(R) \approx SR$$

$$V(q^2) \approx -\frac{8\pi\sigma}{q^4}$$

Interpolation: Richardson-Potential

$$V(R) = -\frac{4}{3} \frac{48\pi^2}{33-2N_f} \int \frac{d^3\vec{q}}{(2\pi)^3} \frac{e^{i\vec{q}\vec{r}}}{q^2 \log[1 + \frac{q^2}{\Lambda^2}]}$$

$\rightarrow \sigma \approx \Lambda^2 \approx (400 \text{ MeV})^2$ : Quarkonium-Spektroskopie

(b) Meron-String-Rotator:



$$dm = \int \sigma dl = \frac{\sigma dl}{\sqrt{1 - \frac{v^2}{c^2}}} = L \frac{\sigma d\frac{l}{L}}{\sqrt{1 - (\frac{l}{L})^2}} = L \frac{\sigma dx}{\sqrt{1-x^2}}$$

Glüh-Röhre  $[\frac{v}{c} = \frac{l}{L}]$

Erspedilte

harte Energie

$$dj = l dp = l \omega dm = L^2 \frac{\sigma x^2 dx}{\sqrt{1-x^2}}$$

Drehimpuls

$$\left. \begin{aligned} m &= \pi L \sigma \\ j &= \frac{\pi}{2} L^2 \sigma \end{aligned} \right\}$$

$$j = \frac{m^2}{2\pi\sigma}$$

Chow-Frautschi-Plot  $\neq$   
lin. Spin-Basse<sup>2</sup>-Beziehung  
 $\sigma = (420 \text{ MeV})^2$  Rotationsinvariant  $\neq$

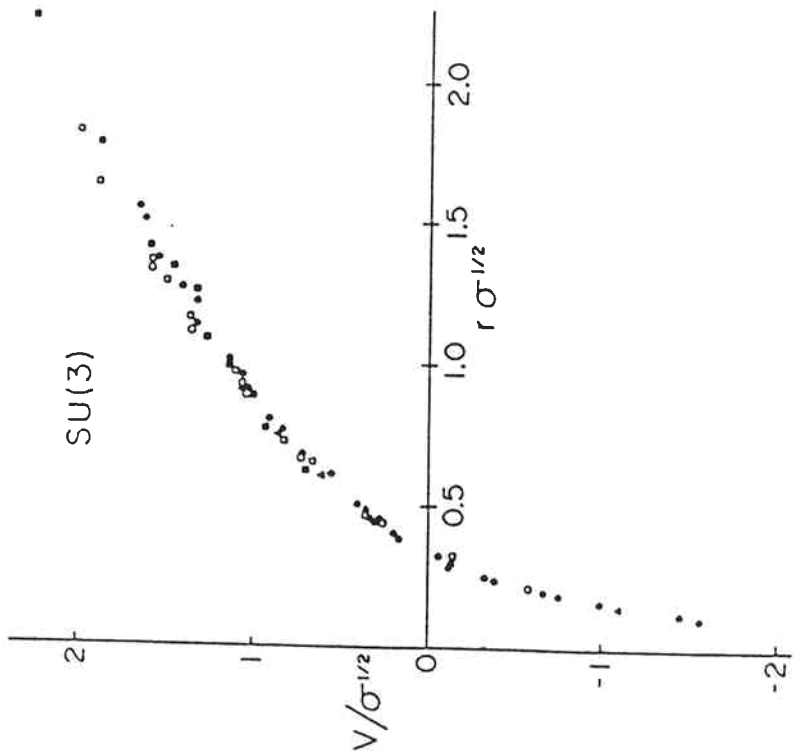
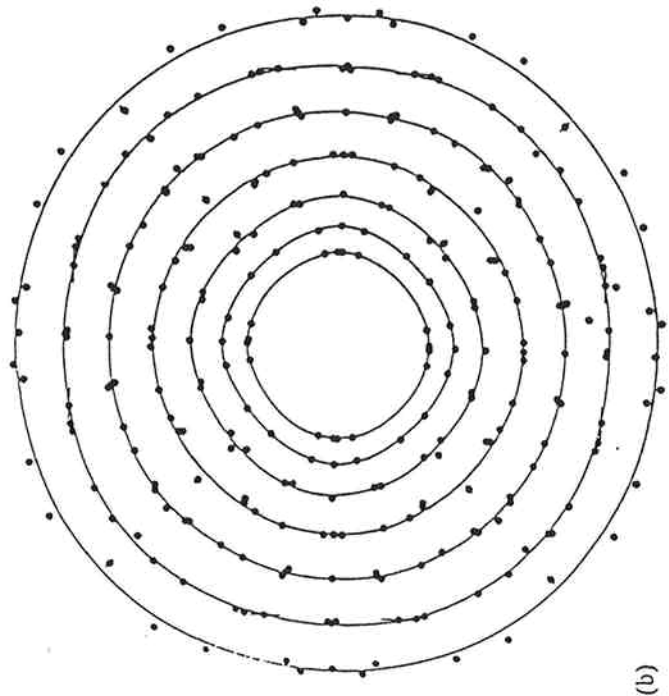


Figure 2: The  $q\bar{q}$  potential as obtained from different numerical simulations.



(b)

Fig. 1. Restoration of rotational invariance from (a)  $\beta = 2, n_s = 8, n_t = 4$  to (b)  $\beta = 2.25, n_s = 16, n_t = 6$ ; the equipotential curves are obtained through fits as described in the text.

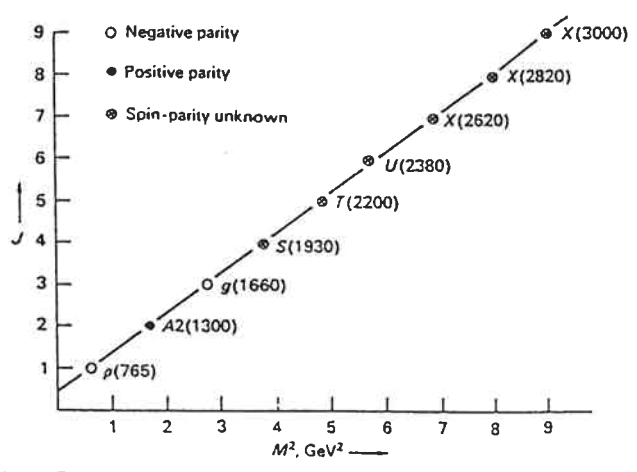


Fig. 7.34 Chew-Frautschi plot of nonstrange meson resonances, of  $l = 1$  and spin, parity and  $G$ -parity,  $J^{PG} = 1^{-+}, 2^{+-}, 3^{-+} \dots$ . The quantum numbers of only the first three states are known at present, the remainder having been plotted at the nearest integer spin value. The masses of the  $S$ ,  $T$ ,  $U$ , and  $X$  bosons are taken from Fig. 7.22.

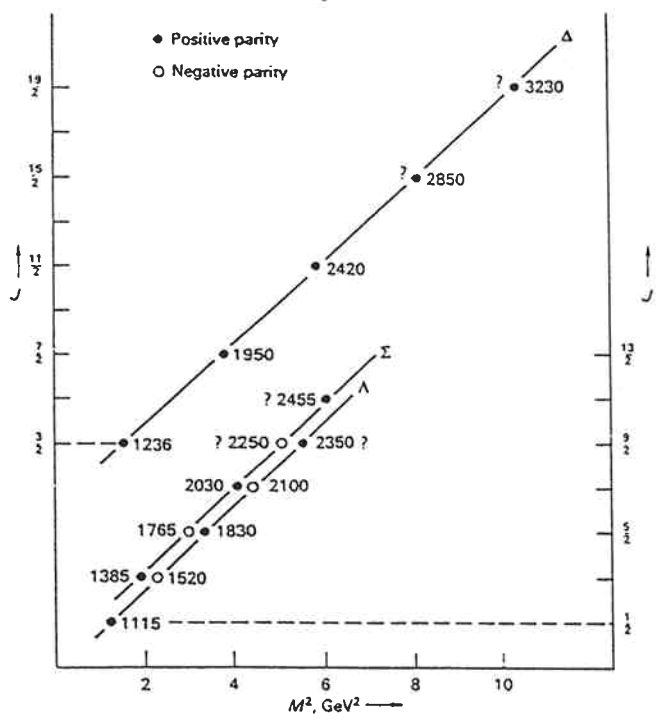


Fig. 7.33 Chew-Frautschi plots of fermion Regge trajectories. The trajectory marked  $\Delta$  consists of the sequence  $l = \frac{3}{2}, S = 0$ , and  $J^P = \frac{3}{2}^+, \frac{7}{2}^+, \frac{11}{2}^+ \dots$ ; that marked  $\Lambda$  of the sequence  $l = 0, S = -1, J^P = \frac{1}{2}^+, \frac{3}{2}^-, \frac{5}{2}^+ \dots$ ; and that marked  $\Sigma$  of the sequence  $l = 1, S = -1, J^P = \frac{3}{2}^+, \frac{5}{2}^-, \frac{7}{2}^+ \dots$ ; resonances for which the spin-parity is not firmly established are indicated by a question mark.

§2. Chirale Invariant

Operator-Transformation:  $\phi'_i = e^{i\vec{x}\vec{Q}} \phi e^{-i\vec{x}\vec{Q}} = e^{i\vec{x}\vec{T}} \phi$

Color-Operator
SU<sub>N</sub>-Generator

Noether-Ström:  $j^\mu = - \frac{\partial \mathcal{L}}{\partial(\partial^\mu \phi_i)} \frac{\delta \phi_i}{\delta x^a} - \frac{\partial \mathcal{L}}{\partial(\partial^\mu \bar{\phi}_i)} \frac{\delta \bar{\phi}_i}{\delta x^a}$

$$\Rightarrow \partial^\mu j_\mu^a = - \frac{\delta \mathcal{L}}{\delta x^a} \quad Q^a = \int d^3x j_0^a(x)$$

Lagrangendichte invariant:  $\frac{\delta \mathcal{L}}{\delta x^a} = 0 \Rightarrow \partial^\mu j_\mu^a = 0 \Rightarrow \dot{Q}^a = 0$

Quarken-Flavor-Dynamik:  $q = \begin{pmatrix} u \\ d \\ s \end{pmatrix}$

Massenmatrix:  $M_{ij} = m_{ij} \delta_{ij}$

$$\mathcal{L} = \sum_i \bar{q}_i (i\cancel{\partial} - m_i) q_i = \bar{q} (i\cancel{\partial} - M) q$$

(i) Vektorstrom:  $q' = e^{i\vec{x}\vec{T}} q \Rightarrow \bar{q}' = \bar{q} e^{-i\vec{x}\vec{T}}$

$$\mathcal{L}' = \bar{q} [i\cancel{\partial} - e^{-i\vec{x}\vec{T}} M e^{i\vec{x}\vec{T}}] q \neq \mathcal{L}$$

$$j_\mu^a = \bar{q} \gamma_\mu T^a q \quad Q^a = \int d^3x q^\dagger T^a q$$

Divergenz:  $\partial^\mu j_\mu^a = - \frac{\delta \mathcal{L}}{\delta x^a} = \bar{q} [M, T^a] q = (m_j - m_k) \bar{q}_j T^a_{jk} q_k$

(ii) Axialvektorstrom:  $q' = e^{i\vec{x}\vec{T}\gamma_5} q \Rightarrow \bar{q}' = \bar{q} e^{i\vec{x}\vec{T}\gamma_5}$

$$\mathcal{L}' = \bar{q} [i\cancel{\partial} - e^{i\vec{x}\vec{T}\gamma_5} M e^{-i\vec{x}\vec{T}\gamma_5}] q \neq \mathcal{L}$$

$$j_5^\mu = \bar{q} \gamma_\mu \gamma_5 q \quad Q_5^a = \int d^3x q^\dagger \gamma_5 T^a q$$

Divergenz:  $\partial_{j\mu}^{h,a} = \bar{q} \gamma_j \{H, i T^a\} q = (u_j + u_{jk}) \bar{q}_j \gamma_j - i T_{jk}^a q_k$

• Ladungsalgebra / Stromalgebra für gleiche Zeiten  $[SU_N \times SU_N]$ :

$$\begin{aligned} [Q^a(t), Q^b(t)] &= i f_{abc} Q^c(t) \\ [Q_5^a(t), Q_5^b(t)] &= i f_{abc} Q^c(t) \\ [Q^a(t), Q_5^b(t)] &= i f_{abc} Q_5^c(t) \end{aligned}$$

$$Q_{\pm}^a = \frac{Q^a \pm Q_5^a}{2} = \int d^3x q \frac{1 \pm \gamma_5}{2} T^a q$$

$$\begin{aligned} [Q_{\pm}^a(t), Q_{\pm}^b(t)] &= i f_{abc} Q_{\pm}^c(t) \\ [Q_+^a(t), Q_-^b(t)] &= 0 \end{aligned}$$

Unabhängig vom Invariant-Zustand erfüllen die Ladungen  $Q^a, Q_5^a$  aufgrund der kanonischen Vertauschungsregeln die obige Lie'sche Algebra für gleiche Zeiten.

VR:  $\{q_{i\alpha}^+(x), q_{j\beta}(y)\}_{ET} = \delta_{\alpha\beta} \delta_3(\vec{x} - \vec{y})$

$[T^a, T^b] = i f_{abc} T^c$

- Stromerhaltung: (i)  $u_j = u_k \Rightarrow \partial_{j\mu}^{h,a} = 0$  [i.a.  $\partial_{j\mu}^{h,a} \neq 0$ ]
- (ii)  $u_j = 0 \Rightarrow \partial_{j\mu}^{h,a} = \partial_{j\mu}^{h,a} = 0$  [Chiralität]

chirale Invariant:  $M \rightarrow 0 \Rightarrow Q^a, Q_5^a$  erhalten

→ Heisenberg-Multiplikation:  $q|0\rangle \rightarrow e^{i\vec{x}\vec{Q}} q e^{-i\vec{x}\vec{Q}} e^{i\vec{x}\vec{Q}} |0\rangle = e^{i\vec{x}\vec{T}} q|0\rangle = |0\rangle$

$\vec{Q}_5 = i [H, \vec{Q}_5] = 0$

Paritäts  $\mathcal{P} \vec{Q} \mathcal{P}^{-1} = \vec{Q}$

$\mathcal{P} \vec{Q}_5 \mathcal{P}^{-1} = -\vec{Q}_5$

$H|z\rangle = u_z |z\rangle$

$H Q_5 |z\rangle = u_z Q_5 |z\rangle \Rightarrow$  Entartung

$\mathcal{P}|z\rangle = |z\rangle$

$\mathcal{P} Q_5 |z\rangle = -Q_5 |z\rangle$

⇒ Paritätsdoublets

→ Nambu-Realisierung: chirale  $SU_N \times SU_N$  spontan gebrochen  
 $|0\rangle \rightarrow e^{i\vec{\alpha} \cdot \vec{T}} |0\rangle$  [Vakuum nicht invariant]

• Kondensat:

(i) Heisenberg:  $e^{i\vec{\alpha} \cdot \vec{Q}} |0\rangle = |0\rangle$

$$\langle 0 | \bar{\psi} \psi | 0 \rangle = \langle 0 | e^{-i\vec{\alpha} \cdot \vec{Q}} e^{i\vec{\alpha} \cdot \vec{Q}} \bar{\psi} e^{-i\vec{\alpha} \cdot \vec{Q}} e^{i\vec{\alpha} \cdot \vec{Q}} \psi e^{-i\vec{\alpha} \cdot \vec{Q}} e^{i\vec{\alpha} \cdot \vec{Q}} | 0 \rangle$$
$$= \left( e^{2i\vec{\alpha} \cdot \vec{T}} \right)_{ab} \langle 0 | \bar{\psi}_a \psi_b | 0 \rangle$$

$$\Rightarrow \langle 0 | \bar{\psi} \psi | 0 \rangle = 0$$

(ii) Nambu:  $\langle 0 | \bar{\psi} \psi | 0 \rangle = \left( e^{2i\vec{\alpha} \cdot \vec{T}} \right)_{ab} \langle 0 | \bar{\psi}_a \psi_b | 0 \rangle_a$

$$\Rightarrow \langle 0 | \bar{\psi} \psi | 0 \rangle \neq 0 \text{ möglich}$$

Goldstone-Theorem:

$N$  = Dimension der zur Symmetriegruppe gehörenden Algebra des vollständigen Gappedilke

$M$  = Dimension der Algebra, die Vakuum invariant läßt nach Symmetriebruchung

⇒ Es gibt  $N-M$  masselose Goldstone in der Theorie

Bsp:  $SU_{2L} \times SU_{2R}$ :  $N=6 \rightarrow SU_{2L+2R}$ :  $M=3$

⇒ 3 Goldstone:  $\bar{u}^\pm, \bar{u}^0$  [ $\bar{u}, d$ -Quarks]  $\left[ \frac{m_{\bar{u}}}{m_p} \approx 2\% \right]$

$SU_{3L} \times SU_{3R}$ :  $N=16 \rightarrow SU_{3L+3R}$ :  $M=8$

⇒ 8 Goldstone:  $\bar{u}^\pm, \bar{u}^0, \bar{u}^\pm, \bar{u}^0, \bar{u}^0, \eta$

§3. PCAC - Hypothese

• Haag'sches Theorem:

Sei  $\phi$  ein Operator mit den Eigenschaften

(i) Quanta zahlen korrekt

(ii)  $|\langle 0 | \phi | 1 \rangle|^2 = 1$  [Normierung]

Dann ist  $\phi$  als Feldoperator verwendbar.

• Pion-Feld:  $\langle 0 | i \int d^3x \phi(x) | \pi^b(p) \rangle = i f_\pi p^b e^{-ipx}$

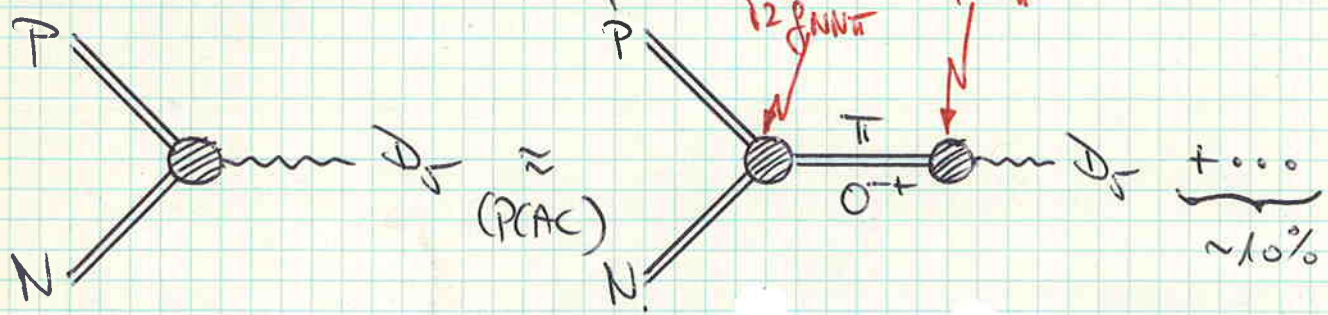
$$\Rightarrow \langle 0 | \partial_\nu^a \phi(x) | \pi^b(p) \rangle = \langle 0 | \partial_\nu^a \int d^3x' \phi(x') | \pi^b(p) \rangle = f_\pi m_\pi^2$$

$$\Rightarrow \phi_\pi^a(x) = \frac{\partial_\nu^a \phi(x)}{f_\pi m_\pi^2}$$

PCAC - Hypothese:

Wo auch immer ein Axialvektorstrom auftritt, kann man ihn durch ein  $\pi$ -Pion-Feld ersetzen. [Pion-Pol-Dominanz]

Bsp: (i) Nucleon-Formfaktoren

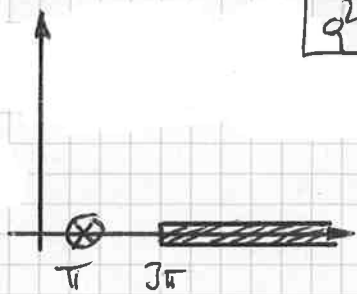


$$\langle P | i \not{\partial}_5(0) | N \rangle = \bar{u}_p [\gamma_\mu \not{\partial}_5 g_A(q^2) + g_\mu \not{\partial}_5 g'_A(q^2)] u_N$$

$$\Rightarrow \langle P | \partial_5(0) | N \rangle = i \bar{u}_p [-2m_N g_A(q^2) - q^2 g'_A(q^2)] \not{\partial}_5 u_N$$

$$\equiv i \bar{u}_p \not{\partial}(q^2) \not{\partial}_5 u_N$$

$$D(q^2) = \frac{1}{\pi} \int_{\text{cut}} \frac{\text{Im } D(q'^2)}{q'^2 - q^2} dq'^2$$



$q^2$  (87)

$$D(q^2) = \sqrt{2} g_{NN\pi} \frac{1}{q^2 - m_\pi^2} f_\pi m_\pi^2 (+ \dots) \approx -2m_\pi g_A(q^2) - q^2 g_A'(q^2)$$

Da es kein masseloses Hadron gibt, kann  $g_A$  bei  $q^2=0$  keinen Pol haben.

$$\Rightarrow -D(0) = \boxed{2m_\pi g_A(0) = \sqrt{2} g_{NN\pi}(0) f_\pi} \quad (\pm 10\%)$$

Goldberger-Treiman-Relation

(ii) QTD:

$$\delta_{ab} f_\pi m_\pi^2 = \langle 0 | D_S^a(0) | \pi^b(p) \rangle \stackrel{\text{LST}}{=} i \int d^4x e^{-ipx} (\partial^2 + m_\pi^2) \langle 0 | T \{ D_S^a(0) \phi_\pi^b(x) \} | 0 \rangle$$

$$= i \lim_{p^2 \rightarrow m_\pi^2} (m_\pi^2 - p^2) \int d^4x e^{-ipx} \langle 0 | T \{ D_S^a(0) \phi_\pi^b(x) \} | 0 \rangle$$

$$= i \lim_{p^2 \rightarrow m_\pi^2} \frac{m_\pi^2 - p^2}{f_\pi m_\pi^2} \int d^4x e^{-ipx} \langle 0 | T \{ D_S^a(0) \partial^\mu \phi_\pi^b(x) \} | 0 \rangle$$

$$\partial^\mu T \{ D_S^a(0) \phi_\pi^b(x) \} = T \{ D_S^a(0) \partial^\mu \phi_\pi^b(x) \} + \delta(x^0) [ \dot{\phi}_\pi^b(x) D_S^a(0) - D_S^a(0) \dot{\phi}_\pi^b(x) ]$$

$$\Rightarrow \delta_{ab} f_\pi m_\pi^2 = i \lim_{p^2 \rightarrow m_\pi^2} \frac{m_\pi^2 - p^2}{f_\pi m_\pi^2} (ip^\mu) \int d^4x e^{-ipx} \langle 0 | T \{ D_S^a(0) \dot{\phi}_\pi^b(x) \} | 0 \rangle$$

$$+ i \lim_{p^2 \rightarrow m_\pi^2} \frac{m_\pi^2 - p^2}{f_\pi m_\pi^2} \int d^4x e^{-ipx} \delta(x^0) \langle 0 | [ D_S^a(0), \dot{\phi}_\pi^b(x) ] | 0 \rangle$$

$\mathcal{P}(AC): \lim_{p^2 \rightarrow m_\pi^2} \approx \lim_{p^\mu \rightarrow 0}$  (bis auf  $\sim 10\%$ )  $\left[ \frac{p^2 - m_\pi^2}{p^2 - m_\pi^2} \approx 1 \right]$

$$\Rightarrow \delta_{ab} f_\pi m_\pi^2 = \frac{-i}{f_\pi} \langle 0 | [ Q_S^b, D_S^a(0) ] | 0 \rangle$$

$$\text{mit } Q_S^b = \int_{x^0=0} d^3x \dot{\phi}_\pi^b(x)$$

$$\partial_j^a = \partial_{j\mu}^{\mu a} = (u_j + u_k) \bar{q}_j i \gamma_5^{-1} \gamma_{\mu}^a q_k = \bar{q}_j \gamma_5^{-1} \{M, T^a\} q$$

$$Q_5^b = \int_{x^0=0} d^3x q^\dagger \gamma_5 T^b q \quad M_{ij} = u_i \delta_{ij}$$

VR:  $[Q_5^b, \partial_5^a(0)] = -i \bar{q} \{T^b, \{T^a, M\}\} q$

$$\Rightarrow \delta_{ab} f_{\pi}^2 m_{\pi}^2 = - \langle 0 | \bar{q} \{T^b, \{T^a, M\}\} q | 0 \rangle$$

Kondensate:  $\langle 0 | \bar{q} q | 0 \rangle = \delta_{ab} \langle 0 | \bar{q} q | 0 \rangle$

$$\Rightarrow f_{\pi}^2 m_{\pi}^2 = - \langle 0 | \bar{u} u | 0 \rangle \text{Tr} \{T^b, \{T^a, M\}\}$$

$$m_j \approx m_k \Rightarrow \text{Tr} \{T^b, \{T^a, M\}\} \approx \delta_{ab} \sum_k m_k$$

$f_{\pi}^2 m_{\pi}^2 = - \sum_k m_k \langle \bar{u} u \rangle_0$

Gell-Mann / Oakes / Renner

$f_{\pi}$  aus Zerfall  $\pi^+ \rightarrow \mu + \nu_{\mu}$  bestimmt,  $f_{\pi} = 94 \text{ MeV}$

$\Rightarrow$  Bestimmung der Quarkmassen + -Kondensate  
 Pion erhält Masse durch Quarkmassen

(iii) Verallgemeinerung:

$$\langle z_1 | \mathcal{O}(0) | z_2, \pi^a(p) \rangle \stackrel{\text{LSZ}}{\underset{\text{PCAC}}{=}} i \int d^4x e^{-ipx} (\partial^2 + m_{\pi}^2) \langle z_1 | T \{ \mathcal{O}(0) \phi_{\pi}^a(x) \} | z_2 \rangle$$

$$= i \lim_{p^2 \rightarrow m_{\pi}^2} (m_{\pi}^2 - p^2) \int d^4x e^{-ipx} \langle z_1 | T \{ \mathcal{O}(0) \frac{\partial^{\mu a}}{\partial_{\mu} f_{\pi} m_{\pi}^2} \} | z_2 \rangle$$

$$T \{ A(0) \partial_{\mu} B^{\mu}(x) \} = \partial_{\mu} T \{ A(0) B^{\mu}(x) \} + \delta(x^0) [A(0), B^0(x)]$$

$$\Rightarrow \langle z_1 | \mathcal{O}(0) | z_2, \pi^a(p) \rangle = i \lim_{p^2 \rightarrow m_{\pi}^2} \frac{m_{\pi}^2 - p^2}{f_{\pi} m_{\pi}^2} \left\{ i p_{\mu} \int d^4x e^{-ipx} \langle z_1 | T \{ \mathcal{O}(0) \frac{\partial^{\mu a}}{\partial_{\mu} f_{\pi} m_{\pi}^2} \} | z_2 \rangle + \int d^4x e^{-ipx} \delta(x^0) \langle z_1 | [ \mathcal{O}(0), \frac{\partial^0 a}{\partial_{\mu} f_{\pi} m_{\pi}^2} ] | z_2 \rangle \right\}$$

$$\lim_{p \rightarrow \infty} \approx \lim_{p \rightarrow 0}$$

89

$$\langle z_1 | \mathcal{O}(0) | z_2 \rangle = \frac{i}{f_\pi} \langle z_1 | [\mathcal{O}(0), Q_5^a] | z_2 \rangle$$

$$\text{mit } Q_5^a = \int_{x^0=0} d^3x j_5^a(x)$$

$\Rightarrow$  Soft Pion Theorem

§4. Goldstone-Theorem [Nuovo Cimento 19 (1961) 15] (90)

$N$  = Dimension der zur Symmetriegruppe gehörenden Algebra der vollständigen Laplace-Dichte

$M$  = Dimension der Algebra, die Vakuum invariant läßt nach Symmetriebrechung

$\Rightarrow$  Es gibt  $N-M$  masselose Goldstone in der Theorie

Beweis:  $\mathcal{L}(\varphi, \partial\varphi)$  invariant unter Symmetriegruppe

Noether-Strome erhalten:  $\partial_\mu V^\mu(x) = 0$

erhaltene Ladung:  $Q = \int_{t=0} d^3\vec{x} V^0(t, \vec{x})$

$$\Rightarrow \boxed{[Q, \varphi] = T\varphi}$$

Symmetrie gebrochen:  $\langle 0 | \varphi | 0 \rangle = \langle \varphi \rangle = \sigma \neq 0$

$\sigma_\mu(k) = \int d^4x e^{ikx} \langle 0 | [V_\mu(x), \varphi] | 0 \rangle$  erfüllt:

Symmetriebedingung:  $k_\mu \sigma^\mu(k) = 0$

Symmetrie gebrochen:

$$\int dk^0 \sigma^0(k^0, \vec{0}) = \int dx^0 \int dk^0 e^{ik^0 x^0} \int d^3\vec{x} \langle 0 | [V^0(t, \vec{x}), \varphi(0)] | 0 \rangle$$

$$= 2\pi \langle 0 | [Q, \varphi] | 0 \rangle = 2\pi T \sigma \neq 0$$

$$a=1, \dots, M: T^a \sigma = 0$$

$$a=M+1, \dots, N: T^a \sigma \neq 0 \Rightarrow N-M$$

# Spektralzerlegung:

$$\sigma_{\mu}(k) = (2\pi)^4 \sum_n \left\{ \langle 0 | V_{\mu} | n \rangle \langle n | \varphi | 0 \rangle \delta_4(k-p_n) \Theta(k^0) \right. \\ \left. - \langle 0 | \varphi | n \rangle \langle n | V_{\mu} | 0 \rangle \delta_4(k+p_n) \Theta(-k^0) \right\}$$

→ Lorentzinvariant:  $\langle 0 | V_{\mu} | n \rangle = f_n p_n^{\mu}$

→ positives Energiespektrum: 1. Summe:  $\Theta(k^0) = \frac{1}{2} [1 + \varepsilon(k^0)]$   
2. Summe:  $\Theta(-k^0) = \frac{1}{2} [1 - \varepsilon(k^0)]$

$$\sigma_{\mu}(k) = k_{\mu} \left[ \sigma_{+}(k^2) + \varepsilon(k^0) \sigma_{-}(k^2) \right]$$

$$\sigma_{\pm}(k^2) = \frac{1}{2} (2\pi)^4 \sum_n \left\{ \langle n | \varphi | 0 \rangle f_n \delta_4(k-p_n) \pm \langle 0 | \varphi | n \rangle f_n^* \delta_4(k+p_n) \right\}$$

$$k_{\mu} \sigma^{\mu}(k) = 0 \quad \Rightarrow \quad \boxed{k^2 \sigma_{\pm}(k^2) = 0}$$

Lösung:  $\sigma_{\pm}(k^2) = s_{\pm} \delta(k^2)$

$$\sigma_{\mu}(k) = k_{\mu} [s_{+} + s_{-} \varepsilon(k^0)] \delta_1(k^2)$$

$$\int_{-\infty}^{\infty} dk^0 \sigma_0(k^0, \vec{0}) = s_{-} 2 \int_0^{\infty} dk^0 k^0 \delta_1(k^2) = s_{-} \neq 0$$

$$\Rightarrow \boxed{\sigma_{\mu}(k) = [s_{+} + s_{-} \varepsilon(k^0)] \delta_1(k^2) k_{\mu} \text{ mit } s_{\pm} \neq 0}$$

↳ Es gibt Zustände mit  $p_n^2 = 0 \Rightarrow \boxed{m=0}$

Goldstones  
q.e.d.